

1951/2



524/2

საქართველოს სსრ

მეცნიერებათა აკადემიის

მ ო ე მ ბ ე

ტომი XII, № 8

46

ბიკითარი, ჟაკთარი გამოსაქა

1951

საქართველოს სსრ მეცნიერებათა აკადემიის გამომცემლობა
თბილისი



შ ი ნ ა ა რ ს ი

მათემატიკა

- 1. ს. ჩაკვეტაძე. ჰაზემანის ერთი სასაზღვრო ამოცანის ამოხსნის შესახებ რამდენიმე უცნობი ფუნქციისათვის 449

ფიზიკა

- 2. თ. მღებრიანი, დ. ჩიღვინაძე და ც. სალუქვაძე. კრისტალების ზედაპირული ფენის შესუსტების საკითხის შესახებ 457
- 3. გ. გორდაძე. მეზონების თეორიულად შესაძლო მასების შესახებ 463

ბიოფიზიკა

- 4. გ. სულაქველიძე. მშრალი თოვლის ზოგიერთი რადიაციული თვისება 469

მათეორიკოლოგია

- 5. ი. ქურდიანი. ნამის წერტილის განსაზღვრის ფსიქომეტრიული მეთოდი 475

გეოგრაფია

- 6. ნ. ასტახოვი. გომარეთის ზეგნის ქვაბურის რელიეფის განვითარების ისტორია 481

ბალეოგრაფია

- 7. მ. ერისთავი და ი. ხეჩინაშვილი. საქართველოს ქვედაკარტული ბელენიტების სტრატეგრაფიული გავრცელების შესახებ 487

პეტროგრაფია

- 8. გ. ძოწენიძე (აკადემიის წევრ-კორესპონდენტი). ჰიპერსტენიანი პორფირიტები საქართველოს მეზოზოური ვულკანიზმის პროდუქტებში 493

ტაქსონომია

- 9. ი. შენგელია. სატრანსპორტო ხარჯების უმცირესი ღირებულების ამოცანის გადაწყვეტისთვის შეზღუდულობის პირობებში 499

ბოტანიკა

- 10. გ. შანშიაშვილი. ფოსფორის ანიონების გავლენა სადი და ქლოროზიანი ვახუბის ფესვთა სისტემის შეწოვადობაზე 505

ხელოვნების ისტორია

- 11. გ. ალიბეგაშვილი. რელიეფური ფილა სოხუმის მიდამოებიდან 511

მათემატიკა

ს. ჩაპხვაძე

ჰაზემანის ერთი სასაზღვრო ამოცანის ამოხსნის შესახებ რამდენიმე უცნობი ფუნქციისათვის

(წარმოადგინა აკადემიკოსმა ნ. მუსხელიშვილმა 29.3.1951)

4045

§ 1. შესავალი. ვთქვათ, კომპლექსური ცვლადის სიბრტყეზე აღებულია მარტივი, გლუვი, შეკრული წირი L . L წირით შემოსაზღვრული სასრული არე აღენიშნოთ D^+ -ით, ხოლო $D^+ + L$ -ის დამატება მთელ სიბრტყემდე D^- -ით. ვიგულისხმობთ, რომ L -ის მხებზე მიერ მუდმივ მიმართულებასთან შედგენილი კუთხე აკმაყოფილებს H (ჰელდერის) პირობას.

ვთქვათ, L წირზე მოცემულია ფუნქცია $\alpha(t)$, რომელიც L -ს ურთიერთ-ცალსახად თავისთავში გადაიყვანს ისე, რომ t და $\alpha(t)$ შემოაწერენ L წირს ერთმანეთის საწინააღმდეგო მიმართულებით. ვიგულისხმობთ, რომ $\alpha(t)$ ფუნქციის წარმოებული განსხვავებული ნულისაგან და აკმაყოფილებს H პირობას ყველგან L -ზე. $\alpha(t)$ -ს შებრუნებული ფუნქცია აღენიშნოთ $\beta(t)$ -ით.

წინამდებარე სტატიაში განიხილება შემდეგი სასაზღვრო ამოცანა:

მოგნახოთ უბან-უბან ჰოლომორფული ვექტორი⁽¹⁾ $\varphi(\chi) = (\varphi_1, \varphi_2, \dots, \varphi_n)$, რომელსაც სასრული რიგი აქვს უსასრულოეთში, შემდეგი სასაზღვრო პირობებით⁽²⁾:

$$\varphi_k^+[\alpha(t_0)] = \sum_{j=1}^n G_{kj}(t_0) \overline{\varphi_j(t_0)} + g_k(t_0) \quad (1.1)$$

($k = 1, 2, \dots, n$),

სადაც $G_{kj}(t_0)$, $g_k(t_0)$ ($k, j = 1, 2, \dots, n$)-ს წირზე მოცემული ფუნქციები, რომლებიც აკმაყოფილებენ H პირობას, ამასთან $\det \|G_{kj}\| \neq 0$ ყველგან L -ზე.

(1.1) სასაზღვრო ამოცანა $n = 1$ შემთხვევისათვის ამოხსნილია დ. კვესელავას მიერ [3]. წინამდებარე სტატიაში ჩვენ ვხსნი (1.1) ამოცანას $n > 1$ შემთხვევისათვის ისეთივე მეთოდით, როგორც რამდენიმე უცნობი ფუნქციისათვის ჰილბერტის განზოგადებული სასაზღვრო ამოცანა არის ამოხსნილი ნ. ვეკუას მიერ [2].

თუ შემოვიღებთ ვექტორებს

$$\varphi = (\varphi_1, \varphi_2, \dots, \varphi_n), \quad g = (g_1, g_2, \dots, g_n)$$

და მატრიცს

$$G(t_0) = \|G_{kj}(t_0)\|,$$

⁽¹⁾ ამ სტატიაში ხმარებულ ცნებათა შესახებ იხ. [1, 2].

⁽²⁾ ხაზი ზევიდან აღნიშნავს კომპლექსურად შეუღლებულ სიდიდეზე გადასვლას.



მაშინ (1.1) სასაზღვრო პირობა შეიძლება ასე ჩავწეროთ:

$$\varphi^+[\alpha(t_0)] = G(t_0) \overline{\varphi^-(t_0)} + g(t_0) \quad (L\text{-ზე}). \quad (1.2)$$

§ 2. ერთ გვეაროვანი ამოცანა. განვიხილოთ (1.2)-ის შესაბამის ერთგვაროვანი ამოცანა

$$\varphi^+[\alpha(t_0)] = G(t_0) \overline{\varphi^-(t_0)} \quad (L\text{-ზე}). \quad (I)$$

ეძიოთ ჯერჯერობით (I) ამოცანის ისეთი ამოხსნები, რომელთა მთავარი ნაწილი უსასრულებელში მოცემულია:

$$\gamma(z) = (\gamma_1, \gamma_2, \dots, \gamma_n);$$

სადაც $\gamma_j = \gamma_j(z)$ ($j=1, 2, \dots, \gamma_n$) პოლინომებია. გარდა ამისა, დაეუშვათ, რომ საძიებელი ვექტორის სასაზღვრო მნიშვნელობები $\varphi^+(t_0)$ და $\varphi^-(t_0)$ აკმაყოფილებს H პირობას; მაშინ, როგორც ადვილი სანახავია, (I) ამოცანა შემდეგ განტოლებათა ეკვივალენტურია:

$$\frac{1}{2} \varphi^-(t_0) + \frac{1}{2\pi i} \int_L \frac{\varphi^-(t) dt}{t - t_0} = \gamma(t_0), \quad (2.1)$$

$$-\frac{1}{2} G[\beta(t_0)] \overline{\varphi^+[\beta(t_0)]} + \frac{1}{2\pi i} \int_L \frac{G[\beta(t)] \overline{\varphi^+[\beta(t)]} dt}{t - t_0} = 0. \quad (2.2)$$

(2.2) განტოლება ასე შეიძლება გადავწეროთ:

$$\frac{1}{2} \varphi^-(t_0) + \frac{1}{2\pi i} \int_L \frac{G^{-1}(t_0) G(t) \frac{d\alpha(t)}{dt} \varphi^-(t) dt}{\alpha(t) - \alpha(t_0)} = 0. \quad (2.3)$$

თუ ახლა შევკრებთ (2.1) და (2.3)-ს, მივიღებთ ფრედჰოლმის ინტეგრალურ განტოლებას

$$\varphi^-(t_0) - \frac{1}{2\pi i} \int_L \left[\frac{G^{-1}(t_0) G(t) \frac{d\alpha(t)}{dt}}{\alpha(t) - \alpha(t_0)} - \frac{E}{t - t_0} \right] \varphi^-(t) dt = \gamma(t_0), \quad (2.4)$$

სადაც E აღნიშნავს ერთეულ მატრიცს.

ვთქვათ, $\varphi^-(t)$ (2.4) ინტეგრალური განტოლების რაიმე ამოხსნა და განვიხილოთ უბან-უბან ჰოლომორფული ვექტორი $\psi(z)$, რომელიც $\varphi^-(t)$ ვექტორთან დაკავშირებულია შემდეგი დამოკიდებულებით:

$$\psi(z) = \frac{1}{2\pi i} \int_L \frac{\varphi^-(t) dt}{t - z} - \gamma(z), \quad \text{როცა } z \in D^+, \quad (2.5)$$

$$\psi(z) = \frac{1}{2\pi i} \int_L \frac{G[\beta(t)] \overline{\varphi^+[\beta(t)]} dt}{t - z}, \quad \text{როცა } z \in D^-.$$

ადვილი სანახავია, რომ (2.4) განტოლების ამოხსნა $\varphi^-(t)$ მოგვცემს (I) ამოცანის ამოხსნას მაშინ და მხოლოდ მაშინ, როდესაც (2.5) ფორმულით განსაზღვრული $\psi(z)$ ვექტორი იგივეურად ნულის ტოლია მთელ სიბრტყეზე.

წინააღმდეგ შემთხვევაში $\psi(\zeta)$ იქნება უსასრულოდ უსასრულოდ ამოხსნა შემდეგი სასაზღვრო ამოცანისა:

$$\psi^+(t_0) = \overline{G^{-1}(t_0)} \overline{\psi^-[\alpha(t_0)]}. \quad (II)$$

(II) ამოცანას ვუწოდოთ (I) ამოცანის თანამგზავრი ამოცანა. განვიხილოთ ახლა სასაზღვრო ამოცანა

$$\varphi^+[\alpha(t_0)] = \frac{I}{[\alpha(t_0)]} G^{-1}(t_0) \varphi^-[t_0], \quad (I')$$

სადაც $[\overline{\alpha(t)}]' = \alpha'(t) \frac{dt}{dt}$, ხოლო G' არის G მატრიცის ტრანსპონირებული მატრიცი, და განვიხილოთ მისი თანამგზავრი ამოცანა

$$\psi^+(t_0) = [\overline{\alpha(t_0)}]' G'(t_0) \overline{\psi^-[\alpha(t_0)]}. \quad (II')$$

(II) და (II') ამოცანებისათვის შევადგინოთ ინტეგრალური განტოლებები ისეთივე გზით, როგორც (I) ამოცანისათვის (2.4) განტოლება იყო შედგენილი. თუ მიზნად დავისახავთ (II) და (II') ამოცანების უსასრულოდ უსასრულოდ ამოხსნების მოძებნას, მაშინ ხსენებულ ინტეგრალურ განტოლებებს $\psi^+(t_0)$ და $\psi^-[t_0]$ -ის მიმართ ექნებათ შესაბამისად სახე:

$$\begin{aligned} \psi^+(t_0) + \frac{I}{2\pi i} \int_L \left[\frac{\overline{G^{-1}(t_0)} G(t)}{\alpha(t) - \alpha(t_0)} \frac{d\alpha(t)}{dt} - \frac{E}{t - t_0} \right] \psi^+(t) dt = 0, \\ \psi^-[t_0] + \frac{I}{2\pi i} \int_L \left[\frac{\overline{G(t_0)} G^{-1}(t_0)}{\alpha(t) - \alpha(t_0)} \frac{d\alpha(t_0)}{dt_0} - \frac{E}{t - t_0} \right] \psi^-[t] dt = 0. \end{aligned} \quad (2.6)$$

(2.6) ინტეგრალური განტოლება წარმოადგენს (2.4)-ის შესაბამის ერთ-გვაროვანი განტოლების მიკავშირებულს. ამის შემდეგ ადვილად დავრწმუნდებით შემდეგი ლემის სამართლიანობაში:

ლემა. თუ (II) და (I') ამოცანებს არა აქვთ ნულისაგან განსხვავებული ისეთი ამოხსნები, რომელნიც ისპოზიან უსასრულოდ უსასრულოდ, მაშინ (2.4) ინტეგრალური განტოლება ამოხსნადია ნებისმიერი მარჯვენა მხარისათვის (რომელიც წარმოადგენს ვექტორს, რომლის კომპონენტები პოლინომებია) და ამ განტოლების ყოველი ამოხსნა იძლევა (I) ამოცანის ამოხსნას.

განვიხილოთ ახლა ის შემთხვევა, როცა ზემოთხსენებული ლემის პირობები შეიძლება არ იყოს შესრულებული.

უპირველეს ყოვლისა შეიძლება ისეთი $r \equiv 0$ რიცხვი დავასახელოთ, რომ არც ერთს ამოცანებიდან (II) და (I') არ ექნება ისეთი ამოხსნები, რომელთა ნულის რიგი უსასრულოდ იქნება r -ს.

წინააღმდეგ შემთხვევაში $\psi(\zeta)$ იქნება უსასრულოდ კრობადი ამოხსნა შემდეგი სასაზღვრო ამოცანისა:

$$\psi^+(t_0) = \overline{G^{-1}(t_0)} \psi^-[\alpha(t_0)]. \quad (II)$$

(II) ამოცანას ვუწოდოთ (I) ამოცანის თანამგზავრი ამოცანა. განვიხილოთ ახლა სასაზღვრო ამოცანა

$$\psi'^+[\alpha(t_0)] = \frac{I}{[\alpha(t_0)]} G^{-1}(t_0) \psi'^-(t_0), \quad (I')$$

სადაც $[\alpha(t)]' = \alpha'(t) \frac{dt}{dt}$, ხოლო G' არის G მატრიცის ტრანსპონირებული მატრიცი, და განვიხილოთ მისი თანამგზავრი ამოცანა

$$\psi^+(t_0) = [\alpha(t_0)]' G'(t_0) \psi'^-[\alpha(t_0)]. \quad (II')$$

(II) და (II') ამოცანებისათვის შევადგინოთ ინტეგრალური განტოლებები ისეთივე გზით, როგორითაც (I) ამოცანისათვის (2.4) განტოლება იყო შედგენილი. თუ მიზნად დავისახავთ (II) და (II') ამოცანების უსასრულოდ კრობადი ამოხსნების მოძებნას, მაშინ ხსენებულ ინტეგრალურ განტოლებებს $\psi^+(t_0)$ და $\psi'^-(t_0)$ -ის მიმართ ექნებათ შესაბამისად სახე:

$$\begin{aligned} \psi^+(t_0) + \frac{I}{2\pi i} \int_L \left[\frac{\overline{G^{-1}(t_0)} G(t) \frac{d\alpha(t)}{dt}}{\alpha(t) - \alpha(t_0)} - \frac{E}{t - t_0} \right] \psi^+(t) dt = 0, \\ \psi'^-(t_0) + \frac{I}{2\pi i} \int_L \left[\frac{\overline{G(t_0)} G^{-1}(t_0) \frac{d\alpha(t_0)}{dt_0}}{\alpha(t) - \alpha(t_0)} - \frac{E}{t - t_0} \right] \psi'^-(t) dt = 0. \end{aligned} \quad (2.6)$$

(2.6) ინტეგრალური განტოლება წარმოადგენს (2.4)-ის შესაბამი ერთგვაროვანი განტოლების მიკავშირებულს. ამის შემდეგ ადვილად დავრწმუნდებით შემდეგი ლემის სამართლიანობაში:

ლემა. თუ (II) და (I') ამოცანებს არა აქვთ ნულისაგან განსხვავებული ისეთი ამოხსნები, რომელნიც ისპობიან უსასრულოდ კრობადი ამოხსნაში, მაშინ (2.4) ინტეგრალური განტოლება ამოხსნადია ნებისმიერი მარჯვენა მხარისათვის (რომელიც წარმოადგენს ვექტორს, რომლის კომპონენტები პოლინომებია) და ამ განტოლების ყოველი ამოხსნა იძლევა (I) ამოცანის ამოხსნას.

განვიხილოთ ახლა ის შემთხვევა, როცა ზემოთყვანილი ლემის პირობები შეიძლება არ იყოს შესრულებული.

უპირველეს ყოვლისა შეიძლება ისეთი $r \equiv 0$ რიცხვი დავასახელოთ, რომ არც ერთს ამოცანებიდან (II) და (I') არ ექნება ისეთი ამოხსნები, რომელთა ნულის რიგი უსასრულოდ აღემატება r -ს.

ვთქვათ, r რიცხვი ზემოაღნიშნული თვისებისა და მოვებზნოთ (I) ამოცანის ყველა ამოხსნა, რომელთა რიგი უსასრულოდში r -ს არ აღემატება. ადვილად დაგროვებულა, რომ საძიებელ ამოხსნას აქვს სახე:

$$\varphi(z) = \overline{\gamma_1}^1 \varphi(z) + \overline{\gamma_2}^2 \varphi(z) + \dots + \overline{\gamma_n}^n \varphi(z) + \overline{\gamma_{n+1}}^{n+1} \varphi(z) + \dots + \overline{\gamma_m}^m \varphi(z),$$

როცა $z \in D^+$,

(2.7)

$$\varphi(z) = \overline{\gamma_1}^1 \varphi(z) + \overline{\gamma_2}^2 \varphi(z) + \dots + \overline{\gamma_n}^n \varphi(z) + \overline{\gamma_{n+1}}^{n+1} \varphi(z) + \dots + \overline{\gamma_m}^m \varphi(z),$$

როცა $z \in D^-$,

სადაც $\overline{\gamma_1}^1, \overline{\gamma_2}^2, \dots, \overline{\gamma_m}^m$ ნებისმიერი მუდმივებია, ხოლო $\overline{\gamma_1}^1 \varphi(z), \overline{\gamma_2}^2 \varphi(z), \dots, \overline{\gamma_m}^m \varphi(z)$ (I) ამოცანის გარკვეული წრფივად დამოუკიდებელი ამოხსნებია.

(2.7) ზოგადი ამოხსნიდან შეიძლება გამოვყოთ n ისეთი ამოხსნა

$$\overline{\chi}^1(z), \overline{\chi}^2(z), \dots, \overline{\chi}^n(z),$$
(2.8)

რომელთაც შემდეგი ძირითადი თვისებები აქვთ:

1) დეტერმინანტი

$$\Delta(z) = \det \|\overline{\chi}_j^k\|$$

ნული არ ხდება არსად სიბრტყის სასრულ ნაწილში.

2) ვთქვათ, $(-\alpha_j)$ არის $\overline{\chi}^j(z)$ ამოხსნის რიგი უსასრულოდში; თუ აღნიშნავთ

$$\overline{\chi}^0(z) = z^{\alpha_j} \overline{\chi}^j(z) \quad (j=1, 2, \dots, n),$$

მაშინ დეტერმინანტი

$$\Delta^0(z) = \det \|\overline{\chi}_j^0(z)\|$$

ღებულობს ნულისაგან განსხვავებულ სასრულ მნიშვნელობას უსასრულოდში.

(I) ამოცანის ყოველ n ამოხსნას, რომელთაც 1° და 2° თვისება აქვთ, ვუწოდოთ ამ ამოცანის ამოხსნათა კანონიკური სისტემა, ხოლო მატრიცს

$$X(z) = \|\overline{\chi}_j^k\|$$

ვუწოდოთ (I) ამოცანის კანონიკური მატრიცი¹⁾.

ცხადია, გვაქვს

$$X^+[z(t_0)] = G(t_0) \overline{X}^-(t_0),$$
(2.9)

საიდანაც

$$G(t_0) = X^+[z(t_0)] [\overline{X}^-(t_0)]^{-1}.$$
(2.10)

ზემოთ განსაზღვრულ x_1, x_2, \dots, x_n მთელ რიცხვებს ვუწოდოთ (I) ამოცანის კერძო ინდექსები, ხოლო მათ ჯამს

$$x = x_1 + x_2 + \dots + x_n$$

ჯამ ინდექსი. ადვილი სანახებია, რომ

$$x = \frac{1}{2\pi} [\arg \overline{G}(t_0)]_L.$$

¹⁾ შეიძლება ვაჩვენოთ, რომ x_1, x_2, \dots, x_n რიცხვები ერთი და იგივე ამოხსნათა ყველა კანონიკური სისტემისათვის.

ამის შემდეგ შეიძლება ვაჩვენოთ შემდეგი თეორემის სამართლიანობა:
თეორემა 1. (I) ამოცანის ყველა ამოხსნა, რომელთაც სა-
სრული რიგი აქვთ უსასრულოდ ში, მოიცემა ფორმულით

$$\varphi(z) = a_1(z) \overset{1}{\chi}(z) + a_2(z) \overset{2}{\chi}(z) + \dots + a_n(z) \overset{n}{\chi}(z), \quad (2.11)$$

სადაც $\overset{1}{\chi}(z), \overset{2}{\chi}(z), \dots, \overset{n}{\chi}(z)$ (I) ამოცანის ამოხსნათა კანონიკური
სისტემაა, ხოლო $a_1(z), a_2(z), \dots, a_n(z)$ ფუნქციები ეკუთვნის
 M_n^* სიმრავლეს¹.

გადავიდეთ ახლა (I') ამოცანის ამოხსნათა კანონიკური სისტემის აგე-
ბაზე. (2.9)-დან ვღებულობთ:

$$[X' + [\alpha(t_0)]]^{-1} = G'^{-1}(t_0) [\overline{X' - (t_0)}]^{-1}. \quad (2.12)$$

აღვნიშნოთ $\Phi(z)$ -ით უბან-უბან ჰოლომორფული ფუნქცია, რომელიც
ერთის ტოლია უსასრულოდ ში და აკმაყოფილებს სასაზღვრო პირობას:

$$\Phi + [\alpha(t_0)] = \frac{1}{[\alpha(t_0)]'} \overline{\Phi - (t_0)}. \quad (2.13)$$

ვინაიდან

$$z = \frac{1}{2\pi} \left[\arg \frac{1}{[\alpha(t_0)]'} \right]_L = 0,$$

ამიტომ აღნიშნული თვისების მქონე ფუნქციის არსებობა გამოდინარეობს
[3] შრომაში დამტკიცებული ერთი თეორემიდან.

(2.12) და (2.13)-დან მივიღებთ:

$$[X' + [\alpha(t_0)]]^{-1} \Phi + [\alpha(t_0)] = \frac{1}{[\alpha(t_0)]'} G'^{-1}(t_0) [\overline{X' - (t_0)}]^{-1} \overline{\Phi - (t_0)}.$$

ამის შემდეგ ადვილი საჩვენებელია, რომ მატრიცი

$$\Phi(z) [X'(z)]^{-1}$$

წარმოადგენს (I') ამოცანის კანონიკურ მატრიცს, ამასთან (I') ამოცანის კერ-
ძო ინდექსები იქნება $-x_1, -x_2, \dots, -x_n$.

§ 3. არაერთგვაროვანი ამოცანა. განვიხილოთ ახლა არაერთ-
გვაროვანი ამოცანა (1.2):

$$\varphi + [\alpha(t_0)] = G(t_0) \overline{\varphi - (t_0)} + g(t_0). \quad (3.1)$$

(2.10)-ის ძალით ვღებულობთ:

$$[X + [\alpha(t_0)]]^{-1} \varphi + [\alpha(t_0)] = [\overline{X - (t_0)}]^{-1} \overline{\varphi - (t_0)} + [X + [\alpha(t_0)]]^{-1} g(t_0).$$

ამის შემდეგ [3] შრომაში მიღებული შედეგების საფუძველზე შეიძლება
ვაჩვენოთ, რომ

¹ სიმოკლისათვის M_n^* -ით აღნიშნულია სიმრავლე ისეთი $\omega(z)$ ფუნქციებისა, რომელთაც
სასრული რიგი აქვთ უსასრულოდ ში და L წირზე აკმაყოფილებენ შემდეგ სასაზღვრო პი-
რობას:

$$\omega^+[\alpha(t_0)] = \overline{\omega - (t_0)}.$$

ასეთი ფუნქციების არსებობის შესახებ იხ. [3].

$$\varphi(z) = \frac{X(z)}{2\pi i} \int_L \frac{\rho[\beta(t)] dt}{t-z}, \quad \text{როცა } z \in D^+, \quad (3.2)$$

$$\varphi(z) = \frac{X(z)}{2\pi i} \int_L \frac{\overline{\rho(t)} dt}{t-z} + X(z) p(z), \quad \text{როცა } z \in D^-,$$

სადაც

$$p(z) = (p_1, p_2, \dots, p_n),$$

ა მასთან $p_j = p_j(z)$ ($j=1, 2, \dots, n$) ნებისმიერი პოლინომებია, $\rho(t)$ კი არის ამოხსნა შემდეგი ინტეგრალური განტოლებისა:

$$S\rho \equiv \rho(t_0) - \frac{1}{2\pi i} \int_L K(t_0, t) \rho(t) dt = [X^+[\alpha(t_0)]]^{-1} g(t_0) + \overline{p(t_0)}, \quad (3.3)$$

სადაც $K(t_0, t)$ გულს აქვს შემდეგი სახე⁽¹⁾:

$$K(t_0, t) = \frac{\alpha'(t)}{\alpha(t) - \alpha(t_0)} - \frac{(\overline{t})'}{\overline{t} - \overline{t_0}}.$$

ალგინზოთ (3.3) ინტეგრალური განტოლების რეზოლვენტი $\Gamma(t_0, t)$ -ით მტკიცდება შემდეგი თეორემის სამართლიანობა:

თეორემა 2. (3.1) არაერთგვაროვანი ამოცანის ისეთი ამოხსნის არსებობისათვის, რომელიც ნულად იქცევა უსასრულოთში, აუცილებელი და საკმარისია დატული იყოს შემდეგი პირობა:

$$\int_L g(t) Q(t) dt = 0, \quad (3.4)$$

სადაც

$$Q(t) = [X^+[\alpha(t)]]^{-1} q(t) + [X^+[\alpha(t)]]^{-1} \int_L \Gamma(t_1, t) q(t_1) dt_1,$$

$$q(t) = (q_{-x_1-1}, q_{-x_2-1}, \dots, q_{-x_n-1}),$$

ამასთან q_j ხარისხის ნებისმიერი პოლინომებია, როცა $j \geq 0$ და $q_j \equiv 0$, როცა $j < 0$; თუ (3.4) პირობა შესრულებულია, მაშინ (3.1) ამოცანის ზოგადი ამოხსნა, რომელიც ისპობა უსასრულოთში, მოიცემა (3.2) ფორმულით, რომელშიაც

$$p(z) = (p_{x_1-1}, p_{x_2-1}, \dots, p_{x_n-1}),$$

სადაც p_j ხარისხის ნებისმიერი პოლინომებია, როცა $j \geq 0$ და $p_j \equiv 0$, როცა $j < 0$.

შენიშვნა 1. ყველა ზემოთ მოყვანილი შედეგი ძალაშია იმ შემთხვევაშიც, როდესაც L შედგება ერთმანეთის არაგადამკვეთ მარტივ, გლუვ, შეკრულ წირთა სასრული რიცხვისაგან, რომელნიც ბმულ არეს შემოსაზღვრავენ.

(1) იხ. [3].

ბოლოს ზემოთ მიღებული შედეგების გამოყენებით ვსწავლობთ შემდეგ სინგულარულ ინტეგრალურ განტოლებათა სისტემას:

$$\sum_{k=1}^n \left\{ A_{jk}(t_0) \mu_k[\alpha(t_0)] + B_{jk}(t_0) \overline{\mu_k(t_0)} + \frac{A_{jk}(t_0)}{\pi i} \int_L \frac{\mu_k(t) dt}{t - \alpha(t_0)} + \frac{B_{jk}(t_0)}{\pi i} \int_L \frac{\overline{\mu_k(t)} dt}{t - t_0} + \frac{1}{\pi i} \int_L \gamma_{jk}(t_0, t) \mu_k(t) dt \right\} = f_j(t_0)$$

($j = 1, 2, \dots, n$),

სადაც $A_{jk}(t_0)$, $B_{jk}(t_0)$, $f_j(t_0)$ ($k, j = 1, 2, \dots, n$) მოცემული ფუნქციებია, რომლებიც H პირობას აკმაყოფილებენ ყველგან L -ზე; $\gamma_{jk}(t_0, t)$ ($k, j = 1, 2, \dots, n$) აგრეთვე L -ზე მოცემული ფუნქციებია, რომელთაც აქვთ შემდეგი სახე:

$$\gamma_{jk}(t_0, t) = \frac{\gamma_{jk}^*(t_0, t)}{|t - t_0|^\alpha} \quad 0 \leq \alpha < 1,$$

ამასთან $\gamma_{jk}^*(t_0, t)$ ფუნქციები H პირობას აკმაყოფილებენ L -ზე.

სტალინის სახელობის
თბილისის სახელმწიფო უნივერსიტეტი

(რედაქციას მოუვიდა 5.4.1951)

დამოწმებული ლიტერატურა

1. Н. И. Мусхелишвили. Сингулярные интегральные уравнения. М.—Л., 1946.
2. Н. П. Векуа. Системы сингулярных интегральных уравнений. М.—Л., 1950.
3. Д. А. Квеселава. Об одной граничной задаче теории функций. Сообщения Академии Наук Грузинской ССР, т. VII, № 10.

ფიზიკა

რ. მღვრიანი, დ. ჩიღვინაძე და ც. სალუშვაძე

კრისტალების ზედაპირული ფენის შესუსტების საკითხის შესახებ
 (წარმოადგინა აკადემიის წევრ-კორესპონდენტმა ე. ანდრონიკაშვილმა 6.1.1951)

1. შესავალი

ლითონის ზედაპირული ფენის თვისების შესახებ საკითხი პირველად დასმული იყო ნ. დავიდენკოვის მიერ. მისი აზრით, ზედაპირთან ახლო მყოფ კრისტალიტებს მეტი თავისუფლება აქვთ პლასტიკური ძვრების განსაზღვრებად, ვიდრე ლითონის შიგნით მყოფ კრისტალიტებს, რომლებიც ბლოკირებულნი არიან მეზობელი მარცვლებით. ამის შედეგად ლითონის ზედაპირული ფენა შესუსტებულია, ე. ი. ამ ფენას დეფორმაციისადმი წინააღმდეგობის გაწევის ნაკლები უნარი აქვს. ამასთანავე შესუსტებული ფენის სისქე მარცვლის სიდიდის თანაზომადია.

ნ. დავიდენკოვის ჰიპოთეზა ზედაპირული ფენის შესუსტების შესახებ ცდით დადასტურდა რიგი ავტორების შრომებში, რომლებიც დაწვრილებითაა განხილული ბ. იოფეს [1] შრომაში.

ლითონის ზედაპირიდან სხვადასხვა სიღრმეზე ზედაპირული ფენის თვისების შესწავლამ მიკროსიმაგრის გაზომვის გზით საშუალება მოგვცა დაგვედგინა რიგი საინტერესო ფაქტები. ა. ბოჩვარისა და ო. ჟადაეევის [2] მიერ მიკროსიმაგრის გაზომვის მეთოდით შესწავლილია პოლიკრისტალური ლითონის ზედაპირული ფენა. მათ მიერ მიღებული მრუდები ბუნების შექმნის სიღრმესთან მიკროსიმაგრის დამოკიდებულებისა გვიჩვენებს, რომ ჩალრმავებასთან ერთად იზრდება მიკროსიმაგრე, აღწევს მაქსიმალურ მნიშვნელობას რომელიც სიღრმეზე და შემდეგ ნელა ეცემა.

განსაკუთრებით მკვეთრად გამოსახული მაქსიმუმი მიღებული დეფორმირებული, პოლირებული ზედაპირისათვის, მხოლოდ არადეფორმირებული ზედაპირისათვის მიკროსიმაგრის სიღრმესთან დამოკიდებულების ხასიათი იგივე რჩება, მაგრამ მაქსიმუმი უფრო სუსტადაა გამოსახული.

მეორე მხრივ, ლეიზეს [1] მიერ სპილენძის და ალუმინის მონოკრისტალებზე ჩატარებულმა გამოკვლევებმა არ აჩვენა ზედაპირულ ფენაში მიკროსიმაგრის არაერთი დაცემა.

დ. ლოლობერიძისა და ნ. კოპაცკის [3] მიერ ახლახან გამოქვეყნებულ შრომაში გამოკვლეულია მიკროსიმაგრეზე ქვაშარლის მონოკრისტალების პოლირების გავლენის ხასიათი. თავისი გამოკვლევის საფუძველზე ავტორები ასკენიან, რომ 1) პოლირებული ზედაპირის მიკროსიმაგრე მეტია, ვიდრე ბუნებრივი ან ამოკმული ზედაპირისა; 2) ამოკმული ფენის სისქის ზრდას-

თან ერთად მიკროსიმაგრე (ვიცირდება; 3) ქვემაროლის ბუნებრივი წახნაგის მიკროსიმაგრის დამოკიდებულება დატვირთვისაგან იგივეა, რაც პოლირებულ ი ზედაპირისათვის.

წინამდებარე შრომის მიზანია ქვემაროლის მონოკრისტალების წახნაგების მიკროსიმაგრის ცვლილებების ხასიათის დადგენა ალმასის პირამიდის შეჭრის სიღრმესთან (დატვირთვისთან) დამოკიდებულებით.

2. ექსპერიმენტის აღწერა

საკვლევ ნიმუშად აღებული იყო ქვემაროლის მონოკრისტალები. ქვემაროლის კრისტალება გამოკვლეულ იქნა (100), (110) და (111) სიბრტყეებზე. სიბრტყე (100) მიიღებოდა ვაპობით, ხოლო (110) და (111) სიბრტყეები წყალში გახსნილი სპირტით ამოკმის გზით.

წახნაგების სიგლუვე მიღწეულ იქნა ზემოთ ნაჩვენები სითხით გაქვნილი რბილ აბრეშუმის ქსოვილზე პოლირებით.

წახნაგების გამოკვლევა ჩატარდა აგრეთვე ვაკუუმში (10⁻⁴—მმ ვერცხლის წყლის სე) გამოწვის შემდეგ. გამოწვა ხდებოდა 600° ტემპერატურაზე 6 საათის განმავლობაში, განუწყვეტელი ამოტუმბვის პირობებში.

გაზომები წარმოებდა IIHT—3 ტიპის მიკროსიმაგრის გამოზომი ხელსაწყოთი. ალმასის პირამიდის წვერის კუთხე 136° უდრის. დატვირთვა ინტენდერზე გაზომვისას იცვლებოდა ერთიდან 10 გრამამდე.

თითოეული გაზომვა მეორდებოდა 4-ჯერ სამ სხვადასხვა წერტილში და ვილებდით მათ საშუალო მნიშვნელობას. ანაბეჭდის დიამეტრი იზომებოდა ოკულარ-მიკრომეტრით, რომლის დანაყოფის ფასი 0,0003 მმ ტოლია. მონოკრისტალების ანიზოტროპიის გავლენის გამოსარიცხავად გაზომვისას პუანსონის ორიენტირება კრისტალის მიმართ მუდმივი რჩებოდა.

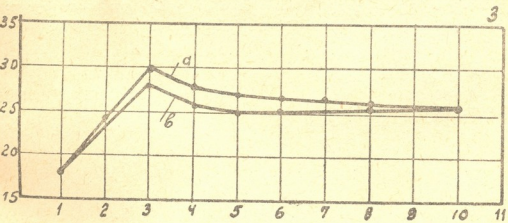
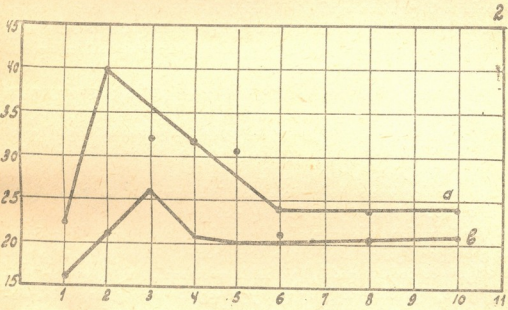
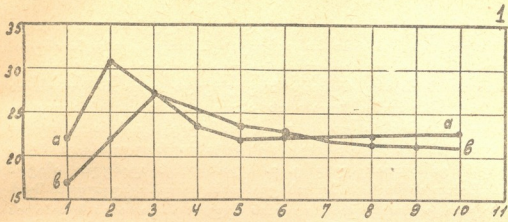
3. გაზომვის შედეგები

ჩვენ მიერ მიღებული შედეგები მოყვანილია ცხრილში და გრაფიკზე.

ცხრილი 1

ქვემაროლის მონოკრისტალების მიკროსიმაგრე სხვადასხვა დატვირთვის დროს (კვმმ²-ით)

დატვირთვა	სიბრტყე (100)		სიბრტყე (110)		სიბრტყე (111)	
	გამოწვამდე	გამოწვის შემდეგ	გამოწვამდე	გამოწვის შემდეგ	გამოწვამდე	გამოწვის შემდეგ
1	22,2	17	22,2	16,8	18,5	17,8
2	31,5	24,1	40,2	21,3	24,3	23,8
3	27,8	27,8	32,4	26,3	30,9	27,8
4	24,1	24,1	31,5	21,7	26,9	25,2
5	24,0	22,3	31,3	20,7	26,7	25,0
6	20,0	22,3	24,8	21,5	26,7	25,2
7	22,3	23,5	24,8	21,5	26,9	25,7
8	22,3	23,5	24,8	21,5	26,9	25,7
9	22,3	23,0	24,9	22,8	26,9	25,9



ქვემოთ მოწოდებული მკრისმაცრის მკრისმაცრის დამოკიდებულება დატვირთვისაგან. *a*—გამოწმის შემდეგ
 1—სიბრტყე (100), 2—სიბრტყე (111), აბსციუსას ლერხზე—დატვირთვა გრამობით; ორდინატების ლერხზე—
 მიკროსინაგრე კვ.მმ-ით

4. შედეგების განხილვა

მიღებული მრუდები მიკროსიმაგრის დამოკიდებულებებისა ტვირთისაგან ახლად გაპობილი და გამომწვარი მონოკრისტალებისათვის შეიძლება ინტერპრეტირებულ იქნეს შემდეგნაირად: კრისტალის გაპობისას კრისტალოგრაფიული წახნაგის ზედაპირი (რაგინდ სრულყოფილი იყოს ის) ყოველთვის რაოდენადმე დეფორმირდება. ზედაპირის ახლო მესერში დეფორმაციის შედეგად წარმოიქმნება ნარჩენი დაძაბულობა, რომელიც შეიჭრება გარკვეულ სიღრმეზე. მეორე მხრივ, ზედაპირულ ფენას მეტი თავისუფლება აქვს პლასტიკური ძვრების განსავეითარებლად, ე. ი. ზედაპირი შესუსტებულია. ამიტომ ასეთი წახნაგებისათვის მიკროსიმაგრის ტვირთისაგან დამოკიდებულება შეიძლება განვიხილოთ როგორც ორი მოვლენის შედეგი: 1. წახნაგის ზედაპირის გამკვრივებისა გაპობისას და 2. წახნაგის ზედაპირული ფენის შესუსტებისა.

მიკროსიმაგრის ტვირთისაგან (პუანსონის შეჭრის სიღრმისაგან) დამოკიდებულების მრუდის საწყისი ნაწილის მკვეთრი აღმავლობა მაქსიმუმამდე შეიძლება აიხსნას ზედაპირული შესუსტებული ფენის სიღრმესთან თანდათან შესუსტებით და ამ ფენის გამკვრივებით.

თუმცა გამკვრივება სიღრმესთან დაკავშირებით ეცემა, უნდა მივიღოთ, რომ თვით ზედაპირთან ძირითად როლს თამაშობს შესუსტება, ხოლო ზედაპირის უფრო ღრმა ფენებში — გამკვრივება. მიკროსიმაგრის მაქსიმუმი შეესაბამება ისეთ სიღრმეს, რომელზედაც გამკვრივება წმინდა სახით გამოვლინდება.

ჩაღრმავებასთან ერთად მიკროსიმაგრის შემდეგი დაცემა ხასიათდება გამკვრივების ხარისხის შემცირებით სიღრმესთან ერთად.

ასეთი წარმოდგენის სამართლიანობას ვვიჩვენებს აგრეთვე იმავე ნიმუშებისათვის გამოწვის შემდეგ მიღებული შედეგები. მართლაც, გამოწვა უფრო მეტად ამცირებს ნარჩენ დაძაბულობას ზედაპირთან, ვიდრე ღრმად განლაგებულ ფენებში, და ამიტომ შესუსტებული ფენის სიღრმე დიდდება, რასაც უჩვენებს მიკროსიმაგრის მაქსიმუმის გადანაცვლება მარჯვნივ. შესუსტებული ზედაპირული ფენის გავლენა ამ ფენაში ნაკლებად კომპენსირებულია ნარჩენი დაძაბულობით, ვიდრე გამოუწვავი კრისტალების შემთხვევაში.

საქართველოს სსრ მეცნიერებათა აკადემია
ფიზიკის ინსტიტუტი
თბილისი

სტალინის სახელობის
თბილისის სახელმწიფო უნივერსიტეტი

(რედაქციას მოუვიდა 6.1.1951)

დამოწმებული ლიტერატურა

1. Б. С. Иоффе. Применение метода измерения микротвердости к решению некоторых физических задач. ЖТФ, т. XXX, вып. 10, 1949.
2. А. А. Бочвар и О. С. Жаадаева. Изменение микротвердости в зависимости от глубины проникновения интандора и состояния поверхностного слоя. Изв. АН СССР, О. Т. Н., № 3, 1947.
3. Д. Б. Гогоберидзе и Н. А. Конацкий. К вопросу о механизме явлений шлифовки и полировки. ЖТФ, т. XX, вып. 8, 1950.

ბ. გორლაძე

მეზონების თეორიულად შესაძლო მასების შესახებ ⁽¹⁾

(წარმოადგინა აკადემიის წევრ-კორესპონდენტმა ვ. მამასახლისოვმა 30.1.1951)

1. ელემენტარულ ნაწილაკთა თვისებების შესწავლა, უძველესი, თანამედროვე თეორიული და ექსპერიმენტული ფიზიკის ცენტრალური საკითხია. ამ საკითხისადმი ინტერესი აიხსნება მასთან დაკავშირებული პრობლემების მთელი რიგით, რომელთაც ეგოდენ დიდი მნიშვნელობა აქვთ კოსმიური სხივების ფიზიკისა და ატომბირთვის შესწავლისათვის.

ამ რამდენიმე ხნის წინათ გამოქვეყნებულ შრომებში ბორნმა და მისმა თანამშრომლებმა [2, 3, 4, 5] სცადეს ურთიერთობის პრინციპი გამოეყენებინათ ელემენტარულ ნაწილაკთა თეორიაში და მიიღეს თეორიული შედეგების მთელი რიგი. ეს შრომა მიზნად ისახავს ელემენტარული ნაწილაკების მასების გამოთვლას ბორნის თეორიული სქემის მიხედვით და თეორიის ექსპერიმენტთან შედარებას. ამასთანავე ჩვენ არ ვეხებით იმ საკითხს, თუ რამდენად სწორია ბორნის თეორიული წინამძღვრები.

2. აღნიშნულმა ავტორებმა მიიღეს ფორმულა მოსვენებითი მდგომარეობის მასათა თეორიული მნიშვნელობისათვის ერთეულად სპინის მქონე ნაწილაკთა შემთხვევაში:

$$m = \left(\frac{hc}{2\pi e^2} \right) \sqrt{x} \mu, \quad (1)$$

სადაც x ფესვია შემდეგი განტოლებისა:

$$I_n^{(\mu)}(x) = 0, \quad (2)$$

რომელშიც $I_n^{(\mu)}(x)$ ლაგერის პირველი გვარის პოლინომია; μ — ელექტრონის მოსვენებითი მასა, e — ელემენტარული მუხტი, h — პლანკის მუდმივი, ხოლო c — სინათლის სიჩქარე.

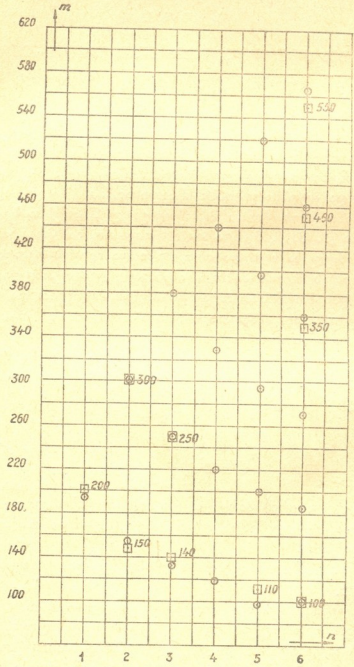
n პარამეტრს ($I_n^{(\mu)}(x)$ პოლინომის რიგს) შეუძლია მიიღოს მნიშვნელობები 1, 2, 3, 4...

(2) განტოლების ამოხსნა მიღებული იყო $n = 1, 2, 3, 4$, 5 მნიშვნელობებისათვის და თეორიული შედეგები შედარებული იყო მეზონის მხოლოდ ორ მასასთან, რომლებიც 200 და 300 ელექტრონის მასის ტოლი იყო.

პარამეტრის $n = 6$ მნიშვნელობისათვის (2) განტოლება დადის მეექვსე რიგის ალგებრულ განტოლებამდე, რომელიც ჩვენ მიერ ამოხსნილი იყო ლოზანის უნივერსიტეტის მეთოდით.

¹ წინასწარი შენიშვნა ამ შრომის შესახებ გამოქვეყნდა [1]-ში.

აღნიშნული ავტორების გამოთვლების შედეგები $n = 1, 2, 3, 4, 5$ -ისათვის და ჩვენი შედეგები $n = 6$ -ისათვის მოცემულია ქვემოთ გრაფიკზე, სადაც ნაჩვენებია აგრეთვე ალიხანოვისა და ალიხანიანის მეზონების მოსვენებითი მდგომარეობის მასები [6, 7, 8] (მიღებულია, რომ მეზონებს აქვთ სპინი=1)-



ნახ. 1

ნახ. 1. ორდინატა ღერძზე აზომილია მეზონების m —მასები ელექტრონის მოსვენებითი მასის ერთეულებით ($\mu = 1$), აბსცისათა ღერძზე—ბორნის n —პარამეტრი ● თეორიული წერტილებია $n=1, 2, 3, 4, 5$ ბორნის მიხედვით, ხოლო $n=6$ -ისათვის—ამ შაომის მიხედვით. □ ექსპერიმენტული წერტილებია ალიხანოვისა და ალიხანიანის მიხედვით.

ჩვენი გამოთვლების შედეგები გვიჩვენებს, რომ: 1) თეორიულად გამოთვლილი მასების რიცხვი (მიღებული (1) და (2) ფორმულების საფუძველზე) გაცილებით უფრო მეტია, ვიდრე მასების მოცემულ ინტერვალში (100—550) არსებული ექსპერიმენტულად ცნობილი მეზონების რიცხვი. როგორც ჩანს, ყველა თეორიული მასა როდი ხასიათდება ექსპერიმენტულად საგრძნობი სივრცის ხანგრძლიობით.

2) თეორიულ მოსვენებით მასათა შორის არის ისეთები, რომელნიც ± 10 ა 15 ელექტრონის მასის ცდომილებით თანხვედრიან ალიხანოვისა და ალიხანიანის მსუბუქ მასებს, 100, 110, 150, 200, 250, 300, 350, 450 და 550 ელექტრონის მასების შესაბამისს.

როგორც ეტყობა, თეორიის ექსპერიმენტთან თანხმობა მასების აღნიშნულ ინტერვალში შემთხვევითი ხასიათისა არ უნდა იყოს.

ჩვენ ვფიქრობთ, რომ ინტერესს მოკლებული არ არის შევადფასოთ თეორიულად შესაძლო მასები, ბორნის სქემის მიხედვით, პარამეტრის დიდ მნიშვნელობათათვის და შედეგები შევადაროთ ალიხანოვისა და ალიხანიანის მეზონების დიდ მასებს (ე. ი. მეზონებს 680, 850, 1100, 1300, 2500, 3800, 8000 და 25000 ელექტრონის მასებით).

3. ამ მიზნით შესწავლილი იყო (2) განტოლება (ორთოგონალურ პოლინომთა ცნობილი თეორემის მიხედვით ([9], გვ. 127)), რომლის მიხედვითაც n ინდექსის ფიქსირებული მნიშვნელობისათვის $L_n^{(\alpha)}(x)$ ლაგერის პოლინომის ფესვები მოცემულია ფორმულით:

$$x\nu^{\frac{1}{2}} = (4n + 2\alpha + 2)^{\frac{1}{2}} - 6^{-\frac{1}{6}} (4n + 2\alpha + 2)^{-\frac{1}{6}} (i\nu + \epsilon_n), \quad (3)$$

სადაც $\lim_{n \rightarrow \infty} \epsilon_n = 0$, ხოლო $i\nu$ —ზრდადი მიმდევრობით დალაგებული ეირის პოლინომების ფესვებია, რომელთაც ν -ს დიდი მნიშვნელობებისათვის ($\nu \rightarrow \infty$) აქვთ მიახლოებითი მნიშვნელობები:

$$i\nu \cong \nu^{\frac{2}{3}}. \quad (4)$$

თუ მივიღებთ მხედველობაში, რომ ჩვენს შემთხვევაში $\alpha = 1$ იხ. (1), (3) ფორმულის მიხედვით ჩვენ მივალთ შემდეგ განტოლებამდე:

$$x\nu^{\frac{1}{2}} = (4n + 4)^{\frac{1}{2}} - 6^{-\frac{1}{6}} i\nu (4n + 4)^{-\frac{1}{6}} + O(n^{-\frac{1}{6}}). \quad (5)$$

ლაგერის პოლინომების ფესვთა ამ ფორმულით შეიძლება ვისარგებლოთ (1) განტოლებაში იმისათვის, რომ მივიღოთ თეორიულად შესაძლო მოსვენებითი მასები მეზონებისათვის (თუ მათთვის მიღებული იქნება მთელრიცხვასპინის მნიშვნელობა).

მაშინ მივიღებთ:

$$m = \left(\frac{hc}{2\pi e^2} \right) \left\{ (4n + 4)^{\frac{1}{2}} - 6^{-\frac{1}{6}} i\nu (4n + 4)^{-\frac{1}{6}} + O(n^{-\frac{1}{6}}) \right\} \mu, \quad (6)$$

სადაც μ ელექტრონის მასაა, ხოლო $i\nu$ მოცემულია (4) ფორმულით. შევნიშნავთ, რომ ჩვენი (6) ფორმულა მეზონების მოსვენებითი მასების მიახლოებით. 30. „მომბე“, ტ. XII, № 8, 1951

ებითი თეორიული განსაზღვრისათვის მით უფრო კარგ მნიშვნელობებს იძლევა, რაც უფრო მეტია n პარამეტრის მნიშვნელობა.

ამიტომ გასაგებია, რომ (6) ფორმულა შეიძლება იყოს გამოყენებულა მეზონების მაქსიმალური თეორიული მასის განსაზღვრისათვის, როდესაც n მოცემულია. ამ მიზნით საკმარისია (6) ფორმულაში ჩავსვათ

$$6^{-\frac{1}{3}} i_v = 6^{-\frac{1}{3}} i_1 = 1,856 \quad (7)$$

(იხ. [9], გვ. 128). მაშინ ჩვენ მივიღებთ მეზონების მაქსიმალურ მასას (მოცემული n პარამეტრისათვის) შემდეგი სახით:

$$m_{\max} = \frac{hc}{2\pi e^2} \left\{ (4n+4)^{\frac{1}{2}} - 1,856 (4n+4)^{-\frac{1}{6}} \right\} \mu \quad (8)$$

ამ ფორმულის შემოწმების მიზნით შევედაროთ მისი საშუალებით მიღებული x_v სიდიდე (ფიგურის ფრჩხილებში აღებული სიდიდე, აყვანილი კვადრატში) იმავე სიდიდეს, რომელიც მიიღება (2) განტოლების უშუალოდ ამოხსნით ბორნისა და როდრიგოს მიერ $n=1, 2, 3, 4, 5$ -ისათვის და ჩვენ მიერ $n=6$ -ისათვის. ასეთი შედარების შედეგები მოცემულია ქვემოთ მოყვანილ პირველ ცხრილში.

ცხრილი 1

პარამეტრი n	1	2	3	4	5	6
x_v მაქსიმალური მნიშვნელობა (8) ფორმულის მიხედვით	2,292	5,004	8,009	11,196	14,486	17,868
x_v -ს მაქსიმალური მნიშვნელობა ბორნისა და როდრიგოს მიხედვით ($n=1, 2, 3, 4, 5$) და ჩვენი შრომის მიხედვით, როდესაც $n=6$	2	4,73	7,75	10,09	14,26	17,647

ამ ცხრილიდან ჩანს, რომ (2) განტოლების მაქსიმალური ფესვები (მოცემული n -ისათვის), გამოთვლილი ჩვენი (8) ფორმულით, კარგად ეთანხმება უშუალო გამოთვლების შედეგებს, განსაკუთრებით n პარამეტრის დიდ მნიშვნელობათა შემთხვევაში.

ვინელმძღვანელოთ (8) ფორმულით და მივიღოთ n პარამეტრის ის მნიშვნელობა, რომელსაც შეესაბამებოდა, მაგალითად, 3800 ელექტრონის მასის მქონე მეზონი. შეფასება გვიჩვენებს, რომ ამ მეზონს შეესაბამება $n \approx 200$. ზოლო ასეთი პარამეტრისათვის ($n \approx 200$) შესაძლო თეორიული მასების რიცხვი იქნებოდა $2,01 \cdot 10^4$, ე. ი. იმათი რიცხვი 3800-ზე გაცილებით უფრო მეტი იქნებოდა, ასე რომ უკვე მეზონის ამ მასისათვის თეორია იძლევა შესაძლო მასების უწყვეტ ერთობლიობას.

ამრიგად, ჩვენ მივდივართ დასკვნამდე, რომ ბორნის თეორიული სქემა არ შეიძლება იყოს შეთანხმებული მეზონების მასების დიდ მნიშვნელობებთან.

4. ანალოგიური შედეგი მიიღება ლაგერის პოლინომთა ფესვების შემდეგი მიახლოებითი ფორმულის გამოყენებით:

$$x_\nu = \{\pi\nu + O(1)\}^2/4n, \quad (9)$$

სადაც $\nu = 1, 2, 3, \dots, n$ (იხ. [9], გვ. 223).

ეს ფორმულა დიდი n -ის შემთხვევაში კარგ მიახლოებას იძლევა ლაგერის $L_n^{(\lambda)}$ პოლინომების ფესვებისათვის. ამის დასამტკიცებლად ჩვენ მოგვყავს მიახლოებითი ფესვების (9) ფორმულით მიღებულ მნიშვნელობათა შედარება $n = 5$ -ის შემთხვევაში ბორნისა და როდრიგოს უშუალოდ გამოთვლილ მნიშვნელობებთან.

ცხრილი 2

ν ინდექსის მნიშვნელობები	1	2	3	4	5
x_ν ფესვები ბორნის მიხედვით ($n=5$)	0,53	2,11	4,61	8,40	14,26
x_ν ფესვები (9) ფორმულის თანახმად	0,49	1,97	4,44	7,89	12,32

მე-2 ცხრილი გვიჩვენებს, რომ უკვე $n=5$ -საც კი (9) ფორმულა დამაკმაყოფილებლად აფასებს (2) განტოლების ფესვების მნიშვნელობებს.

(9) განტოლებასაც მივყავართ თეორიისა და ექსპერიმენტის უთანხმოებასთან დიდმასიანი მეზონებისათვის.

დასკვნა

1. ბორნის თეორიული სქემა გამოყენებულია მეზონების მასებისათვის და მსუბუქი მეზონების შემთხვევაში მიღებულია ექსპერიმენტთან დამაკმაყოფილებელი თანხმობა, ე. ი. მეზონების მასებისათვის (100, 110, 150, 200, 250, 300, 350, 450 და 550).

2. დადგენილია, რომ მძიმე მეზონების შემთხვევაში თეორია არ ეთანხმება ექსპერიმენტს.

ხაქართველს სსრ მეცნიერებათა აკადემია
ფიზიკის ინსტიტუტი
თბილისი

(რედაქციას მოუვიდა 30.1.1951)

დამოწმებული ლიტერატურა

1. Г. Гордладзе. «Принцип взаимности и массы варитронов» ЖЭТФ, т. 20, в. 8, стр. 767, 1950.
2. M. Born, Nature v. 163, 1949, p. 207. «Elementary Particles and the Principle of Reciprocity».
3. H. S. Green, Nature v. 163, 1949, p. 207. «Quantized Field Theories and the Principle of Reciprocity».
4. M. Born, A. E. Rodriguez, Nature v. 163, p. 320, 1949. Meson Masses and the Principle of Reciprocity».

5. M. Born. Rev. Mod. Phys. v. 21, p. 462, 1949, „Reciprocity Theory of Elementary Particles“.
6. А. И. Алиханов, А. Вайсенберг, В. Харитонов и М. Дайон. ДАН т. LX, № 9, стр. 1515, 1948. „Спектр масс варитронов на высоте 3250 м над уровнем моря“.
7. А. Алиханян, А. Вайсенберг, М. Дайон, В. Харитонов и А. Константинов. ДАН, т. 61, № 1, стр. 39, 1948. „Варитроны в жесткой компоненте космических лучей“.
8. А. И. Алиханян, А. Д. Константинов, В. М. Харитонов и М. И. Дайон. ЖЭТФ, т. 19, в. 10, стр. 857, 1949. „О существовании легких варитронов“.
9. G. Szegő. Orthogonal polynomialis с. 127 и 233. New-York, 1939.

გეოფიზიკა

ბ. სულაძევიძე

მზრალი თოვლის ზომიერობის რადიაციული თვისება

(წარმოადგინა აკადემიის ნაშეღმა წევრმა ი. გუჟამ 19.5.1951)

თოვლის საბურვლიდან მზის რადიაციის არეკლა პირველად შესწავლილ იქნა პროფ. ნ. კალიტინის მიერ 1927 წ.; შემდეგ ამ საკითხზე მუშაობდნენ როკორც თვით კალიტინი, ისე მისი მოწაფეები [1].

ყველაზე უფრო მნიშვნელოვანი შედეგები ამ დარგში მიღებული აქვთ ნ. ჩერნიგოვსკისა და პ. კუზმინს [2, 3].

თოვლის საბურვლის არეკვლის უნარიანობა, გამოხატული დაცემული რადიაციის პროცენტებით, მეტად დიდ საზღვრებში მერყეობს თოვლის ზედაპირის მდგომარეობისა და რადიაციის ხასიათის მიხედვით, სახელდობრ, 45%-დან 97%-მდე. ერთისა და იმავე ტიპის თოვლისთვისაც კი სხვადასხვა ავტორის მონაცემები განსხვავდება 30 და მეტი პროცენტით (მშრალი თოვლი—62% კალიტინისა და 92% ჩერნიგოვსკის მონაცემების მიხედვით).

აღნიშნული განსხვავება არ შეიძლება გამოწვეულ იქნეს თოვლის საბურვლის თვისებების სხვაობით, ვინაიდან, ჩვენი დაკვირვების მიხედვით, სხვადასხვა სტრუქტურის მშრალი თოვლი (ყინულის აპკის გამონაკლისით) ერთნაირ პირობებში დაცემული რადიაციის თანასწორ ნაწილებს არეკლავს (გაზომვის სიზუსტის ფარგლებში).

ჩვენ მიერ მზის არეკლილ რადიაციაზე წარმოებულმა გამოკვლევებმა, რომლებიც სისტემატურად ტარდებოდა 1946 წლიდან სპეციალურად კონსტრუირებული აპარატურით ზღვის დონიდან 2000 მეტრის და მეტ სიმაღლეზე, გვიჩვენა, რომ მთიან რაიონებში თოვლის არეკვლითი უნარიანობა დამოკიდებულია წყალშემცველობასა და ჭუჭყიანობაზე და სანამ არ არის დადგენილი აღნიშნული პარამეტრების გაზომვის მეთოდები, არ შეიძლება ამ სიდიდეებს შორის რაოდენობრივი კავშირის დამყარება. შესაძლებელია მხოლოდ გამოვიყვანოთ ზღვრული მნიშვნელობები წყალშემცველი და გაჭუჭყიანებული თოვლის არეკვლითი უნარიანობისათვის: კლდეთა ეროზიის შედეგად მეტად გაჭუჭყიანებული თოვლისათვის 49%-დან, ნაკლებად წყალშემცველი სუფთა თოვლისათვის—75%-მდე.

ჩვენ მიერ დადგენილია, რომ მთიან რაიონებში მზის პირდაპირი რადიაციის არეკვლითი უნარიანობა მუდმივია მშრალი თოვლის სხვადასხვა ტიპისთვის (ყინულის აპკის გამოკლებით). გაბნეული რადიაციის არეკლა, ჩვენი დაკვირვებების მონაცემების მიხედვით, თუმცა არ არის დამოკიდებული მშრალი თოვლის ტიპზე, მაგრამ დამოკიდებულია მასზე დაცემული გაბნეული რადიაციის გაბნევი გარემოს სახეობაზე.

ჩვენ მიერ დადგენილია, რომ დაბალი ნისლის შემთხვევაში მშრალი თოვლის საბურველს შეუძლია არეკლოს მასზე დაცემული რადიაციის 95%-მდე. მაღალი ღრუბლებით დაფარული მზის შემთხვევაში მშრალი თოვლის არეკლის უნარიანობა 80%-მდე დადის. ამ საზღვრებში მერყეობს მშრალი თოვლის საბურველიდან გაბნეული რადიაციის არეკვლა.

მთიან რაიონებში ჩვენ მიერ 1949 წლამდე ჩატარებულმა დაწვრილებით-მა გამოკვლევებმა გვიჩვენა, რომ მშრალი თოვლის ზედაპირიდან პირდაპირი რადიაციის არეკლისას გარკვეული დამოკიდებულება არსებობს სხივის დაცემის კუთხესა და არეკლილი რადიაციის სიდიდეს შორის.

ამ დამოკიდებულების გამოსარკვევად სპეციალურად კონსტრუირებულ საცდელ ყუთზე პირველად იანიშვესკი-სულაქველიძის¹ თოვლისქვეშა პირანომეტრის საშუალებით ტარდებოდა ღაკვირვებები მშრალი თოვლის საბურველიდან მზის რადიაციის არეკვლაზე დახრის სხვადასხვა კუთხის დროს.

გაზომვების შედეგებში შეტანილ იქნა შესწორებები მზის სიმძლვეზე და გალვანომეტრის სკალაზე, თუმცა პირველი შესწორება 8—9%-ს არ აღემატებოდა, ასე რომ გაბნეულ რადიაციაზე შესწორების არ ვაძლევდით, აგრეთვე არ ვაძლევდით შესწორებას გალვანომეტრის ტემპერატურაზე, ვინაიდან ჩვენ გვიანტერესებდა დაცემული და არეკლილი რადიაციის შეფარდებითი სიდიდეები.

სულ 1949 წელს დაცემულ და არეკლილ რადიაციაზე ჩატარდა 500 დაკვირვება 0°—90°-მდე დაცემის კუთხეებისათვის (თითოეული კუთხისათვის 50 დაკვირვება).

მუშაობა ტარდებოდა მშრალ თოვლზე. თოვლის ზედაპირის მკირეოდენი დასველებაღ კი არეკლილი რადიაციის რაოდენობას 10 და მეტი პროცენტით ამცირებდა, ამიტომ თოვლის დაწყლიანების დროს იძულებული ვიყავით ცდები შეგვეწყვიტა.

1 ცხრილში მოყვანილია გაზომვის შედეგები. უნდა აღინიშნოს, რომ მშრალი თოვლისათვის არეკლითი უნარიანობა, მოცემული დაცემის კუთხისა და მოწყმენდილი ცის პირობებში, მეტად მუდმივია.

ცხრილი 1²

არეკლილი რადიაციის სიდიდე პროცენტობით დაცემულ რადიაციასთან შეფარდებით

დაცემის კუთხე	90°	80°	70°	60°	50°	40°	30°	20°	10°	0°
J ⁰ %	97,2	82,5	74,5	69,8	66,2	63	60,0	59,4	59,2	59,1

¹ აპარატურის დაპროექტებისას, აგრეთვე იმ შედეგების ანალიზის დროს, რომლებიც მოყვანილია ამ სტატიაში, დიდი დახმარება გამოიწვია ვოიგოვის სახელობის მგ-ის უფროსმა მეცნიერმა მუშაკმა დ. იანიშვესკიმ.

² ცხრილში მოყვანილი თითოეული დაცემის კუთხისათვის საშუალო აღებულია 50 დაკვირვებიდან.

სხვადასხვა ტიპის მშრალი თოვლის ზედაპირზე ერთისა და იმავე დაცემის კუთხისათვის 50 დაკვირვებიდან ზღვრული უკიდურესი სხვაობები 7% არ აღემატებოდა 90°—80° დაცემის კუთხეებისათვის, რაც გაბნეული რადიაციის ცვლილებებს უნდა მიეწეროს.

50°-ზე ნაკლები დაცემის კუთხეებისათვის ზღვრული მნიშვნელობის სხვაობა იშვიათად აღემატებოდა 4,5%-ს; ცალკე გაზომვათა სიზუსტე კი ჩვენ მიერ შეფასებული იყო 2,5%-ით.

1 ცხრილის ანალიზს შემდეგ დასკვნებამდე მივყავართ:

1) მშრალი თოვლის საბურვლიდან მზის რადიაციის უდიდესი არეკვლა ხდება 90° დაცემის კუთხის მახლობლად, როცა არეკლილი რადიაცია დაცემული რადიაციის 97,2% უდრის.

2) მშრალი თოვლის საბურვლიდან მზის რადიაციის უმცირესი არეკვლა ხდება სხივის პერპენდიკულარულად დაცემის დროს და არეკლილი რადიაცია დაცემული რადიაციის 59% უდრის.

3) მშრალი თოვლის საბურვლიდან არეკლილი მზის რადიაციის სიდიდე მცირდება დაცემის კუთხის 90°-დან 0°-მდე შემცირებისას; შემცირება მკვეთრად არის გამოხატული ინტერვალში 90°-დან 70°-მდე.

1 ცხრილში მოცემული დაკვირვების შედეგები კარგად ხსნის განსხვავებებს სხვადასხვა ავტორის მიერ მოცემულ არეკლილი რადიაციის სიდიდეებს შორის; საქმე ისაა, რომ ეს დაკვირვებები ტარდებოდა სხვადასხვა სივანედებზე და სხივების დაცემის სხვადასხვა კუთხეზე; მაგალითად, ჩერნიგოვსკის ცდებში, რომელიც არეკვლას აკვირდებოდა კუნძულ „უდინენიაზე“, მზის სხივების დაცემის კუთხე უკეთეს შემთხვევაში 80°-ს აღწევდა. ამ პირობებში ჩერნიგოვსკიმ არეკვლის სიდიდისათვის 90%-ზე მეტი მიიღო. პროფ. კალიტინი აკვირდებოდა რადიაციის არეკვლას მშრალი თოვლისაგან 10°—20° დაცემის კუთხეზე და მიიღო 60% არეკვლა. ეს სიდიდეები კარგად ეთანხმება ჩვენ მიერ მოყვანილ შედეგებს.

1 ცხრილისა და 1 გრაფიკის ანალიზს მივყავართ დასკვნამდე, რომ დამოკიდებულება მშრალი თოვლის საბურვლიდან არეკლილი რადიაციის სიდიდესა და დაცემის კუთხის α -ს შორის შეიძლება წარმოდგენილ იქნეს შემდეგი სახით:

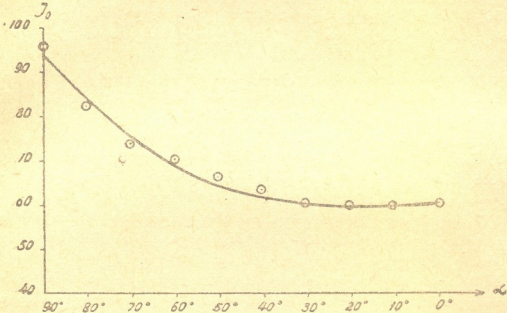
$$J_0 = A + B \cdot \cos \alpha + C \cdot \cos^2 \alpha. \quad (1)$$

აქ J_0 არეკლილი რადიაციაა, გამოხატული პროცენტობით დაცემული რადიაციის სიდიდესთან შეფარდებით, α მზის სხივის დაცემის კუთხეა A, B , და C კოეფიციენტებია, რომლებიც მიღებულია ჩვენი დაკვირვებებიდან უმცირეს კვადრატთა მეთოდით. A, B და C -ს მნიშვნელობათა (1) განტოლებაში ჩასმით მივიღებთ:

$$J_0 = 95,5 - 69,8 \cos \alpha + 33,8 \cos^2 \alpha \quad (2)$$

ამ გამოანგარიშებათა საშუალო კვადრატული ცდომილება 0,3%-ს უდრის, ე. ი. შესაჩინველ მცირეა ცალკე დაკვირვებათა სიზუსტეზე.

გრაფიკ 1-ზე მრუდები აგებულია 1 ცხრილის მონაცემების და (2) განტოლების მიხედვით. როგორც გრაფიკიდან ადვილად ვერწმუნდებით, მათ შორის თანმიხვევა სრულიად დამაკმაყოფილებელია და გაზომვითა სიზუსტის ფარგლებში მერყეობს.



⊙ *Наблюденные значения J_0*

$$J_0 = 95,5 - 69,8 \cos \alpha + 33,8 \cos^2 \alpha,$$

გრაფიკი 1. არეკლილი რადიაციის დამოკიდებულება (პროცენტებით დაცემის რადიაციასთან შედარებით) დაცემის α კუთხზე.

განტოლება (2)-დან ადვილად მიიღება მშრალი თოვლის საბურვლის ალბედო $A(\alpha)$, რომელიც მზის ზენიტური მანძილი α -ის ფუნქციაა.

$$A(\alpha) = 0,96 - 0,80 \cos \alpha + 0,34 \cos^2 \alpha \quad (2')$$

განტოლება (2')-დან, α -ით ინტეგრების გზით, შეიძლება მივიღოთ როგორც დღელამური, ისე წლიური ალბედო მშრალი თოვლის საბურვლისათვის. არეკლის პარალელურად ჩვენ მიერ შესწავლილ იქნა მზის რადიაციის განვლადობა მშრალი თოვლის $p = 0,12 - 0,15$ სიმკვრივის მქონე ფენის სისქეში.

გამოკვლევები წარმოებდა 95 სმ სიღრმემდე, 20 სმ სიღრმეზე გაზომვები წარმოებდა ყოველ 5 სმ-ის შემდეგ, ამ სიღრმის შემდეგ კი ყოველ 10 სმ-ზე.

ცხრილი 2

სიღრმე სმ-ით	0	5	10	15	20	30	40	50	40-80	90
$J_{0,07}(\alpha)$	100	35,2	13,7	4,8	3,3	2,1	1,8	1,7	1,7	1,7

გამოკვლევები წარმოებდა იანიშვესკის პირანომეტრით (1949 წლამდე) და იანიშვესკი-სულაქველიძის თოვლისქვეშა პირანომეტრით. ამ სამუშაოთა შედეგები მოყვანილია მე-2 ცხრილში.

ცხრილისა და გრაფიკის ანალიზი გვიჩვენებს, რომ განვლილი რადიაციის ინტენსივობა ეცემა სიღრმესთან ერთად ექსპონენციალური კანონით, თუმცა 30—40 სმ-დან 95 სმ სიღრმემდე რადიაციის შთანთქმა მცირეა და ამ შუალედში განვლილი რადიაცია საშუალოდ 20%-ს აღწევს¹. ამ შედეგების საფუძველზე ჩვენ მიერ წინასწარ გამოთქმული იყო აზრი იმის შესახებ, რომ თოვლის საბურველში ადგილი აქვს შერჩევით შთანთქმას. ამ საკითხის შესწავლის მიზნით 1950 წ. ჩატარებული იყო ანალოგიური გამოკვლევები ფილტრების შემწეობით, რომლებმაც გვიჩვენა, რომ შთანთქმის კოეფიციენტები (k) დამოკიდებულია ტალღის სიგრძეზე და თოვლის სიმკვრივეზე, ე. ი. $k = f(\lambda, \rho)$.

1954

ჩატარებული ექსპერიმენტები საკმაო არ აღმოჩნდა იმისათვის, რომ საჭირო სიზუსტით გამოანგარიშებული ყოფილიყო k სპექტრის სხვადასხვა უბნისათვის; ეს სამუშაოები ახლაც გრძელდება, თუმცა უკვე მიღებული შედეგებიდან შეიძლება გავაკეთოთ ზოგიერთი დასკვნა:

k დიდდება თოვლის სიმკვრივის გადიდებასთან ერთად. მზის რადიაცია, რომლის ტალღის სიგრძე 6500—6600 Å უდრის, მთლიანად შთანთქმება თოვლის პირველი 5—7 სმ სისქე ფენით; წინასწარი მონაცემებით k ამ უბნისთვის მდებარეობს 10^0 — 10^{-1} -ის ფარგლებში. რადიაცია 4700—4500 Å და უფრო ნაკლები სიგრძის ტალღით შედარებით სუსტად შთანთქმება. სპექტრის ამ უბნისათვის k დაახლოებით 10^{-2} — 10^{-3} რიგისაა.

დადგენილია, რომ თოვლის საბურველის ზედაპირიდან რადიაციის არეკვლის ინტენსივობა დამოკიდებულია აგრეთვე დაცემული რადიაციის ტალღის სიგრძეზე.

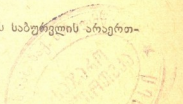
ამ გამოკვლევათა საფუძველზე მშრალ თოვლში განვლილი რადიაციის ინტენსივობა ($J(x)$) შესაძლებელია წარმოვადგინოთ შემდეგი ფორმულით:

$$J(x) = \sum_i (J_{n\lambda_i} - J_{0\lambda_i}) e^{-k\lambda_i x}, \quad (3)$$

თუ დაცემული რადიაციის სპექტრს დავანაწილებთ უზნებად λ_1 — λ_2 , λ_3 — λ_4 , ... λ_n — λ_{n+1} და თითოეული ამ უზნისთვის განვსაზღვროთ დაცემული რადიაციის ინტენსივობას $J_{n\lambda_i}$, არეკლილი რადიაციის ინტენსივობას $J_{0\lambda_i}$ და შთანთქმის კოეფიციენტს $k\lambda_i$.

სანამ ეს გამოკვლევა ჩატარებული არ არის, მშრალი თოვლის საბურველის განათებულობის განსაზღვრისათვის x სიღრმეზე თოვლის სიმკვრივისათვის $\rho = 0,12$ — $0,15$, როდესაც რადიაცია 95 სმ სიღრმეს აღწევს. მე-2 ცხრილის საფუძველზე ჩვენ ვიძლევი ფორმულას

¹ გაზომვებს ვაწარმოებდით მხოლოდ 95 სმ სიღრმემდე, თოვლის საბურველის არაერთგვარობის გამო.

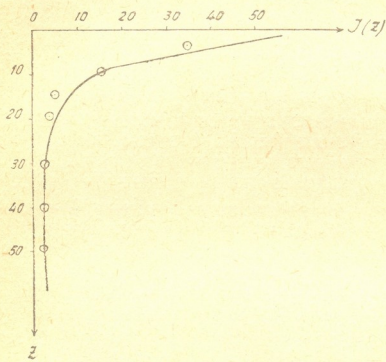


$$J(z) = [J_0 - (J_0 + \beta)] e^{-kz} + \beta, \quad (4)$$

რომელიც კარგად ეთანხმება ცდების მონაცემებს. k და β მნიშვნელობათა შეტანის შემდეგ მივიღებთ:

$$J(z) = 98,3 e^{-0,21z} + 1,7. \quad (5)$$

$J(z)$ წარმოადგენს სიღრმეში განვლილი რადიაციის ინტენსივობას, გამოხატულს დაცემული და არეკლილი რადიაციის სხვაობის პროცენტებით. კოეფიციენტები k და β გამოანგარიშებულია უმცირეს კვადრატთა მეთოდით მე-2 ცხრილის მონაცემთა მიხედვით.



გრაფიკი 2. განვლილი რადიაციის დამოკიდებულება z სიღრმეზე (პროცენტებით, დაცემისა და არეკლილი რადიაციის სხვაობის მიხედვით)

ვიანგარიშით β -ს მნიშვნელობა პროცენტებით სიდიდე J_0 -თან მარტივი გარდაქმნების შემდეგ მივიღებთ:

$$J(z) = (4,5 + 69,8 \cos \alpha - 33,8 \cdot \cos^2 \alpha) [(1 - 1,7) - e^{0,21z} + 1,7 \cdot 10^{-2}] \dots \quad (6)$$

ფორმულა (5) და (6) შეიძლება გამოვიყენოთ z სიღრმეზე განათებულიობის განსაზღვრისათვის.

საქართველოს სსრ მეცნიერებათა აკადემია
გეოფიზიკის ინსტიტუტი
თბილისი

(რედაქციას მოუვიდა 19.5.1951)

დამოწმებული ლიტერატურა

1. Н. Н. Калитин. Актинометрия. М.—Л., 1938.
2. Г. Д. Рихтер. Физико-географические свойства снежного покрова. М.—Л. 1949.
3. П. П. Кузьмин. Поглощение солнечной радиации снежным покровом. Метеорология и гидрология, № 5, 1947.

თავისუფალი წვეგრი 1,7 ახასიათებს რადიაციის იმ ნაწილის განვლადობას, რომელიც სიღრმეში არ განიცდის შესამჩნევ შთანთქმას (90 სმ-მდე). ამ რადიაციის ბუნებაზე ჩვენ ზემოთ ვილაპარაკეთ.

თუ ჩვენ $J(z)$ გვინდა გამოვსახოთ დაცემული რადიაციის პროცენტებით და მხედველობაში მივიღებთ თოვლის ზედაპირიდან არეკვლას, დაცემის კუთხე α -სთან დამოკიდებით, მაშინ განტოლება (4)-ში უნდა ჩავსვათ J_0 -ის მნიშვნელობა განტოლება (3)-დან და გამოვიანგარიშოთ β -ს მნიშვნელობა პროცენტებით სიდიდე J_0 -თან მარტივი გარდაქმნების შემდეგ მივიღებთ:

0. ჭურღლიანი

ნამის წმინტილის განსაზღვრის ფსიქრომეტრიული მეთოდი

(წარმოადგინა აკადემიის ნამდვილმა წევრმა ვ. კუბარაძემ 23.5.1951)

ქვემოთ მოგვყავს ყველა ის შედეგი, რომლებიც ჩვენ მიერ მიღებული იყო ფსიქრომეტრიული მეთოდის მოხმარებით ნამის წერტილის განსაზღვრისათვის ჰაერის ტემპერატურის ყველა იმ პირობებში, რომელთაც დედამიწის ატმოსფეროში ვხვდებით. ამ მეთოდის პრინციპები მოცემული გვქონდა [1] შრომაში. მეთოდის შემდგომი გაუმჯობესება ხდებოდა იმ მრავალრიცხოვან დაკვირვებათა საფუძველზე, რომლებიც ნაწარმოები იყო ჰაერის როგორც დადებითი, ისე უარყოფითი ტემპერატურების პირობებში; ამგვარად ჩამოყალიბდა ნამის წერტილის განსაზღვრის ის ზოგადი ფორმულა, რომლის მიღება ეთილის ალკოჰოლის (C_2H_5OH) ჰიდრატაციის თვისებათა გამოყენების საფუძველზე ხდებოდა.

1. თუ შემოვიტანთ აღნიშვნას

$$\frac{t_s + \left(\alpha + \frac{a}{\lambda + b} \right)}{t_s - \left(\alpha + \frac{a}{\lambda + b} \right)} = \xi \quad (1)$$

და მივიღებთ მხედველობაში, რომ სპირტის ფსიქრომეტრიული წარმოებულ დაკვირვებათა ყველა შემთხვევაში $\alpha + \frac{a}{\lambda + b} > 0$ ⁽¹⁾, დავინახავთ, რომ ამ უგანზომილებო სიდიდეს ξ შეუძლია მიიღოს ყველა მნიშვნელობა შუალედებში:

$$\left. \begin{aligned} -\infty &\leq \xi < 1, \\ 1 &< \xi \leq +\infty. \end{aligned} \right\} \quad (2)$$

ნამის წერტილის განსაზღვრელ ფორმულაში შემავალ K , L და M ფუნქციათა ამ სიდიდის შემწეობით გამოისახვა მოგვეცემს მათთვის ასეთ ფორმულებს:

$$\begin{aligned} \sqrt{K} &= \frac{t - t_s}{2} - \frac{\alpha + \frac{a}{\lambda + b}}{1 - \xi}, \\ M &= \frac{\xi}{1 - \xi} \left(\alpha + \frac{a}{\lambda + b} \right), \\ L &= -\frac{a}{\lambda + b} \frac{1 + \xi}{1 - \xi} \left(\alpha + \frac{a}{\lambda + b} \right), \end{aligned} \quad (3)$$

⁽¹⁾ $p=1000$ მმ-თვის $\frac{a}{\lambda + b} \approx 2/3$.

სადაც

$$\alpha = me^{at+c} \left(\sqrt[3]{\frac{p_0}{p} + n} \right) (t - t_s). \quad (4)$$

აღნიშნული ξ სიდიდის შემოტანასთან ერთად საკირო იყო განსაზღვრული ყოფილიყო ნიშანი რადიკალის წინ ნამის წერტილის ფორმულაში

$$\tau = \frac{t + t_s}{2} + M \pm \sqrt{K+L} \quad (5)$$

ჰაერის ტემპერატურის t ყველა მნიშვნელობისათვის. ამ მიზნით ჩვენ ვისარგებლეთ ჰაერის სინოტივის იზოთერმული ცვალებადობის ანალიზით, რომელიც მოცემული გვქონდა [2] შრომაში.

რადგან ამ შემთხვევაში საკირო იყო უფრო ზუსტად გვეცოდნოდა ჰაერის შეფარდებითი სინოტივე, ამიტომ გამოვიყენეთ ფორმულა⁽¹⁾

$$r = 100 \cdot e^{-\frac{a}{b} \lg_{10} \left(\frac{t-t_s}{b} \right)} (t-t_s), \quad (6)$$

რომელიც მიიღება როგორც მეორე მიახლოება [5] შრომაში მოყვანილ მოსაზრებათა მიხედვით. ჩვენ ვივარაუდეთ, რომ ჰაერის ტემპერატურას აქვს მუდმივი მნიშვნელობები: $t=40^\circ, 30^\circ, 20^\circ, 10^\circ, 0^\circ, -10^\circ, -20^\circ, -30^\circ$ და -40° და ნამის წერტილის ფსიქრომეტრიულ დაკვირვებათა საფუძველზე განსაზღვრისთვის მივიღეთ შემდეგი ფორმულები, რომლებიც ეთილის ალკოჰოლის გამოყენებითაა მიღებული:

A. როცა $t > 0$: ა) $|\xi| > 1$ $\begin{cases} -\infty \leq \xi < -1 \\ +1 < \xi \leq +\infty, \end{cases}$ გვაქვს

$$\tau = \frac{t + t_s}{2} - |M| + \sqrt{K+L}; \quad (7)$$

ბ) $-1 \leq \xi < 0$, გვაქვს

$$\tau = \frac{t + t_s}{2} - |M| - \sqrt{K+L}. \quad (8)$$

B. როცა $t \leq 0$, ორი შემთხვევა წარმოგვიდგება:

ა) $-1 \leq \xi \leq 0$, მაშინ გვაქვს

$$\tau = \frac{t + t_s}{2} - |M| - \sqrt{K+L}, \quad (9)$$

ბ) $0 < \xi < 1$, მაშინ

$$\tau = \frac{t + t_s}{2} + |M| - \sqrt{K+L}. \quad (10)$$

ნამის წერტილის რომელიმე ზემოთ აღნიშნული ფორმულით განსაზღვრის შემდეგ (t და ξ მნიშვნელობათა მიხედვით) თვით ჰაერის სინოტივის გამოთვლა

(1) აქვე უნდა აღინიშნოს, რომ ანალოგიური ფორმულა იყო მიღებული ე. გოგოლაძე-ვასა და ე. დობრიშვიანის მიერ [3] $t-t_s \leq 5^\circ$ არასასურველი შეზღუდვით და ამიტომ გამოუსადეგარია ნამის წერტილის ტემპერატურის ყველა შესაძლებელი მნიშვნელობისათვის.

არ არის ძნელი, ამისათვის ვსარგებლობთ (6) ფორმულის მიხედვით შედგენილი ცხრილით ან, უბრალოდ, პროფ. ვ. ნესის მიერ შედგენილი ნომოგრაფით [9].

2. დავახსიათოთ ახლა K , L , M ფუნქციების ის რიცხვითი მნიშვნელობანი, რომლებსაც პრაქტიკაში ვღებულობთ.

რადგან სამივე (3) ფორმულაში მნიშვნელები $t - \xi$ სხვაობას შეიცავენ და რადგან მუდამ $\xi \neq 1$, ამიტომ K ფუნქციის რიცხვითი მნიშვნელობები მუდამ $\equiv 0$, ხოლო L და M ფუნქციებს შეიძლება ჰქონდეთ ცვალებადი ნიშნები, მაგრამ ისეთი, რომ მუდამ კმაყოფილდება პირობა $K + L \equiv 0$, რომელიც აუცილებელია τ წერტილის ნამდვილ მნიშვნელობათა მისაღებად.

იზოთერმული ანალიზით მიღებულმა გამოთვლებმა გვიჩვენა, რომ, მაგალითად, ქვედა ზონისთვის $L > 0$, როცა $t > 0$, და $L < 0$, როცა $t \leq 0$. ჰაერის უარყოფითი ტემპერატურებისათვის $|K| \equiv |L|$ და ამიტომ პირობა $K + L \equiv 0$ ყოველთვის სრულდება, რაც მეტად მნიშვნელოვანია.

3. m და n მუდმივთა გამოსათვლელად, რომელთაც α სიდიდე შეიცავს, საჭიროა ჯერ მიღებული იყოს პირობა $t =$ მუდმივს და მხოლოდ ამის შემდეგ, იზოთერმული ანალიზის გამოყენებით, ტემპერატურის ყველა შესაძლებელი პირობის ვათვალისწინებით გამოთვლილი იყოს მუდმივები a , b , c ხმარებული სითხისათვის. ეს სიდიდეები ჰაერის ქვედა ფენისათვის ($p = 1000$ მმ) ეთილის ალკოჰოლის შემთხვევისათვის წინასწარი გამოთვლებით არის⁽¹⁾

$$a = 2,75, \quad b = 110 \text{ და } c = 159,6.$$

როგორც ცნობილია, ჩვენს თეორიაში α არის საშუალო მნიშვნელობა $y = t - \tau$ ფუნქციისა $t =$ მუდმივისათვის და რადგან ეს სიდიდე ჰაერის მოცემული t ტემპერატურის დროს წყლის ორთქლის უზშირეს შეცულობას შეესაბამება, ამიტომ მას ტემპერატურის განზომილება აქვს და p სხვადასხვა მნიშვნელობისათვის უმცირესი კვადრატების მეთოდით გამოითვლება.

თუ ავიღებთ p წნევითა შემდეგ მნიშვნელობებს 1000, 900, ..., 500 მმ, შეგვიძლია შევადგინოთ ცხრილები $t =$ მუდმ. პირობისათვის და უკვე ამის შემდეგ,

$$k_t = \exp \left\{ \frac{at + b}{t + c} \right\} \text{ მამრავლის შემოტანით, მივიღებთ } \alpha \text{ მნიშვნელობებს}$$

(4) ფორმულის მიხედვით.

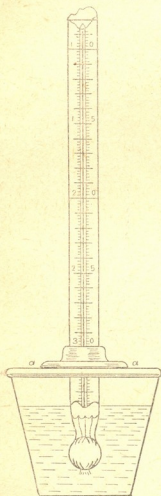
4. ამ ფორმულების საფუძველზე, როგორც [1] შრომაში გვქონდა აღნიშნული, შეიძლება შედგენილ იქნეს ე. წ. ზონალური ფსიქრომეტრიული ცხრილები, ე. ი. ისეთი ცხრილები, რომლებიც შედგენილი იქნება p წნევის მნიშვნელობათა მიხედვით. ამგვარი ცხრილები ცდის სახით გამოცემული გვქონდა 1949 წელს ხელნაწერის უფლებით [4]. ამ ცდამ გვიჩვენა, რომ მეტეოროლოგიურ სადგურთა სამუშაო ცხრილებით უზრუნველსაყოფად საჭიროა დაცულ იქნეს დღემდე არსებული ცხრილების ფორმა [7] და შეტანილ იქნეს მათში ასეთი ცვლილებები:

(1) ამ სიდიდეთა საბოლოო მნიშვნელობები სიმაღლის ყველა საჭირო ზონისათვის მოცემული იქნება ცალკე შრომაში.

ა) გადამუშავდეს ცხრილების ნაწილი ($t < -5^\circ$) ეთილის ალკოჰოლის გამოსაყენებლად ზამთრის პირობებში;

ბ) ძველ ცხრილებში არსებულ e , r , d სიდიდეთა მაგიერ შეტანილ იქნეს ახალ ცხრილებში e , r , π სიდიდეები, მხოლოდ e მოცემული იყოს გრ/მ³-ში, ე. ი. ისე, როგორც ამას მოითხოვს აბსოლუტური სინოტივის ქეშმარიტი განმარტება. d -ს შეცვლა კი π სიდიდით იმით არის გამოწვეული, რომ უქანას-კნელს უფრო დიდი მნიშვნელობა მიენიჭა ამინდის სამსახურში.

5. სპირტის პროცენტულობის შენარჩუნების მიზნით სპირტიანი ქიქა თერმომეტრის ბოლოში დამაგრებულ რგოლზე გერმეტიულად არის მიხრახნილი (a — a ხაზის გასწვრივ, იხ. სურ. 1).



სურ. 1

(7) — (10) ფორმულების გამოყენება ნამის წერტილის განსაზღვრისათვის საგრძნობლად აუმჯობესებს გაზომვათა შედეგებს, განსაკუთრებით ზამთრის პირობებში. ეს გაუმჯობესება ნათელი ხდება, თუ მივმართავთ იზოთერმული ანალიზის მეთოდს ($t = t_{\text{მუდმ.}}$).

მ. ჰოლცმანის [8] სამართლიან დასკვნას იმის შესახებ, რომ „ნამის წერტილის მეთოდს მისი თანამედროვე სახით შეუძლია მოგვცეს საცხებით საიმედო განაზომები თავისუფალი ატმოსფეროს ტემპერატურის ყველა პირობებში“, შეგვიძლია დავუმატოთ მხოლოდ ის, რომ ეთილის ალკოჰოლის გამოყენებით ეს უფრო ადვილად მისაღწევი ხდება, თუ ხელთ გვექნება სპირტის ფსიქრომეტრის ცხრილები.

დადებითი და უარყოფითი ტემპერატურების პარალელური გრაფიკების აგება გვიჩვენებს, რომ შედეგები, მიღებული (7) — (10) ფორმულების გამოყენებით, ცოტაოდენ განსხვავდება იმ მონაცემებისაგან, რომლებიც ავგუსტის ფორმულით მიიღება; უდიდესი განსხვავებები მათ შორის აღინიშნება ჰაერის შემცირებული სინოტივისა და დაბალი უარყოფითი ტემპერატურის პირობებში. ეს განსხვავებები აიხსნება ავგუსტის ფორმულით გამოთვლილი ფსიქრომეტრიული მეთოდის იმ ნაკლით, რომელიც აღნიშნული გვექონდა [2] შრომაში.

დასკვნები

1) ავგუსტის ტიპის ფორმულის მსგავსი ფსიქრომეტრიული ფორმულით სარგებლობა იძლევა პროგრესულად ზრდად ცდომილებას ჰაერის ტემპერატურის 0°-ზე დაბლა დაცემასთან ერთად.

ეს დებულება, წამოყენებული სხვადასხვა ავტორის მიერ (ტიხომიროვი, რობინი, კირიუხინი და სხვ.), ჩვენ მიერ დაზუსტებულია ჰაერის სინოტივის იზოთერმული ანალიზის შემწეობით [2]. ამავე დასკვნას ვღებულობთ ახალი ფსიქრომეტრიული მეთოდიდანაც [6].

2) რადგან ზამთრის პირობებში გვიხდება ბეწვის პიგრომეტრით სარგებლობა, რომლის ჩვენებები კორელაციის გზით უკავშირდება ფსიქრომეტრის ჩვენებას წლის თბილ დროში, ამიტომ ზემოთ აღნიშნული ნაკლი მექანიკურად გადაიტანება ზამთრის პერიოდზე, ამის გამო ცდომილების სიდიდეს პიგრომეტრის დამაკმაყოფილებელი მუშაობის დროსაც კი სკალაზე გადაყვანის შემდეგ შეუძლია 20%/მდე მიაღწიოს.

3) შეფარდებითი სინოტივის ძალზე დაბალი სინოტივეები მთებში და თავისუფალ ატმოსფეროში არის შედეგი ზემოხსენებული მიზეზისა [5].

4) წყლის ორთქლის შეცულობის ფსიქრომეტრიული მეთოდით გამოთვლა აღნიშნული (7) — (10) ფორმულების გამოყენების გზით გვათავისუფლებს ამ ნაკლოვანებისაგან და ამასთან ერთად ზამთრის პირობებში ($t < 0$) სინოტივის განსახლება ისეთივე ადვილი ხდება, როგორც წლის თბილ დროს ($t > 0$).

5) ფორმულები (7) — (10) გამოსადეგია წყლით სარგებლობის შემთხვევაშიც; ამისათვის საჭიროა მხოლოდ a, b, c მუდმივების სათანადო მნიშვნელობათა მონახვა, რომლებიც [4] ფორმულაში შედის.

სტალინის სახელობის
თბილისის სახელმწიფო უნივერსიტეტი

(რედაქციას მოუვიდა 24.5.1951)

დამოწმებული ლიტერატურა

1. ი. ქუ რ დ ი ა ნ ი. სპირტის ფსიქრომეტრის თეორია. საქ. მეცნიერებათა აკადემიის „მომამბე“, ტ. IX, № 2, 1948.
2. ი. ქუ რ დ ი ა ნ ი. ავგუსტის ფორმულით ჰაერის სინოტივის განსახლების ცდომილებათა შესახებ. საქ. მეცნიერებათა აკადემიის „მომამბე“, ტ. IX, № 9—10, 1948.
3. Е. И. Гоголева и Е. М. Добрышман. Связь относительной влажности с разностью между температурой и точкой росы. Метеорология и гидрология, № 4, 1950.
4. И. Г. Курдиани. Спиртовые психрометрические таблицы. Тбилиси, 1949.
5. И. Г. Курдиани. О возможных минимумах относительной влажности воздуха. Известия Всесоюзного Географического общества АН СССР, № 6, 1950.
6. И. Г. Курдиани. Новый психрометрический метод определения влажности воздуха для всех температурных условий земной атмосферы. Автореферат, Тбилиси, 1951.
7. Психрометрические таблицы. Л.—М., 1947.
8. М. И. Гольцман. Основы методики аэрофизических измерений. М.—Л., 1950.
9. W. N e s s. Eine Netztafel für die Beziehung zwischen Temperatur, relativer Feuchte und Taupunkt. Meteorologische Rundschau. H. 11/12, 1950, Berlin.

გეოგრაფია

6. ასტრონომია

გომარეთის ზეგნის ქვაბურის რელიეფის განვითარების ისტორია

(წარმოადგინა აკადემიის ნამდვილმა წევრმა ა. ჯავახიშვილმა 3.5.1951)

აქ მოყვანილი ცნობები ძირითადად შეიცავს დასკვნებს მდ. ხრამის მარჯვენა ნაპირის ნაწილის რელიეფის განვითარების ისტორიის შესახებ. იმის გამო, რომ ასაწერი რაიონის ფარგლებში იგეგმება მძლავრი ჰიდროსადგურის ნაგებობათა მშენებლობა, დასმულ საკითხს პრაქტიკული ინტერესი აქვს. ძველი ტბის არსებობის საკითხს გომარეთის ზეგნის ქვაბურში, ტბიური ნალექების ხასიათს, მათ განლაგებას სიღრმეში, გარეცხის ხარისხს, ქვაბურის ცოკოლის გეოლოგიურ აგებულებას და ა. შ. გადამწყვეტი მნიშვნელობა აქვს პროექტირების დროს. რთული და საპასუხისმგებლო საინჟინრო სამუშაოების ბრწყინვალედ ჩატარებისათვის აუცილებელია ტერიტორიის ტექტონიკური აგებულების დეტალური გაცნობა. ნათელი უნდა იყოს რელიეფის ჩამოყალიბებისა და მისი ცვალებადობის სურათი. საჭიროა აღდგენა, თუნდაც საერთო ხაზებში, ამჟამად უკვე არარსებული ტბის რეჟიმისა, ტბის, რომელიც ოდესღაც ავსებდა გომარეთის ზეგნის ქვაბურს. საკითხის გადაჭრისათვის მეტად მნიშვნელოვანია, როგორი მიმართულება უნდა იქნეს აღებული და რა სიღრმეზეა შესაძლებელი წყალგამდენი არხის გაჭრა.

სტატიის მოცულობა საშუალებას არ იძლევა ტერიტორიის გეოლოგიური აგებულების შესწავლის პროცესში შეკრებილი ფაქტობრივი მასალა დაწვრილებით გადმოვცეთ, აქ შესაძლებლობის ფარგლებში მოყვანილი იქნება აუცილებელი ფაქტები გომარეთის ზეგნის ქვაბურის რელიეფის შესახებ გამოთქმული ზოგიერთი მოსაზრების დასადასტურებლად.

გომარეთის ზეგნის ქვაბურის გეოლოგიური აგებულება შემდეგნაირად გვესახება. მის ჩრდილო განაპირა ქვედაიურის ვულკანოგენური ნალექების კომპლექსს, ზედა ცარცის წარმონაქმნებსა და ხრამის კრისტალურ მასივს შორის [3] ტექტონიკური კონტაქტის ზოლთან გასდევს კიდური შეცოცება. შეცოცების ზონა მორფოლოგიურად მკვეთრად გამოირჩევა ქვაბურის სხვა ნაწილებისაგან. გრანიტული ქედის შეხების ადგილზე (ბედენის ქედის განშტოება) მერიდიონალურად, გაწვდილი, ხრამებით სუსტად დანაწევრებული ბორცვები აზიდულია 100—150 მ სიმაღლეზე სამხრეთით მდებარე ფართო ვაკე ზეგნისაგან. ეს ბორცვები შედგება კირქვებისგან, რომელშიაც მორიგეობენ ტუფობრექჩიები, ტუფიტები, მერგალები, ქარსიანი ქვიშაქვები და ფიქლები [4]. ბედენის ქედის გრანიტული განშტოება აღმართულია 300—340 მ მაღლა ბორცვოვან ადგილებზე და გამოიყოფა მისგან ქვაბურის ჩრდი-

ლოეთის მხრიდან მკვეთრად გამოსახული ტექტონიკური საფეხურით. კირქვიანი ბორცვების სამხრეთ კალთებზე გაშენებულია დიდი და მცირე გომარეთის სოფლები, ხოლო ჩრდილო-აღმოსავლეთით მამულასსოფელი. დასავლეთით, სოფელ ქეივანულჰასანის, ველისპირისა და სარკინეთის რაიონში ქვაბურიდან აღმართულია რელიეფში მკვეთრად გამოსახული 50—120 მ შედარებით სიმაღლის მქონე საფეხური, რომელიც დახრილად გადადის ჯავახეთის აღმოსავლეთ განტოტებაზე. ეს საფეხური წარმოადგენს ლაური ნაკადების დაბოლოებას. საფეხურსა და ვაკეს შორის ვიწრო ზოლის სახით გასდევს სივანედის მიმართულების მქონე დაბალი ხრამებით სუსტად დანაწევრებული ბორცვები, აგებული კირქვებისაგან, რომლებშიც მორიგეობენ ტუფობრექჩიები.

ქვაბურის ცოკოლი, დიდ სიღრმეზე გაშიშვლებული მდ. ყარაბულახის კანიონით სამხრეთით და ხრამის ხეობით აღმოსავლეთით, როგორც ზემოთ აღენიშნეთ, შედგება ზედა ცარცის ნაოჭა წყებისგან, რომელშიც ჭარბობს ვულკანოგენურ-ნამსხვრევი ფაცია. კარბონატული ქანები გვხვდება ტუფობრექჩიებში საკმაოდ მძლავრი შუაშრეების სახით. ეს წყება წარმოქმნის რიგ ანტიკლინურ და სინკლინურ ნაოჭებს, რომელთა ღერძებს აქვს სივანედის მიმართულება შეცოცების პარალელურად. ვადარეცხილი ნაოჭების თავზე განლაგებულია სხვადასხვა სიმძლავრის ტბიური ნალექების წყება. ეს უკანასკნელი დაფარულია ანდეზიტ-ბაზალტებისა და დოლერიტების ნაკადებით. აღმოსავლეთისა და სამხრეთის მხრიდან ლაური ნაკადები ჩაჭრილია ვერტიკალური სიბრტყის მიხედვით მდ. ხრამისა და ყარაბულახის კანიონების მიერ და წარმოქმნიან გომარეთის ვაკე ზეგნის ფართო ზედაპირს. მასზე განლაგებულია სხვადასხვა სიმძლავრის ტბისა და ტბიური ალუვიური წარმონაქმნები, დასერილი მცირე სიღრმის ხრამებით, რომლებიც ახდენენ გომარეთის სუსტად დახრილი ვაკის დრენაჟს.

გომარეთის ზეგნის ქვაბურის რელიეფის ჩამოყალიბების ისტორია იწყება პლიოცენში, როდესაც აზვევულ და ძველ კრისტალურ მასივზე შეცოცებულ ზედა ცარცის სუბსტრატის ჯავახეთის ქედის (სველურ მთები) ვულკანური თხემი ანთხვდა ანდეზიტურ-დაციტურ ან ანდეზიტურ-ბაზალტურ ლავებს. იმდროინდელი რელიეფი ჩვენ შემდგენიარად წარმოგვიდგება: თანამედროვე გომარეთის ვაკის ცენტრალურ ნაწილს აღმოსავლეთით გასდევდა სივანედის მიმართულების ბორცვები, რომელთა ნაშთები ახლაც არსებობს ს. სარკინეთისა და ს. გომარეთის სამხრეთით. ერთი მათგანი კირქვიანი მოსწორებული თხემებით ს. ველისპირიდან სივანედის მიმართულებით ვრცელდება და იძირება გომარეთის ვაკის ტბიური ნალექების ქვეშ ს. სარკინეთის მერიდიანზე. კირქვების შთენილების მეორე წყება ს. დიდი გომარეთის მერიდიანზე წარმოქმნის მცირე სიმაღლის მოსწორებულ ქვაკაცის ბორცვებს. ამ ბორცვებს მონოკლინური აგებულება აქვთ და წარმოადგენენ სინკლინური ნაოჭის სამხრეთ ფრთას, რომლის ღერძიც ჩრდილოეთით გადადის. ამ სინკლინის ჩრდილო ფრთა ეკვრის შეცოცების ზონას და რელიეფში გამოსახულია მონოკლინური ბორცვების სახით, რომლებიც ვრცელდებიან ს. სარკინეთიდან ს. მა-

შულასსოფლამდე. ბორცვების ეს ორი მწკრივი წარმოადგენს ძველი მდინარის კალთებს, რომელიც ჩამოედინებოდა ჩრდილო-აღმოსავლეთიდან სამხრეთ-დასავლეთის მიმართულებით. როგორც ჩანს, მდინარე ღრმად იყო ჩაჭრილი. ხეობის ნაპირები ქარაფოვანი იყო.

ამ ძველი მდინარის ხეობაში წარმოიქმნა პატარა, მაგრამ საკმარისად ღრმა გამდინარე ტბების ჯაჭვი. მათში ილექებოდა ჩრდილო და სამხრეთ კალთებიდან ჩამოტანილი დამუშავებელი მასალა. გომარეთის ქვაბურის სამხრეთ ნაწილში, ტუფობრქიებისა და კირქვების გადარეცხილ და მოსწორებულ სუბსტრატზე წარმოიქმნა ტბა, საკმაოდ უფრო დიდი, ვიდრე ჩრდილო ჯგუფის ტბები. მსჯელობა იმის შესახებ, თუ რამ შეუწყო ხელი ტბების შეგუბებას აღმოსავლეთით, ძნელია, ვინაიდან ამ ადგილებში ამჟამად ვეაქვს მდ. ხრამისა და ყარაბულახის ქვემო დინების ფართო და ღრმა ხეობები. სამხრეთის ტბის სიღრმეზე შეიძლება მსჯელობა მხოლოდ აქ გავიშვლებული ტბიური ნალექების სიმძლავრის მიხედვით წყალგამყოფთა კარნიზებზე მდ. ხრამისა და ყარაბულახის შერთვის ადგილზე. აქ მათი სისქე 130 მ აღემატება. ისინი წარმოდგენილი არიან სუსტად დამუშავებული ღორღი მასალებისგან, რომელშიაც ქარბობს კარბონატული თიხნარები მცირემარცვლოვანი ვულკანური ქვიშის შუაშრეებით. როგორც ჩანს, ამ ღროს ხდებოდა ირგვლივ მდებარე კირქვიანი ქედების გადარეცხვა, ხოლო დასავლეთით გოდერძის წყების ვულკანური ქანები [5] იძლეოდა ღორღ მასალას ტბიურ აუზებში. ამ ნალექებში ფაუნა არ შეგვხვედრია. შესაძლებელია, რომ ს. პატარა გომარეთის მერიდიანზე ორივე ტბიური ნალექი გაყოფილი იყო დაბალი ზღურბლით (ველისციხისა და ქვაკაცის ბორცვებს შორის), ხოლო აღმოსავლეთით ერთდებოდა პატარა სრუტით.

ნალექები სხვა ხასიათს ატარებს ქვაბურის ჩრდილო ნაწილში. იქ ქარბობს თიხები და თიხნარი მასალა, კარბონატების შენარეგების მცირე პროცენტული შედგენილობითა და საკმაოდ მსხვილ მარცვლოვანი კვარცისა და მინდვრისშპატებიანი ქვიშებით, რაც მიუთითებს ჩრდილოეთით ამაღლებული გრანიტული მასივის გადარეცხვაზე, ისე როგორც სამხრეთით მცირე ზომის შუაშრეების სახით გვხვდება ვულკანური ქვიშა. ტბიური ნალექების სისქე ზღურბლის ჩრდილოეთით საგრძობლად მცირდება—25—40 მ, სამხრეთის ტბის ნალექების მაქსიმალური სისქე 200 მ აღნიშნულია ს. მამულასსოფლის მერიდიანზე. ჩრდილო-აღმოსავლეთით 1 კმ დაშორებით ტბიური ნალექები დაფარულია დოლერიტული ნაკადებით. ტბის სამხრეთ ნაპირს წარმოადგენდა მდ. ხრამის თანამედროვე სისტემასა და მამავერას შორის მოქცეული წყალგამყოფების განშტოებანი. ჩრდილოეთით — ზემოთ აღწერილი კირქვიანი სერები, დასავლეთით — ჯავახეთის ვულკანური ქედის განშტოება და, დასასრულ, აღმოსავლეთით — ბედენის ქედის ტოტი.

აღზავილურის წინა ფაზაში დასავლეთით, ჯავახეთის ქედის რაიონში, ადგილი აქვს ვულკანური მოქმედების აქტივიზაციას. ანდეზიტ-ბაზალტებისა და ანდეზიტური ლავების ღვარები დიდი სიმძლავრით ეშვებიან დასავლეთის მხრიდან და ავსებენ გომარეთის ტბიურ ქვაბურს. ამის შემდეგ კვლავ დადგა ვულკანური

მოქმედების ერთგვარი მიწყნარების პერიოდი და ამონთხეული ღვარების სწორ ზედაპირზე ხელახლა ჩამოყალიბდა მცირე ზომის ტბები. მათი სიღრმე გაცილებით უფრო მცირეა, ვიდრე აღწერილი ტბებისა. ეს ტბიური წარმონაქმნები კარგად მოჩანს გომარეთის პლატოს აღმოსავლეთ ფლატეში, მათი სისქე 3—6 მ აღწევს. ზოგიერთ ადგილებში ისინი გამოვლინებულია ქვაბურ-ლილის მიერ და მათი სისქე იქაც მცირეა, რითაც დასტურდება ჩვენი შეხედულება აღჩავილურისშემდგომ ანდეზიტ-ბაზალტების ზედაპირზე შედარებით მცირე, ლოკალური ტბიური წყალსაცავების არსებობის შესახებ.

ბაქაურისწინა ფაზაში ახლდება ვულკანური მოქმედება (პ. გამყრელიძის მონაცემების მიხედვით). იწყება დოლერიტული ლავების ამონთხევა. ამონთხევის ცენტრი, როგორც ჩანს, არსებობდა სადღაც, მდ. ხრამის განშტოების ჩრდილოეთით, ბედენის ქედის თხემურ ნაწილში. დოლერიტული ღვარების სისქე გომარეთის ქვაბურში გაცილებით მცირეა, ვიდრე ბედენის ქედზე. ლავები მიედინებოდა სამხრეთის მიმართულებით. დოლერიტული ნაკადები ავსებდა იმდროინდელ ტბას, რომელიც, ნალექების ხასიათის მიხედვით, მარჩბი იყო. ამ ნაკადების ნაშთებს ამჟამად ვხვდებით ს. კაკლიანის რაიონში, გომარეთის პლატოს აღმოსავლეთ და სამხრეთ-აღმოსავლეთ ნაპირებზე. დოლერიტული ლავების ამონთხევის შემდეგ პლიოცენისა და პლეისტოცენის საზღვარზე ხდება ამ ნაწილის ახევება; რამაც გამოიწვია გაძლიერებული ეროზია. შესაძლებელია, რომ ამ დროს ეკუთვნის ხრამის ხეობის წარმოქმნის დასაწყისი, როგორც ჩანს, ძველ ხრამს ამ ადგილებში ჰქონდა ახლანდელთან ახლოს მდგომი მიმართულება. პლეისტოცენის დასაწყისიდან დღემდე გამოუმუშავდა ხუთას მეტრზე მეტი სიღრმის ხეობა, შეკრილი დოლერიტებისა და ანდეზიტ ბაზალტების მძლავრ ჯავშანში, ტბიურ ნალექებში და, დასასრულ, ტუფობრექჩიებსა და ზედაცარცის კირქვებში, ხოლო ჩრდილოეთით ხრამის კრისტალურ მასივში თანდათანობით ჩაჭრილი ხეობა.

ჩვენთვის ცხადია, რომ მდ. ხრამისა და ყარაბულახის ხეობები, რომლებმაც გაკვეთეს ძალზე მავარი დოლერიტული და ანდეზიტ-ბაზალტური ლავების წყება, ეროზიისადმი ადვილად დამორჩილებული ტუფობრექჩიები კირქვის შუაშრებით, ხოლო ჩრდილოეთით ხრამის მასივის გრანიტები (გრანიტებში ჩაჭრის სიღრმე 500 მ აღწევს) არ შეიძლებოდა ჩამოყალიბებულყო ზედამეთხეულის დროში. აქედან გამომდინარეობს, რომ დოლერიტების ასაკი გომარეთის პლატოს ქვაბურში ქვედაპლიოცენური უნდა იყოს, ხოლო ანდეზიტ-ბაზალტებისა შესაძლებელია იყოს პლიოცენური [2].

ქვაბურის სამხრეთ პერიფერიაზე ტბა გაქრა მას შემდეგ, რაც მდ. ხრამმა მოახდინა მისი აღმოსავლეთ ნაწილის დრენაჟი. როგორც ჩანს, გომარეთის ქვაბურის ჩრდილო ნაწილში ტბები არსებობდა მთელი პლეისტოცენის მანძილზე მცირე, დაქაობებული, დახურული წყალსაცავების სახით. ამ ტბების ნაშთები არსებობდა პოლოცენშიც სარკინეთისა და ქვაკაცის ბორცვებს შორის და სოფ. ველისარხისა და ქეივან-ბულჰასანის სამხრეთ-აღმოსავლეთით. ამჟამად ს. ველისპირის სამხრეთ-აღმოსავლეთით საკმაოდ დიდ ფართობზე არსებობს დაქაობებული უბნები.

ტბიური ნალექების სისქე მცირეა (5—6 მ.). ალაგ-ალაგ მათ ქვეშ ცალკეული კუნძულების სახით გამოდის ძირითადი დოლერიტები. ქაობი იკვებება ს. ველისპირის დასავლეთით არსებული ფშებით. ადვილი შესაძლებელია, რომ დოლერიტების ამონახვევის შემდეგ მათ ზედაპირზედაც წარმოიქმნა პატარა ტბები, როგორც ეს გვაქვს წალკის პლატოს განაპირა ნაწილში, მდ. ჯუჯიანის ხეობისა და ს. სარკინეთის მიდამოების ბორცვოვან რაიონს შორის. მათ შორის ყველაზე დიდი და ღრმა ტბა იყო გომარეთის ქვაბურის სამხრეთ ნაწილში, რომლის გადენაც შემდეგ მოხდა ყარაბულახისკანიონში. დოლერიტებზე განლაგებული ტბიური ნალექები 15—20 მ აღწევს და შედგება მსხვილმარცვლოვანი საშუალოდ დამრგვალებული არკოზიული ქვიშებისაგან, რომელნიც მორიგეობენ სუსტად კარბონატულ ტბიურ თიხნარებსა და უფრო მცირემარცვლოვან ვულკანურ ქვიშებთან.

ეს ტბა, როგორც ჩანს, არსებობდა პოლოცენის დასასრულამდე. ტბიური ნალექების მშენიერი გაშიშვლებები პლატოზე მოჩანს მისი კიდიდან 2 კმ დაცილებით დანგრეული სოფლის მახლობლად, პატარა ხრამის ვასწვრივ.

ტბიური რეჟიმი საერთოდ დამახასიათებელია სამხრეთ-საქართველოს ვულკანური მთიანეთის ფართო წყალგამყოფი პლატოებისათვის. თანამედროვე ფარავნის ტბა, სალამო, ხანჩალი, მადა-თაფა და სხვები გაქრობის სტადიაში იმყოფებიან. ასევე ხდებოდა წარმოქმნა და ამოშრობა სხვა კონტურებში ძველი მეოთხეულისა და პლიოცენური ტბებისა.

საქართველოს სსრ მეცნიერებათა აკადემია
ვახუშტის სახელობის გეოგრაფიის ინსტიტუტი
თბილისი

(რედაქციას მოუვიდა 7.5.1951)

დამოწმებული ლიტერატურა

1. А. И. Джавахишвили. Геоморфологические районы Грузинской ССР. Москва, 1947.
2. Г. М. Зариязе и Н. Ф. Татришвили. О возрасте Цалкинского лавового комплекса. ДАН СССР, № 1, 1948.
3. Т. Г. Кавახашвили. Геолого-петрографический очерк Храмского кристаллического массива. Матер. по петрографии Грузинской ССР, вып. V, 1941.
4. И. Р. Кахалва. Грузия в юрское время. Тбилиси, 1947.
5. Н. И. Схиртлаძე. Некоторые новые данные о литологии Годердзской свиты. ДАН СССР, т. XXI, № 4, 1950.
6. Л. И. Маруашвили. Зургацетская палеолитическая стаянка в Южной Грузии и ее геологическое значение. Природа, № 12, 1946.

პალეონტოლოგია

მ. პარსთავი და ი. ხაჩინაშვილი

საპარტოვლოს ქვედაცარცული ბელემნიტების სტრატობრაფიული
გამრცველების შესახებ

(წარმოადგინა აკადემიის ნაშვილმა წევრმა ა. ჯანელიძემ 28.2.1951)

ბელემნიტების მნიშვნელობას აფხაზეთის ქვედაცარცულის სტრატობრაფიისათვის პირველად მ. შვეცოვმა მიაქცია ყურადღება [7]. მართლაც, აფხაზეთისა და აგრეთვე საქართველოს სხვა რაიონების ქვედაცარცულ ნალექებში ხშირად ბელემნიტების გარდა სხვა ნამარხი არ მოიპოვება. ზოგჯერ კი ამონიტებისა და ორსაგდულიანების დაცულობა იმდენად ცუდია, რომ მათი ზუსტი განსაზღვრა შეუძლებელია, მაშინ როდესაც ბელემნიტების დაცულობა მეტწილად საესებით დამაკმაყოფილებელია და მათი განსაზღვრა სახემდე ექვიმუტანლად შეიძლება. ბელემნიტები შესაძლებლობას იძლევა გამოყოფილ იქნეს სართულები და სტრატობრაფიული ჰორიზონტები და, მართლაც, მ. შვეცოვმა ამ მიზნით გამოიყენა ბელემნიტები გაგრის რაიონისათვის [1].

ბელემნიტების გამოყენება საქართველოს ქვედაცარცული ნალექების დაყოფისათვის გაძნელებული იყო საქართველოსათვის ამ ჯგუფის წარმომადგენლების სუსტი შესწავლისა და ბევრი მათგანის ზუსტი სტრატობრაფიული ვაერცელების გამოურკვევლობის გამო. საჭიროა აღინიშნოს, რომ საქართველოს ბელემნიტებში გარდა დასავლეთეეობული სახეებისა საქამოდ მრავლადაა ადგილობრივი [1, 2]; აგრეთვე ჩრდილოკავკასიური ფორმები, რომელთა სტრატობრაფიული ვაერცელება არ შეიძლებოდა საესებით ვარკვეულად მიჩნეულიყო.

მრავალი წლის მანძილზე ჩვენ შექმელით შეგვეგროვებინა საქამოდ მრავალრიცხოვანი კოლექციები საქართველოს სხვადასხვა კუთხებიდან. ჩვენვე გადმოგვეცა დასამუშავებლად საქართველოს სსრ მეცნიერებათა აკადემიის გეოლოგიისა და მინერალოგიის ინსტიტუტის, გეოლოგიური სამმართველოს და საქართველოს სხვა გეოლოგიურ დაწესებულებათა თანამშრომლების მიერ დაგროვილი მასალაც.

ჩვენ მიერ დამუშავებული ფაუნის უმეტესი ნაწილი განსაზღვრულია ი. ხაჩინაშვილის მიერ.

ჩვენ მიერ განსაზღვრული ბელემნიტების უმეტესობა შესაძლებელია დაკავშირებულ იქნეს საქართველოს ქვედაცარცული ნალექების დადგენილ ზონებთან [3].

ჩვენ მიერ განსაზღვრულია შემდეგი ფორმები:

Hibolites prodrums Schw.—გაგრა, ჰოტრიველის ქვედა ნაწილი.

Hibolites longior Schw.—რაჭა (საქუდელი, რიცეულა); გაგრა, ჰოტრიველი.

✓ *Hibolites Inae* Er. (en. litt.) (= *Hibolites* sp. [1], გვ. 49, ტაბ. 111, სურ. 6) გაგრა, ჰოტრიველი.

✓ *Hibolites subfusiformis* Rasp.—რაჭა (ხიდისკარი, რიცველა) გაგრა, ჰოტრიველი—ქვედა ბარემული.

✓ *Hibolites subfusiformis* Rasp. v. *inflata* (Schw.) (= *H. jaculiformis* Schw. v. *inflata* Schw.)—გაგრა, ქვედა ბარემული.

Hibolites yaculum Phil.—რაჭა (რიცველა, საკუდელი, შქმერი, კვაცხუთი) ჰოტრიველ-ბარემული. გაგრა, ჰოტრიველ-ბარემული, ქუთაისი და წყალტუბო, ქვედა აპტური.

Hibolites horeschaensis Rouch.—რაჭა (შქმერი, ნიკორწმინდა), ლორეშა, სურამის მიდამოები, ქვედა აპტური.

Mesohibolites minaret Rasp.—რაჭა (ზემო ბარი), ბარემული.

✓ *Mesohibolites Fallauxi* Uhl.—ბზიბი, ზედა ბარემული, რაჭა (ხიდისკარი, შქმერი), ქვედა აპტური.

✓ *Mesohibolites beskidensis* Uhl.—გაგრა, კვეზანი, წყალტუბო, ზედა ბარემული—ქვედა აპტური; ცხანარი, ზედა ბარემული.

✓ *Mesohibolites Uhligi* Schw. (= *Mes. uhligi* par. (1), გვ. 55, ტაბ. 10, სურ. 6 d g, არა სურ. 6 a—c, h) გაგრა, კვეზანი, ზედა ბარემული—ქვ. აპტი; ნიკორწმინდა, ბარემი.

✓ *Mesohibolites* aff. *Uhligi* Schw.—გაგრა, ქვედა და ზედა ბარემული.

Mesohibolites cf. *carpathicus* Uhl.—ცხანარი, ზედა ბარემული.

Mesohibolites schaoriensis Hetch. (in litt.)—კონუსური ფორმა საკმაოდ ღრმა ალვეოლით და მუკროსებური დაბოლოებით). ნიკორწმინდა, ზედა ბარემული.

Mesohibolites gagricus Schw.—ნიკორწმინდა, ზედა ბარემული.

Mesohibolites Renngartenni Krim.—შქმერი, ზედა ბარემული, ნიკორწმინდა და ქუთაისი, ქვედა აპტური.

Mesohibolites aff. *ellagans* Schw.—ქუთაისი, ქვედა აპტური.

Mesohibolites longus Schw.—წყალტუბო, ქვედა აპტური, შვეცოვის მიერ აღწერილია გაგრის ზედა ბარემულიდან.

Mesohibolites semicanaliculatus Blainv. ⁽¹⁾ (= *Neohibolites semicanaliculatus* Blainv. mut. *major* Kil.)—რაჭა (კვაცხუთი, შქმერი), ქუთაისი, ზედა აპტური.

Mesohibolites moderatus Schw.—ფსირცხა, ქუთაისი, ზედა აპტური.

✓ *Mesohibolites brevis* Schw.—გაგრა, კვეზანი, რაჭა (გოგოლათი), კინჩხა, ხარაგოლის მიდამოები (ლაშე), ქუთაისი, ცხანარი; კლანსეური ჰორიზონტი.

✓ *Neohibolites ewaldsimilis* Stol.—აფხაზეთი (კალდახვარა), რაჭა (ზ. შავრა, ბარი), წყალტუბო, ქუთაისის მიდამოები, ქვედა აპტური.

✓ *Neohibolites inguriensis* Rouch.—მდ. ენგურის ხეობა, ქვ. აპტური.

✓ *Neohibolites bsibiensis* Rouch.—მდ. ბზიბის ხეობა, კვეზანი, ქვედა აპტური.

✓ *Neohibolites clava* Stol.—აფხაზეთი (კალდახვარა, მდ. ბზიბის ხეობა), ქვედა აპტური, ქუთაისი, ზედა აპტური.

⁽¹⁾ ი. ხეჩინაშვილის მიერ დადგენილია, რომ ტიპური *Belemmites semicanaliculatus* Blainv. (= mut. *major* Kil.) ეკუთვნის *Mesohibolites*-ის გვარს.

✓ *Neohibolites inflexus* Stol.—აფხაზეთი (გაგრა, კალდახგრა, კვეზანი, მდ. გუმისტას და მდ. ოქუშის ხეობა), ნიკორწმინდა, ქუთაისი, წყალტუბო, მდ. ჩხერიმელას ხეობა, ზედა აპტური.

✓ *Neohibolites aptiensis* Kil.—გაგრა, რაჭა (ზ. შავრა), ზედა აპტური.

Neohibolites Strombechi Mül. em. Stol.—ქუთაისი და წყალტუბო, ზედა აპტური.

Neohibolites aff. *Strombechi* Mül. em. Stol.—რაჭა (ზ. შავრა), კლანსეური ჰორიზონტი.

Neohibolites duvaliaeformis Stol.—წყალტუბო, ზედა აპტური, ნიკორწმინდა, კლანსეური ჰორიზონტი.

✓ *Neohibolites Wollemanni* Stol.—გაგრა, რაჭა (ნიკორწმინდა, ზ. შავრა, შქმერი), წყალტუბო, ქუთაისი, კლანსეური ჰორიზონტი.

Neohibolites Kartvelensis Hetch. (in litt.)—გაგს *Neoh. Stylioides* Renng., განსხვავდება როსტრუმის უფრო კუთხოვანი განივი განაკვეთით, რომელიც გვერდებიდან ცოტა შექყლვტილია, და ალვეოლის მომრგვალებული ქვედა ბოლოთი. კვეზანი, კლანსეური ჰორიზონტი.

Neohibolites minor Stol.—ნიკორწმინდა, ქუთაისი, წყალტუბო, ტყიბული, მდ. ჩხერიმელას ხეობა, ქვედა ალბური.

✓ *Neohibolites minimus* List.—გაგრა, ნიკორწმინდა, კვეზანი, წყალტუბო, ქუთაისის მიდამოები, მდ. ჩხერიმელას ხეობა, შუა ალბური.

Neohibolites minimus List. v. *pinguis* (List.)—რაჭა (ჩორჯო), შუა ალბური, ქუთაისი, ქვედა და შუა ალბური.

✓ *Neohibolites stylioides* Renng.—აფხაზეთი (გუმისტა, კინხა), რაჭა (რიცეულა, ნიკორწმინდა), შუა და ზედა ალბური.

✓ *Neohibolites ultimus* d'Orb.—გაგრა და შქმერი, ზედა ალბური.

Neohibolites cf. *spiniformis* Krim.—წყალტუბო, ზედა ალბური.

Parahibolites sp. nov. (Hetch. in litt.)—ფორმა გვერდებიდან შევიწროებული როსტრუმით, განსაკუთრებით შევიწროებულია მანძილი წვეტიდან უფართოვს ადგილამდე—კვეზანი, კლანსეური ჰორიზონტი.

Duvalia binervia Rasp.—ცხანარი, კვაცხეთი, ქვედა ბარემული.

Duvalia grassiana Duv.—წყალტუბო, ქვ. აპტური. შეეცოვის მიერ აღწერილია ზედა ბარემულიდან.

Pseudobelus cf. *bipartitus* Blainv.—ცხანარი, ვალანტინური (?)—ჰოტრიკული.

მ. შვეცოვისა [1] და გ. კრიმპოლცის [4] მიერ წინათ აღწერილი საქართველოს ბელემნიტებიდან ჩვენს კოლექციებში არ არის მხოლოდ *Hibolites pistiliiformis* Blainv. (შქმერი, ბარემული), *Mesohibolites abkhasienses* Krim. (შქმერი, გაგრა, ბარემული) და *Mes. varians* Schw. (გაგრა, ქვ. ბარემული). არ არის აგრეთვე *Oxyteuthis* cf. *Jasikovi* Lahus., ა. ჯანელიძის მიერ რაჭაში (რიცეულას ხეობა) ნაპოვნი და გ. კრიმპოლცის მიერ განსაზღვრული. ამასთანავე ჩვენს მასალაში არის შემდეგი ფორმები: *Mesohibolites carpticus* Uhl., *Mes.* aff. *Uhligi* Schw., *Mes. schaoriensis* Hetch. (in litt.), *Neohi-*

bolites ewaldsimilis Stol., *Neoh. clava* Stol., *Neoh. Kartvelensis* Hetch. (in litt.), *Neoh. Strombecki* Müll. em. Stol., *Neoh. aff. Strombecki* Müll. em. Stol., *Neoh. Wollemanni* Stol., *Neoh. minor* Stol., *Neoh. minimus* List. v. *pinguis* (List.), *Neoh. aptiensis* Kil., *Neoh. divaliaeformis* Stol., *Neoh. stylioides* Renng. და *Neoh. cf. spniiformis* Krim., რომლებიც არათუ არ ყოფილა აღწერილი საქართველოში, არამედ მოხსენებულიც არ ყოფილა საქართველოს ქვედაცარტული ნალექების სიაში.

ზემოთ მოყვანილი სიდიან ჩანს, რომ მთელი რიგი ფორმები დამახასიათებელია საქართველოს ქვედაცარტულის სართულებისა და პორიზონტებისათვის. ვალანტინური და პოტრიეული ხასიათდება *Pseudobelus* cf. *bipartitus* Blainv.-ით. პოტრიეულის ქვედა ნაწილში გავრცელებულია *Hibolites prodromus* Schw., ხოლო მთელი ამ სართულის სახელმძღვანელო ფორმებს წარმოადგენს *Hib. longior* Schw., ამავე სართულში გავრცელებულია *Hib. subfusiformis* Rasp. და *Hib. yaculum* Phil., რომელთაგან პირველი გადადის ქვედა ბარემულშიც, ხოლო მეორე ზედა აპტურამდე აღწევს.

ქვედა ბარემულშიც *Pseudothurmannia angulicostata* და *Holcodiscus Caillaudi*-ს ზონებში გავრცელებულია *Hibolites subfusiformis* Rasp. v. *inflata* (Schw.) და *Duvalia binervia* Rasp.

ზედა ბარემულში—*Heteroceras Leenhardi* ზონაში ცნობილია *Mesohibolites minaret* Rasp., *Mes. cf. carpaticus* Uhl., *Mes. schaoriensis* Hetch. (in litt.), *Mes. gagicus* Schw.; მთელი რიგი—*Mes. beckidensis* Uhl., *Mes. Fallauxi* Uhl., *Mes. Uhligi* Schw., *Mes. longus* Schw., *Mes. Renngartenni* Krim. მოიპოვება როგორც ზედა ბარემულში, ისე ქვედა აპტურშიც.

მხოლოდ ქვედა აპტურში *Colchidites securiformis* და *Deshayesites Deshayesi* ზონებში გავრცელებულია *Hibolites horeschaensis* Rouch., *Mesohibolites aff. elegans* Schw., *Neohibolites inguriensis* Rouch., *Neoh. bsibiensis* Rouch., *Neoh. ewalalsimilis* Stol.; ამავე ქვესართულში მოიპოვება აგრეთვე *Neohibolites clava* Stol., რომელიც ზედა აპტურშიც გადადის.

ზედა აპტურის *Chelonicerias Tscheunyschewi* და *Chel. subnodosocostatum* ზონისათვის დამახასიათებელია *Mesohibolites semicanaliculatus* Blainv., *Mes. moderatus* Schw., *Neohibolites inflexus* Stol., *Neoh. aptiensis* Kil., *Neoh. Strombecki* Müll. em. Stul.

კლანტურ პორიზონტში—*Acanthoplites Nolani* ზონაში მოიპოვება *Mesohibolites brevis* Schw., *Neoh. Wollemanni* Stol., *Neoh. aff. Strombecki* Müll. em. Stol., *Neoh. Kartvelensis* Hetch. (in litt.), *Neoh. divaliaeformis* Stol.

ქვედა ალბურის ზედა პორიზონტში გავრცელებულია *Neohibolites minor* Stol. (იმავე სახელწოდების ზონაში); ამავე ზონაში ნაპოვნია აგრეთვე *Neoh. minimus* List. var. *pinguis* (List.), რომელიც უფრო ხშირად შუა ალბურში მოიპოვება.

შუა ალბურის *Kossmatella rencurelensis* ზონისათვის დამახასიათებელია *Neohibolites minimus* List. ამავე ზონაში პირველად ჩნდება *Neoh. stylioides* Renng., რომელიც ზედა ალბურში გადადის. ზედა ალბურში—*Pervinquieria inflata*

ზონაში, გარდა *Neohibolites stylioides*, მოიპოვება აგრეთვე *Neoh. ultimus* d'Orb-
და *Neoh. cf. spiniformis* Krim., ამოთან პირველი სენომანურში გადადის.

ქვედაცარცული ბელემნიტების სტრატეგრაფიული გავრცელება ზოგა-
დად თანხედება მათ გავრცელებას ჩრდილო კავკასიაში [4], მანგიშლაკზე [5],
საფრანგეთში, შვეიცარიაში, სამხრეთ ინგლისში, ჩრდილო გერმანიაში (6),
თუმცა უნდა აღინიშნოს, რომ ზოგიერთ სახეს სხვა სტრატეგრაფიული
მდებარეობა ახასიათებს. *Neohibolites Wollemanni* Stol. მანგიშლაკზე აღ-
ნიშნულია ზედა აპტურში, ჩრდილო კავკასიაში — იმავე ქვესართულში და
კლანსეურ ჰორიზონტში, საქართველოში კი მხოლოდ კლანსეურში; საფ-
რანგეთსა და ჩრდილო-გერმანიაში ეს ბელემნიტი აგრეთვე კლანსეურისა-
თვის არის დამახასიათებელი. *Neohibolites Strombecki* Müll. em. Stol. საქარ-
თველოში ნაპოვია ზედა აპტურში, ხოლო ჩრდილო-გერმანიაში კლანსეურ
ჰორიზონტში; *Neohibolites aff. Strombecki* Müll. em. Stol. ჩვენში (ს. შავრის
მიდამოები) ნაპოვია კლანსეურ ჰორიზონტში მაშინ, როდესაც ჩრდილო-გერ-
მანიაში ის გვხვდება ქვედა ალბურში *Acanthoplites Nolani*-ს ზონის ზემოთ;
Leymeriella Schrammi-ს ზონაში. *Neohibolites minimus* List. v. *pinguis* (List.)
ყველგან (გარდა მანგიშლაკისა) შუა ალბურშია გავრცელებული, ხოლო მან-
გიშლაკში ქვედა ალბურში იხსენიებენ, საქართველოში ის ნაპოვია როგორც
ქვედა, ისე შუა ალბურში. ამ ოთხი სახის სტრატეგრაფიული გავრცელება
გვაფიქრებინებს, რომ მათი მიგრაცია მომხდარა აღმოსავლეთიდან დასავლეთ-
თისაკენ.

საქართველოს ქვედაცარცული ბელემნიტების ფაუნა ყველაზე მეტად
ჩრდილო-კავკასიის ფაუნას ჰგავს; საქართველოში ნაპოვნი 45 ფორმიდან 28
საერთოა ჩრდილო-კავკასიის ფორმებთან და მხოლოდ 17 ქვემოთ ჩამოთვლილი
ფორმა იქ არ არის ცნობილი: *Hibolites prodromus* Schw., *Hib. Inal* Er. (in litt.),
Hib. Subfusiformis Rasp. v. *inflata* (Schw.), *Hib. horeschensis* Rouch., *Mesohi-*
bolites aff. Uhligi Schw., *Mes. carpaticus* Ubl., *Mes. Schaoriensis* Hetch. (in litt.),
Mes. varians Schw., *Mes. abkhasiaensis* Schw., *Neohibolites bsibiensis* Rouch.,
Neoh. inguriensis Rouch., *Neoh. Strombecki* Müll. em. Stol., *Neoh. aff. Strom-*
becki Müll. em Stol., *Neoh. aptiensis* Kil., *Neoh. Kartvelensis* Hetch., *Neoh.*
duvaliaeformis Stol. და *Parohibolites* nov. sp. (Hetch.). ზოგიერთი სახე, მაგა-
ლითად *Neohibolites ewaldsimilis* Stol., *N. Wollemanni* Stol., *Neoh. minimus*
List., *Id. v. pinguis* (List.), აღნიშნულია მანგიშლაკის აპტური ნალექებიდან,
მაგრამ უნდა აღინიშნოს, რომ მრავალი *Neohibolites*, ნაკცკის შიერ აღწერლი
მანგიშლაკიდან [5], საქართველოში ცნობილი არ არის.

მიუხედავად იმისა, რომ ყირიმის ქვედაცარცული ბელემნიტები ჯერჯე-
რობით სათანადოდ შესწავლილი არაა, მაინც შეიძლება ყირიმიდან აღინიშ-
ნოს *Hibolites spiniformis* Rasp., *Neohibolites aptiensis* Kil., *Neoh. minimus* List.,
Neoh. ultimus d'Orb., *Duvalia grassi* Duv. (7).

საქართველოში ცნობილი ბელემნიტებიდან ბევრი გავრცელებულია და-
სავლეთ-ევროპაშიც. მათი უმეტესობა, მაგალითად: *Hibolites subfusiformis*
Rasp., *Hib. jaculum* Phil., *Mesohibolites minaret* Rasp., *Mes. semicanaliculatus*

Blainv., *Nehibolites Wollemanni* Stol., *Neoh. minimus* List., Id. var. *pinguis* (List.), *Neoh. ultimus* d'Orb., *Duvalia grassiana* Duv., *Pseudobelus bipartitus* Blainv., ცნობილია როგორც შუა ევროპის, ისე ხმელთაშუა ზღვის პროვინციებიდან, *Mesohibolites Falauxi* Uhl., *Mes. beskidensis* Ubl., *Mes. carpaticus* Uhl., *Mes. Uhligi* Schw. აღნიშნავენ კარპატებში და სამხრეთ საფრანგეთში, ხმელთაშუა ზღვის პროვინციის დამახასიათებელი ფორმებია *Neohibolites evaldisimilis* Stol., *Neoh. aptiensis* Kil., *Duvalia binervia* Rasp. მაშინ, როდესაც *Neoh. clava* Stol., *Neoh. inflexus* Stol., *Neoh. Strombedi* Müll. em. Stol. *Neoh. minor* Stol. აღწერილია შუა ევროპის პროვინციებიდან (ჩრდილო-გერმანია).

საქართველოში გვხვდება აგრეთვე პოვოლეის ალუბან საერთო სახეები, მაგალითად: *Oxyteuthis jasicovi* Lahus., *Hibolites jaculum* Phil. ეს ფორმები და აგრეთვე *Hibolites subfusiformis* Rasp. და *Hib. pistiliformis* Rb. ცნობილია სამხრეთ ინგლისშიც (სპიტონი, 8).

ზემოაღნიშნულის საფუძველზე შესაძლებელია დადგენილად ჩათვალოს, რომ საქართველოს ქვედაკარტული ბელემნიტების ფაუნა ხმელთაშუა ზღვის ტიპისაა, მცირე მინარევით შუა ევროპის ფორმებისა, რომლებიც საქართველოს გარდა ცნობილია აგრეთვე ჩრდილო-კავკასიაში, ჩრდილო-გერმანიაში, სამხრეთ-საფრანგეთსა და სამხრეთ-ინგლისში: ადგილობრივი (კავკასიური) ფორმები საკმაოდ მრავალრიცხოვანია.

საქართველოს სსრ მეცნიერებათა აკადემია
გეოლოგიისა და მინერალოგიის ინსტიტუტი
თბილისი

(რედაქციას მოუვიდა 5.3.1951)

სამეცნიერო ლიტერატურა

1. М. С. Швецов. Нижнемеловые белемниты Абхазии. Ежег. по геол. и мин. России, т. XV, в. 2—3, 1913.
2. ი. რუხაძე. საქართველოს ზოგიერთი ახალი ან ნაკლებცნობილი ატურთი ცეფალოპოდები. საქართველოს გეოლოგიური ინსტიტუტის მოამბე, ტ. III, ნაკვ. 2, 1938.
3. М. С. Эристави. Грузинская глыба и смежные области в нижнемеловое время. Автореферат к диссертации, Тбилиси, 1949.
4. Г. Я. Крымгольд. Нижнемеловые белемниты Кавказа. Монографии по палеонтологии СССР, т. LXVII, вып. 1, 1939.
5. А. Д. Нацкий. Белемниты септариевых глин Мавгышлака. Тр. Геол. Музея АН т. II, вып. 1, 1916.
6. E. Stolley. Die Belemniten der Nord. Deutschgault. Geol. u. Paläont. Abhandl. Bd X (XIV), H. 3, 1911.
7. XVII Международный геологический конгресс. Южная экскурсия, Крымская АССР 1937.
8. А. Павлов. Belemnites de Speeton. In Pavloy et Lamplug. Argilles de Speeton. Записки Москов. общ. естествоиспытателей, нов. сер., т. V, № 3—4, 1892.

პეტრობრაზნი

ბ. ძ. ო. წ. ე. ნ. ძ. ე.

აკადემიის წევრ-კორესპონდენტი

**ჰიპერსტენიანი პორფირიტები საქართველოში მხოლოდური ვულკანი-
ზმის პროლუტებში**

შუაიურული ვულკანოგენური წყება საქართველოში ფართოდაა გავრცე-
ლებული და იგი რიგი წლების მანძილზე წარმოადგენდა პეტროგრაფიული
შესწავლის ობიექტს მასში მოქცეული სისარგებლო ნამარხების საბადოთა
კვლევასთან დაკავშირებით. არა ნაკლებ ყურადღებას იპყრობდა პალეოგენურ
რი ვულკანოგენური წყებებიც, რომლებიც ძირითადად აგებენ აჭარა-თრია-
ლეთის ქედს.

პირველ ხანებში, როდესაც ახალი კადრები ჯერ კიდევ არ იყო, საქარ-
თველოში ქანების პეტროგრაფიულ კვლევას უმთავრესად პროფ. გ. სმირონოვი
აწარმოებდა. თავისი კვლევის შედეგად ის იმ დასკვნამდე მივიდა, რომ რო-
გორც საქართველოში, ისე სომხეთსა და აზერბაიჯანში მოცენამდელი ეფუ-
ზივები არ შეიცავენ რომმულ პიროქსენს, რომელიც უმეტეს შემთხვევაში
მიოცენის შემდგომი ლავების დამახასიათებელ მინერალს წარმოადგენს.
სმირონოვს ჰიპერსტენიანი ქანების განაწილების ამგვარი ასაკობრივი კანონ-
ზომიერება იმდენად თვალსაჩინოდ მიაჩნდა, რომ, როდესაც სხვა მკვლევრები
აღწერდნენ იურის, ცარცის ან პალეოგენის ვულკანოგენური წყებებიდან
ჰიპერსტენიან ქანებს, მას ეკვი არ ეპარებოდა ამ ქანების ახალგაზრდა—პოსტ-
მიოცენურ ასაკში და აუცილებლად მიიჩნედა მათი წოლის გეოლოგიური
პირობების გასარკვევად დამატებითი დაკვირვების წარმოებას—ხომ არ არიან
ისინი გამკვეთი ქანებიო. ეს აზრი გ. სმირონოვს მკაფიოდ აქვს გამოთქმული
თავის უკანასკნელ სტატიაში [6], რომლიდანაც მომყავს სათანადო ადგილი: „ჩვენ
დაკვირვებები, ლიტერატურის გოულდასმით ანალიზთან თანხმობით, გვაძიძულებს
რომბული პიროქსენი ჩვეთვალთ დამახასიათებელ მინერალად კაიონოზოური
ეფუზივებისათვის, უპირატესად კიდევ უფრო ვიწროდ—პოსტმიოცენური
ციკლის ეფუზივებისათვის. მიუხედავად ამისა, ა. გ. ი. ნ. ბ. გ. ი. აღწერს. რომ-
ბულ პიროქსენს გოქჩის ტბის რაიონის პალეოგენური ეფუზივიდან“.

საქართველოს იურული, ცარცული და პალეოგენური წყებების შედარე-
ბითი შესწავლისათვის ჩატარებული ჩვენი მრავალი წლის მუშაობის მანძილზე
ჩვენც იმ დასკვნამდე მივედი, რომ, მართლაც, ამ წყებათა შორის ჰიპერ-

სტენიანი პორფირიტები არ გვხვდება და, მაშასადამე, ჰიპერსტენი დამახასიათებელი მინერალი ყოფილა მხოლოდ პალეოგენის შემდგომი ეოჟუზიებისათვის. ეს აზრი გატარებული ზოგ ჩვენს შრომაში [3,4,5,].

საქართველოს შუაიურულ ვულკანოგენურ წყებაში ცნობილია ჰიპერსტენიანი პორფირიტების პოვნის ერთეული შემთხვევები; მავალითად, ლალიძის ხეობიდან გ. აგალიძე მოკრინსკის კოლექციიდან აღწერა ჰიპერსტენიანი პორფირიტები. მეზობელი მოქვის აუზიდან ჩვენ შევისწავლეთ ჰიპერსტენიანი ქანების სამი გამოსავალი ბაიოსის ტუფებს შორის თანახმა სხეულების სახით. ეს „პორფირიტები“ ხასიათდება ფოლადისებრი მოშავო-ნაცრისფერით და მკვეთრად გამოირჩევა თავისი ახალგაზრდა ელფერით შემცველი მწვანე ქანებისაგან. კიდევ უფრო მკვეთრად ჩანს ეს განსხვავება მიკროსკოპში, სადაც ქანს აქვს ნაცრისფერი ჰიპოლიტიური ძირითადი მასა, რომლის მინებრივი ბაზისი სრულებით შეუცვლელია; სავსებით სალი, მიკროტინული, მინებრივ-გამჭვირვალე პლაგიოკლაზის ფენოკრისტალები ქანს უდავოდ კაინოტიპურ იერს აძლევს და მის შემცველ წყებაზე უფრო ახალგაზრდა ასაკს უდავოს ხდის. ეს ქანი იმდენად სალია, რომ მისთვის პორფირიტის წოდება ყოვლად შეუფერებელი იქნებოდა, რის გამოც მას ჩვენ ჰიპერსტენიანი ბაზალტი ვუწოდეთ [5].

შუაიურულ ვულკანოგენურ წყებაში ჰიპერსტენიან პორფირიტებს აღნიშნავს შ. აზიზბეკოვი აზერბაიჯანის სსრ შუამიანის რაიონიდან. წოლის გეოლოგიური პირობების შესახებ გარკვეული ცნობები არც მას აქვს მოცემული, რაც ეჭვისათვის კვლავ ტოვებს ადვილს [1].

ა. სოლოვიკინი თავის შრომაში ჰიპერსტენიანი პორფირიტების პოვნის შემთხვევას კურდისტანისა და შუშის რაიონის იურულ და ცარცულ ვულკანოგენურ წყებებში, მაგრამ ამ ქანების შემცველ წყებებთან სინქრონულობის რაიმე დამამტკიცებელი საბუთი არ მოჰყავს [7].

უკანასკნელი სამი წლის მანძილზე საშუალება მოგვეცა საქართველოს შუაიურული და ცარცული ვულკანოგენური წყებებიდან ახალი მასალები შეგვესწავლა, რამაც მეზოზოური ვულკანიზმის პროდუქტებში ჰიპერსტენიანი პორფირიტების არსებობის საკითხის გადაწყვეტის საშუალება მოგვცა.

1947 და 1948 წლების განმავლობაში რიონისა და ცხენისწყლის აუზები გეოლოგიურად შეისწავლა შ. კიტოვანიძე. მის მიერ შეკრებილი მდიდარი მასალის პეტროგრაფიული შესწავლა მე ჩავატარე.

აღმოჩნდა, რომ მდ. ცხენისწყლის ხეობაში, სოფ. ღვედსა და სოფ. ზუბს შორის, შუაიურული ვულკანოგენური წყებას ფარგლებში საკმაოდ ხშირად გვხვდებით ჰიპერსტენიანი პორფირიტების ცალკეულ გამოსავლებს. ეს ქანები მიკროსკოპული შესწავლისას თავისი შეცვლის ხარისხით არ განსხვავდება შემცველი შუაიურული წყების ავგიტიანი პორფირიტებისაგან. მომყავს სოფ. ღვედის მიდამოებიდან აღებული ერთი ნიმუშის აღწერა. ქანი პორფირული სტრუქტურისაა. ჰიპოლიტიური ძირითადი მასა შედგება ანდეზინის რივის პლაგიოკლაზის უწყრილესი მიკროლიტებისა, მაგნეტიტის მარცვლებისა და

ნაცრისფერი ამორფული ბაზისისაგან. ეს უკანასკნელი მხოლოდ აქა-იქ არის ჩანაცვლებული ქლორიტის ლაქებით. ფენოკრისტალები წარმოდგენილია პლაგიოკლაზითა და პიროქსენებით. პლაგიოკლაზი ზონალურია, შეიცავს ძირითადი მასის ჩანართებს და შედგენილობით № 63 ლაბრადორს შეესაბამება. პიროქსენის მეტი წილი ჰიპერსტენის სალი პრიზმული მარცვლებითაა წარმოდგენილი; აქვს პლეოქროიზმი: Np—ლია ვარდისფერი, Ng—ოდნავ მომწვანო; ჩაქრობა სწორი; ინტერფერენციული ფერები ნაცრისფერია. პიროქსენის მხოლოდ რამდენიმე მარცვალია უფერო, პლეოქროიზმი არა აქვს, CNg=40° და მალე ინტერფერენციული ფერები ახასიათებს; უდავოა, რომ ავგიტთან გვაქვს საქმე.

სამწუხაროდ, ამ ქანის წოლის ფორმაც გაურკვეველია, რის გამოც მისი შემცველ წყებასთან სინქრონულობის საკითხის გადასაწყვეტად საჭირო იყო დამატებითი მასალა. ასეთი მასალაც იმავე მდ. ცხენისწყლის ხეობაში აღმოჩნდა. შუაიურული ვულკანოგენური წყების აგლომერატული ტუფების ერთ-ერთი შრიდან მასალის მიკროსკოპული შესწავლისას გამოიკვეთა, რომ ტუფის შემადგენელი პორფირიტების ნატება შორის ჰიპერსტენიანი პორფირიტების ნატებშიცაა. ვარდა ამისა, ჰიპერსტენიანი პორფირიტი აღმოჩნდა ტუფ-ბრექჩიის შრის შემაცემენტებულ მასალაშიც. ეს ქანი მიკროსკოპში გათხივებული ძირითადი მასის მქონეა, რომელშიც მოქცეულია № 65 ლაბრადორისა და პიროქსენების ნამტვრევები. პიროქსენებში ჭარბობს პლეოქროული ჰიპერსტენები სწორი ჩაქრობითა და დაბალი ინტერფერენციული ფერებით, ავგიტისაკი მხოლოდ ერთი მარცვალი გვხვდება.

ასეთივე ჰიპერსტენიანი პორფირიტი შეგვხვდა ტუფ-ბრექჩიის შრეში ნატების სახით. მიკროსკოპში ამ ქანს პორფირული სტრუქტურა აქვს; ჰიალოპილიტური ძირითადი მასა შეიცავს № 45 ანდეზინის ერთეულ მიკროლიტებს და მაგნეტიტის მარცვლებს. ფენოკრისტალები წარმოდგენილია შეცვლილი ძირითადი მასის ჩანართების შემცველი № 55 ლაბრადორის სხვადასხვა ზომის მარცვლებითა და პიროქსენებით. უკანასკნელთა შორის ჭარბობს ტიპობრივი ჰიპერსტენის სალი მარცვლები, ხოლო ავგიტი მცირე რაოდენობითაა; მისი CNg=40°.

პიროქსენის ჰიპერსტენისადმი მიკუთვნება ექვს არ იწვევს, რადგან, როგორც ზემოთაღნიშნული აღწერებიდან ჩანს, მას ახასიათებს მკაფიო პლეოქროიზმი (Np—ვარდისფერი, Ng—მომწვანო), სწორი ჩაქრობა და პირველი რიგის ინტერფერენციული ფერები.

მეტი დამარწმუნებლობისათვის მოგვყავს ამ პიროქსენების ფედოროვის მაგიდის საშუალებით განსაზღვრული ზოგი ოპტიკური კონსტანტა.

შლიფის №	ქანის სახაითი	CNg	-2v
242	აგლომერატული ტუფი	0°	54°
142	ნატები ბრექჩიიდან	2°	—
"	" "	10°	60°
"	" "	14°	64°
1	განფენიდან	0°	56°

ეს კონსტანტები ჰიპერსტენისათვისაა დამახასიათებელი. სწორი ჩაქრობის მდგომარეობიდან მცირეოდენი გადახრა, რასაც აქ ჰიპერსტენის ზოგ მარცვალს ვამჩნევთ, არცთუ ისე იშვიათია ჰიპერსტენებისათვის.

ამრიგად, შუაიურულ ვულკანოგენურ წყებაში მისი სინქრონული ჰიპერსტენიანი პორფირიტების არსებობა უდავო ფაქტია.

ჰიპერსტენიანი პორფირიტები არ იყო ნაპოვნი საქართველოში არც ცარცულ ვულკანოგენურ წყებებში.

როგორც ჩვენ მიერ ჩატარებულმა ვულკანოგენური წყებების შედარებითმა შესწავლამ გამოარკვია, ცარცული ვულკანიზმის პროდუქტები საქართველოში სხვადასხვა გეოტექტონიკურ ზონებთან არის დაკავშირებული და ამის მიხედვით სამ სხვადასხვა შედგენილობის წყებას ქმნის. საქართველოს ბელტზე ცარცული ვულკანოგენური წყება ოლიგენიანი ბაზალტების, პიკრიტ-ბაზალტებისა და ტრაქიბაზალტებისაგან შედგება; ამ ქანების პიროქსენი პიქონიტური ტიპისაა. აქარა-თრიალეთის ნაოქა ზონაში მეტწილად ანდეზიტური შედგენილობის პორფირიტები გვხვდება, რომლებიც რქატყუარასთან ერთად ყოველთვის შეიცავენ ჩვეულებრივი ავეიტის გარკვეულ რაოდენობას, ხოლო სომხეთის ბელტზე ცარცული ვულკანოგენური წყების ქანები, წარმოდგენილი უმთავრესად დეციტებითა და ალბიტოფირიტებით და უფრო იშვიათად ანდეზიტებით, აგრეთვე ჩვეულებრივ ავეიტს შეიცავენ. არც ერთ ამ წყებათაგანში არც ჩვენამდე და არც ჩვენ მიერ ჰიპერსტენის არსებობა არ ყოფილა აღნიშნული. ამიერკავკასიის სხვა ადგილებში კი მხოლოდ აზერბაიჯანში იპოვნა ა. სოლოვკინმა ცარცულ ვულკანოგენურ წყებაში ჰიპერსტენიანი პორფირიტი, რაც ზემოთ უკვე იყო აღნიშნული [7].

1947 წელს ჩვენ მოგვიხდა კონსულტაცია ვაგვეწვია, როგორც სავლევ, ისე კამერული მუშაობისას, ინჟინერ-გეოლოგ გ. გუგუნაშვილისათვის, რომელიც მინერალური ნედლეულის ინსტიტუტის საქართველოს განყოფილების დაკვლევით სწავლობდა თეთრი წყაროს რაიონის სოფ. სამშვილდის მიდამოების ბიპირამიდული ჰაბიტუსის კვარცის ფენოკრისტალუბით ცნობილი კვარციანი პორფირების პეტროგრაფიას. გამოირკვა, რომ ამ კვარციანი პორფირიტის (და არა კვარციანი პორფირის, როგორც მანამდე მიაჩნდათ) შემცველი ცარცული ვულკანოგენური წყების ზედა ნაწილებში გვხვდება უკვარცო, ანდეზიტურ-დაციტური შედგენილობის პორფირიტები და მათი ტუფები, რომლებშიც მუქი სილიკატი რომბული პიროქსენითაა წარმოდგენილი. მოგვყავს ამ ქანების ერთი წარმომადგენლის ნიკროსკოპული დახასიათება. მუქ ნაცრისფერ ძირითად მასაში გაბნეულია ოლიგოკლასის რიგის იშვიათი მიკროლითები; ბაზისი ფელზიტურია. ფენოკრისტალუბი—ანდეზინის რიგის საღი პლავიოკლასი და პიროქსენის მარცვლები, რომელთა შორის ქარბობს პლეოქროული ჰიპერსტენი სწორი ჩაქრობით $2V=56^\circ$ და 52° (სხვადასხვა შლიფში). ავეიტი უფეროა, $CNg=45^\circ$; ამ ქანში SiO_2 -ის შემცველობა 62,3%-ს აღწევს, რაც ქანის დაციტებისადმი მიკუთვნების სასარგებლოდ ლაპარაკობს.

ამგვარად, უდავოა, რომ ცარცულ ვულკანოგენურ წყებაშიაც, მართალია იშვიათად, მაგრამ მაინც ვხვდებით ჰიპერსტენიან ქანებს.

რაც შეეხება პალეოგენურ ვულკანოგენურ წყებებს, მიუხედავად საქართველოს ფარგლებში მათი გულდასმით შესწავლისა, მათ შედგენილობაში დღემდე ჰიპერსტენიანი ქანები ნაპოვნი არ ყოფილა. მაგრამ იურული და ცარცული ვულკანიზმის პროდუქტებში ჰიპერსტენის პოვნა, რაც აქამდე აგრეთვე შეუძლებლად იყო მიჩნეული, გვაიძულებს აქაც თავი შევიკავოთ საბოლოო დასკვნისაგან. ეს მით უმეტეს აუცილებელია, რომ ა. გინზბერგი სევანის ტბის რაიონის პალეოგენური ეფუზივებიდან იძლევა ჰიპერსტენის შემცველი ქანის აღწერას [2]. შესაძლოა, რომ საქართველოს პალეოგენშიც იქნეს ნაპოვნი ასეთი ქანები, მაგრამ მათ, ისევე როგორც იურასა და ცარცში, უმჭველად უმნიშვნელო გავრცელება ექნებათ.

საქართველოს იურულ და ცარცულ ვულკანოგენურ წყებებში ჰიპერსტენიანი ქანების არსებობის დადგენას მნიშვნელობა აქვს ტერიგენული კომპონენტების საფუძველზე პალეოგეოგრაფიული საკითხების გადაწყვეტისათვის. აქამდე მიოცენზე უფრო ძველ დანალექ ფორმაციათა ქანების მძიმე ფრაქციებში ჰიპერსტენის პოვნა შეუძლებელი იყო აგვეხსნა, თუ არ დავუშვებდით რაღაც უცნობ კვების წყაროს. ამჟამად ეს სიძნელე დაძლეულია.

გარდა ამისა, რამდენადაც გამორკვეულია, რომ ჰიპერსტენი სრულიადაც არ წარმოადგენს მხოლოდ ახალგაზრდა ეფუზივების კუთვნილებას, ქანში ჰიპერსტენის არსებობის ან არარსებობის მიხედვით მისი ასაკის განსაზღვრა შეუძლებელია.

მოყვანილი ფაქტობრივი მასალის საფუძველზე შეიძლება შემდეგი დასკვნები გავაკეთოთ:

1. შუაიურულ ვულკანოგენურ წყებაში, მართალია იშვიათად, მაგრამ მაინც გვხვდება ჰიპერსტენიანი ქანები. მათ შორის აუცილებლად უნდა გავარჩიოთ ძირითადად ორი ტიპი: 1) მკაფიოდ კაინოტიპური საღი ანდეზიტები და ბაზალტები, რომლებიც შემცველ წყებაზე ახალგაზრდა უნდა იყოს და 2) შემცველი წყების მსგავსად შეცვლილი ქანები, რომლებიც ჰიპერსტენიან პორფირიტებს წარმოადგენენ და უდავოდ შუაიურული ასაკის არიან, რადგან გვხვდებიან ტუფ-ბრექჩიების ნატეხებსა და ცემენტში, ხოლო ზოგჯერ ავლომერატული ტუფების შედგენილობაშიც.
2. სომხეთის ბელტის ცარცულ ვულკანოგენურ წყებაში ჰიპერსტენიანი ქანების პოვნა გვაძლევს საფუძველს ვივარაუდოთ, რომ ჰიპერსტენი აღმოჩნდება ცარცული ასაკის სხვა ვულკანოგენურ წყებებშიც.
3. ამიერკავკასიის სხვა ადგილებშიც იურულ და ცარცულ ვულკანოგენურ წყებებში ჯერჯერობით ჰიპერსტენიანი ქანების პოვნის მხოლოდ ერთეული შემთხვევებია ცნობილი.
4. არ არის გამორიცხული, რომ საქართველოს პალეოგენურ ვულკანოგენურ წყებებშიაც შეიძლება შეგვხვდეს წყებათა სინქრონული ჰიპერსტენიანი ქანები, რადგან სომხეთში, სევანის ტბის რაიონის პალეოგენში, უკვე აღნიშნულია ჰიპერსტენის პოვნის ერთი შემთხვევა.

5. ზემოთქმულიდან ლოგიკურად გამომდინარეობს, რომ ჰიპერსტენის არსებობის მიხედვით არ შეიძლება ქანის ასაკის განსაზღვრა.

საქართველოს სსრ მეცნიერებათა აკადემია
გეოლოგიისა და მინერალოგიის ინსტიტუტი
თბილისი

(რედაქციის მოუვიდა 1.6.1951)

დაგოწმებული ლიტერატურა

1. Ш. А. Авизбеков. Геолого-петрографический очерк северо-восточной части Малого Кавказа. Баку, 1947.
2. А. С. Гинзберг. Бассейн оз. Севан. Труды СОПС АН СССР, т. II, в. 1, 1930.
3. Г. С. Двоценидзе. Материалы по петрографии порфировой серии. Изв. Геол. Инст. Грузии, т. III, в. 3, 1938.
4. Г. С. Двоценидзе. Домшоеновый эффузивный вулканизм Грузии. Тбилиси, 1948.
5. Г. С. Двоценидзе, Н. Е. Астахов, А. С. Горбаченко. Геолого-петрографический очерк и полезные ископаемые бассейна верхнего течения р. Мокви. Труды Груз. Геол. Управления, вып. 5, 1941.
6. Г. М. Смирнов. Некоторые замечания по стратиграфии, минералогия и химия Закавказских и Центрально-Кавказских эффузий. Доклады АН СССР, т. II, № 9, 1946.
7. А. Н. Соловкин. Отчеты о работах Курдистанской геол. партии. Труды Закгеолтреста, № 1, 1936.

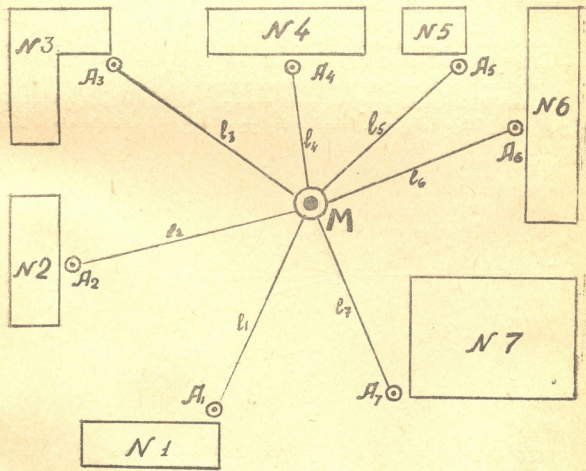
ტექნიკა

ი. უნგვლია

სატრანსპორტო ხარჯების უმცირესი ღირებულების ამოცანის
გადაწყვეტილების უზღუდულობის პირობებში

(წარმოადგინა აკადემიის ნამდვილმა წევრმა კ. ზავრიევა 20.3.1951)

უმცირესი ღირებულების ამოცანას უწოდებენ ისეთი წერტილის მოძებნას მოხმარების წერტილებს შორის, რომლის მიმართაც სატრანსპორტო ხარჯები მინიმალურ მნიშვნელობას იღებს (იხ. [1,2]). საკითხის გარკვევითვის მიგმართოთ ზოგად მაგალითს. ვთქვათ, საამშენებლო მოედანზე დაგეგ-



სქემა 1

მილია ასაშენებლად რამდენიმე ობიექტი №№ 1, 2, 3, ..., 7 (იხ. სქემა 1). ძირითად მასალად გათვალისწინებულია ბეტონი. ყველა ობიექტისთვის ვერ-

ტიკალური ამწის ადგილსამყოფელი დადგენილია წერტილებში A_1, A_2, \dots, A_7 -
დასმული ამოცანის მიხედვით საჭიროა მოინახოს ისეთი წერტილი M (ბეტონ-
ნის დასაშვალდებელი შექანიკური დანადგარების ადგილსამყოფელი), რომლის
მიმართაც

$$S = \sum_1^n s_i p_i l_i \quad (1)$$

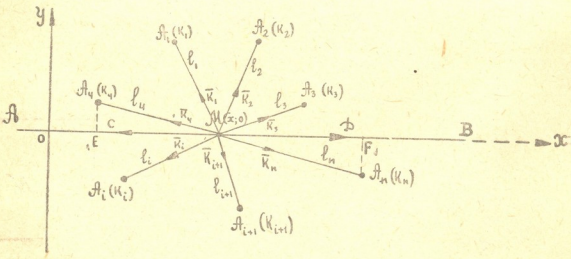
ექნება მინიმალური მნიშვნელობა [3].

აქ s_i წარმოადგენს 1 ტონაკილომეტრის ღირებულებას, რაც პირობით
საამუშენებლო მოედნის ფარგლებში ითვლება მუდმივ სიდიდედ — გამოყენებულ
ტრანსპორტის სახის, გზის ხასიათისა და გადასაზრდი ტვირთის კლასის მიხედვით
 p_i — გადასაზრდი ტვირთის რაოდენობას ტონობით და
 l_i — ტვირთის გადაზიდვის მანძილს კილომეტრობით.

სქემაზე A_1, A_2, \dots, A_7 წარმოადგენენ მოხმარების წერტილებს, ხოლო;
 M უმცირესი ღირებულების წერტილია, ჩვენი მიზანია ამ ტიპის ამოცანის გან-
ხილვა შემდეგი შეზღუდულობებით:

1. ვთქვათ, მოცემულია მოხმარების წერტილთა ერთობლიობა და რო-
მელიმე სწორი ხაზი AB (იხ. სქემა 2). მოითხოვება ამ სწორზე იმ წერტი-
ლის მოძებნა, რომლის მიმართაც ტრანსპორტის საერთო ხარჯები S იქნება
შედარებით უმცირესი, ვიდრე ამ სწორის ყველა სხვა წერტილის მიმართ.

ამოცანის გადასაწყვეტად ავავით კოორდინატთა სისტემა ისე, როგორც
ეს მე-2 სქემაზეა ნაჩვენები. მაშინ საძიებელი წერტილი განისაზღვრება მხო-



სქემა 2

ლოდ ერთი კოორდინატით x -ით, რადგანაც AB სწორია ყველა წერტილისთვის
 $y=0$. (1) გამოსახულებაში $s_i p_i$ ნაშრავლს აღნიშნავენ k_i -ით და უწოდებენ
 A_i წერტილის სატრანსპორტო დამახასიათებელს. l_i -ის გამოსახვევს მართკუ-
თხა კოორდინატების საშუალებით, რის გამოც (1) გამოსახულება იღებს შემ-
დეგ სახეს:

ტიკალური ამწის ადგილსამყოფელი დადგენილია წერტილებში A_1, A_2, \dots, A_n -
დასმული ამოცანის მიხედვით საჭიროა მოიხსნოს ისეთი წერტილი M (ბეტონ-
ნის დასაზღვრებელი მექანიკური დანადგარების ადგილსამყოფელი), რომლის

$$S = \sum_{i=1}^n s_i p_i l_i \quad (1)$$

ექნება მინიმალური მნიშვნელობა [3].

აქ s_i წარმოადგენს 1 ტონაკილომეტრის ღირებულებას, რაც პირობით
საამშენებლო მოედნის ფარგლებში ითვლება მუდმივ სიდიდედ—გამოყენებული
ტრანსპორტის სახის, გზის ხსილთისა და გადასაზღვი ტვირთის კლასის მიხედვით

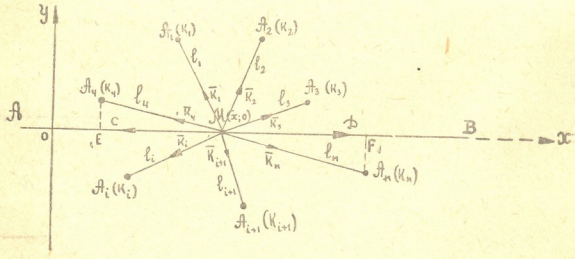
p_i —გადასაზღვი ტვირთის რაოდენობას ტონობით და

l_i —ტვირთის გადაზიდვის მანძილს კილომეტრობით.

სქემაზე A_1, A_2, \dots, A_n წარმოადგენენ მოხმარების წერტილებს, ხოლო M
შემცირესი ღირებულების წერტილია. ჩვენი მიზანია ამ ტიპის ამოცანის გან-
ხილვა შემდეგი შეზღუდულობებით:

1. ვთქვათ, მოცემულია მოხმარების წერტილთა ერთობლიობა და რო-
მელიმე სწორი ხაზი AB (იხ. სქემა 2). მოითხოვება ამ სწორზე იმ წერტი-
ლის მოძებნა, რომლის მიმართაც ტრანსპორტის საერთო ხარჯები S იქნება
შეღარებით უმცირესი, ვიდრე ამ სწორის ყველა სხვა წერტილის მიმართ.

ამოცანის გადასაწყვეტად ავაგოთ კოორდინატთა სისტემა ისე, როგორც
ეს მე-2 სქემაზეა ნაჩვენები. მაშინ სიძიებელი წერტილი განისაზღვრება მხო-



სქემა 2

ლოდ ერთი კოორდინატით x -ით, რადგანაც AB სწორია ყველა წერტილისთვის
 $y=0$. (1) გამოსახულებაში $s_i p_i$ ნამრავლს აღნიშნავენ k_i -ით და უწოდებენ
 A_i წერტილის სატრანსპორტო დამახასიათებელს. k_i -ის გამოსახავენ მართკუ-
თხა კოორდინატების საშუალებით, რის გამოც (1) გამოსახულება იღებს შემ-
დეგ სახეს:

$$S = \sum_1^n k_i \sqrt{(x - x_i)^2 + (y_i)^2}, \quad (2)$$

აქ x წარმოადგენს საძიებელი წერტილის კოორდინატებს, ხოლო x_i და y_i — მოხმარების წერტილების კოორდინატებს (რომლებიც წარმოადგენენ ცნობილ სადიდეებს).

(2) ფუნქციის მინიმუმის პირობა ასე ჩაიწერება:

$$\frac{dS}{dx} = \sum_1^n \frac{K_i (x - x_i)}{\sqrt{(x - x_i)^2 + y_i^2}} = 0. \quad (3)$$

უპრავლეს შემთხვევაში ამ განტოლების ამოხსნა საკმაოდ რთულ გამოთვლებს მოითხოვს, რაც ძლიერ აძნელებს ამოცანის გადაწყვეტას. ამიტომაც მიემართავენ შემდეგ ხერხს. (3) განტოლება განვიხილოთ როგორც \bar{K}_i ვექტორების AB სწორზე გეგმილების ნულთან ტოლობის პირობა. ამით ამოცანა დაიყვანება AB სწორზე ისეთი წერტილის მოძებნამდე, რომლის მიმართაც \bar{K}_i ვექტორების გეგმილების ჯამი გაუტოლდება ნულს, ე. ი. გვექნება:

$$\sum_1^n (\bar{K}_i)_{AB} = 0. \quad (4)$$

ცხადია, რამდენიმე სასინჯი წერტილის აღებით AB სწორზე გაცილებით უფრო ადვილად მივუახლოვდებით საძიებელ წერტილს, ვიდრე (3) სახის განტოლების ამოხსნით. კონკრეტული ამოცანის ამოხსნის პროცესში ადვილად დავრწმუნდებით აგრეთვე მასში, რომ თუ პირველი სასინჯი წერტილი, ვთქვათ, აღმოჩნდა საძიებელი M წერტილის (იხ. სქემა 2) მარცხნივ, მაშინ ვექტორი, რომელიც გამოსახავს \bar{K}_i ვექტორების გეგმილების ჯამს AB სწორზე, მიმართული იქნება მარჯვნივ, ე. ი. საძიებელი წერტილისაკენ, ხოლო თუ სასინჯი წერტილი დევს M წერტილის მარჯვნივ, მაშინ \bar{K}_i ვექტორების გეგმილების ჯამი მიმართული იქნება მარცხნივ, ე. ი. ისევ საძიებელი წერტილისაკენ. აქედან გამომდინარეობს AB სწორის მიმართ უმცირესი ღირებულების წერტილის მდებარეობის განსაზღვრის შემდეგი მეთოდი:

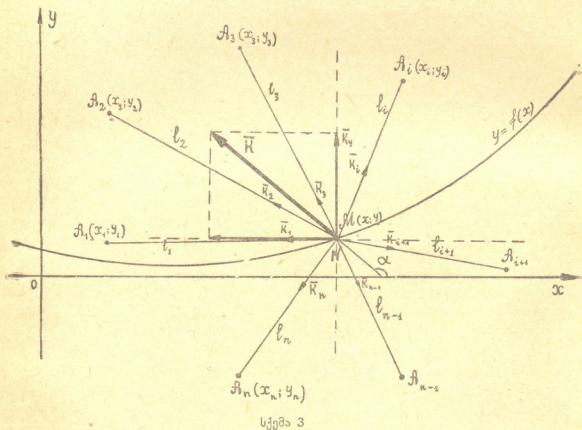
AB სწორზე ვიღებთ სასინჯ წერტილს და ვვაგებთ მის მიმართ \bar{K}_i ვექტორების AB სწორზე გეგმილების ჯამს. შემდეგ სასინჯ წერტილს ვიღებთ AB -ზე იმ მიმართულებით, საითაც მიმართულია ეს ვექტორი და ა. შ. ვაგრძელებთ მანამ, სანამდე არ მივალთ იმ წერტილამდე, რომლის მიმართაც \bar{K}_i ვექტორების გეგმილების ჯამი არ მიიღებს მოწინააღმდეგე მიმართულებას (შეიცვლის ნიშანს). ცხადია, საძიებელი წერტილის მდებარეობა შემოისაზღვრება უკანასკნელი ორი სასინჯი წერტილით. ადვილად დავრწმუნდებით, რომ უმცირესი ღირებულების წერტილი შეიძლება მდებარეობდეს მხოლოდ განაპირა პერიფერიული მოხმარების წერტილების პროექციებს შორის AB სწორზე. ჩვენს შემთხვევაში საძიებელი წერტილი (M) შეიძლება მდებარეობდეს მხოლოდ E და F წერტილებს შორის.

2. ვთქვათ, ახლა მოცემულია რომელიმე სისტემა, რომელიც შედგება ნებისმიერად განლაგებული მოხმარების წერტილების ნებისმიერი რიცხვისაგან. აგრეთვე მოცემულია რომელიმე მრუდი Γ განტოლებით $y=f(x)$. მოითხოვება Γ მრუდის წერტილებს შორის მოიძებნოს ის წერტილი, რომლის მიმართაც ტრანსპორტის ღირებულება უმცირესი იქნება (იხ. სქემა 3). გადავწეროთ (2) ტოლობა მოცემული მრუდის ნებისმიერი წერტილისათვის

$$S = \sum_I^n K_i \sqrt{(x-x_i)^2 + [f(x)-y_i]^2}.$$

ამგვარად, აქაც S არის ერთი ცვლადის ფუნქცია. მისი ანალიზი მინიმუმის პირობაზე გვაძლევს:

$$\frac{dS}{dx} = \sum_I^n \frac{K_i \{(x-x_i) + f'(x)[f(x)-y_i]\}}{\sqrt{(x-x_i)^2 + [f(x)-y_i]^2}} = 0, \quad (5)$$



$$\sum_I^n \left\{ \frac{K_i(x-x_i)}{\sqrt{(x-x_i)^2 + [f(x)-y_i]^2}} + f'(x) \frac{K_i[f(x)-y_i]}{\sqrt{(x-x_i)^2 + [f(x)-y_i]^2}} \right\} = 0.$$

განვიხილოთ ახლა მრუდის რომელიმე N წერტილი (იხ. სქემა 3). ავა-
 გოთ მის მიმართ \vec{K}_i ვექტორების გეომეტრიული ჯამი



$$\bar{K} = \sum_1^n \bar{K}_i$$

ცხადია, რომ

$$\sum_1^n \frac{K_i(x-x_i)}{\sqrt{(x-x_i)^2 + [f(x)-y_i]^2}} = K_x = \bar{K} \cos \alpha \text{ და}$$

$$\sum_1^n \frac{K_i[f(x)-y_i]}{\sqrt{(x-x_i)^2 + [f(x)-y_i]^2}} = K_y = \bar{K} \sin \alpha.$$

ამგვარად, მინიმუმის პირობა (5) შეგვიძლია ასე გადავწეროთ:

$$\bar{K} \cos \alpha + K f'(x) \sin \alpha = 0.$$

თუ აქ მივიღებთ, რომ $\cos \alpha \neq 0$, გვქვინება

$$\bar{K}[1 + f'(x) \operatorname{tg} \alpha] = 0, \tag{6}$$

სადაც α არის \bar{K} ვექტორის Ox ღერძთან დახრის კუთხე. წერტილი M დააკმაყოფილებს (6) პირობას იმ შემთხვევაში, თუ:

ა) $\bar{K} = 0$; ეს ნიშნავს, რომ მოცემული მრუდი გადის სისტემის მინიმალური ღირებულების წერტილზე, რომელსაც წარმოადგენს M .

ბ) $1 + f'(x) \operatorname{tg} \alpha = 0$; ეს ნიშნავს, რომ ვექტორი \bar{K} მართობია T მრუდის N წერტილზე გამავალი მხების მიმართ.

თუ $\cos \alpha = 0$, ე. ი. ვექტორი \bar{K} პარალელურია Oy ღერძის, მაშინ უნდა გვეკონდეს შემდეგი ტოლობაც $f'(x) = 0$ (ე. ი. T მრუდის მხები N წერტილში პარალელურია Ox ღერძისა).

ამგვარად, დასმული ამოცანის ამოხსნა დადის T მრუდზე ისეთი წერტილის მოძებნამდე, რომლის მიმართაც გეომეტრიული ჯამი ვექტორებისა $\bar{K}_1, \bar{K}_2, \bar{K}_3, \dots, \bar{K}_n$

$$\left(\bar{K} = \sum_1^n \bar{K}_i \right)$$

იქნება მართობი მრუდის მხებისა ამ წერტილის მიმართ (ან გაუტოლდება ნულს. ამ შემთხვევაში N წერტილი იქნება ამავე დროს მთელი სისტემის უმცირესი ღირებულების წერტილი, რომელზედაც გადის მრუდი).

აკინიგზის სატრანსპორტო-საინჟინერო

ვ. ი. ლენინის სახელობის თბილისის ინსტიტუტი
(რედაქციას მოუყვია 20.3.1951)

დამოუკიდებელი ლიტერატურა

1. Л. Д. Шевяков. Основы теории проектирования угольных шахт. 1950.
2. А. А. Гармаш. Теория строительных процессов, раздел II. Днепропетровск, 1939.
3. М. Лаврентьев и Л. Люстерник. Основы вариационного исчисления, ОНТИ. 1935.

ბოტანიკა

ბ. შანშიაშვილი

ფოსფორის ანიონების გავლენა სალი და კლოროფიანი ვაზების
ფისმთა სისტემის შეწოვადობაზე

(წარმოადგინა აკადემიის ნამდვილმა წევრმა ვ. გულისაშვილმა 17.2.1951)

ვაზის ფესვთა სისტემის შეწოვადობაზე ფოსფორის ანიონების გავლენა ნეიტრალურსა და ოდნავ ტუტე ($\text{pH}=7,4$) არეში შეისწავლებოდა ფოსფატების ბუფერულ ხსნარებში. ამ მიზნით საჭირო იყო ფოსფატების ისეთი ბუფერის დამზადება, რომელიც კნობის ხსნარის იზოტონური იქნებოდა. ასეთი ბუფერი შემდეგნაირად დამზადდა.

ორივე მარილის (Na_2HPO_4 , KH_2PO_4) 1/15 მოლარული ხსნარების კონცენტრაცია გადიდებული იყო თითოეულისა რვაჯერ, ცხრაჯერ, ათჯერ და ა. შ. ასეთი ხსნარებიდან ბუფერული ხსნარების დასამზადებლად აღებული იყო ცალ-ცალკე განსაზღვრული რაოდენობა, რაც მითითებულია სათანადო სახელმძღვანელოებში, და განზავებული თითო ლიტრ გამოხდილ წყალში. ასე დამზადებული სხვადასხვა კონცენტრაციის ნეიტრალური და ოდნავ ტუტე ბუფერული ხსნარებისა და კნობის ხსნარის გაყინვის ტემპერატურის დაცემა (დეჰრესია), გამოხდილ წყალთან შედარებით, შემოწმდა ბეკმანის აპარატით. როგორც ნეიტრალური, ისე ოდნავ ტუტე ბუფერი, რომელიც ათჯერ გადიდებული კონცენტრაციის ფოსფატების მარილების ხსნარებისაგან დამზადდა, კნობის ხსნარის სრულიად იზოტონური აღმოჩნდა.

ფოსფატების ბუფერული ხსნარები (როგორც ნეიტრალური, ისე ოდნავ ტუტე) ფოსფორის ანიონების დაახლოებით თანაბარ რაოდენობას შეიცავს, მათ შორის განსხვავება მხოლოდ pH -ით განისაზღვრება. ასეთ ხსნარებზე შესაძლებელი იყო შეგვესწავლა ფოსფორის ანიონების გავლენა საცდელი ვაზების ფესვთა სისტემის შეწოვადობაზე.

საცდელ ობიექტებზე ფესვთა სისტემის შეწოვადობა ისაზღვრებოდა იმავე მეთოდით, როგორც აღწერილია წინა შრომაში [1]. უნდა აღინიშნოს, რომ ყველა ჩატარებული ცდის დროს ჯერ ლეროფოთლიან ვაზებზე ხდებოდა კნობის ხსნარიდან შეწოვადობაზე დაკვირვება და შემდეგ ლერომოცილებულზე, ამის გამო ერთდროულად ჩვენ მიერ წარმოებდა დაკვირვება ცდაში ვატარებული ყველა ვაზის ტრანსპირაციის ინტენსივობაზე, დროის ერთეულში ლეროფოთლიანი მცენარის მიერ შეწოვილი წყლის რაოდენობის მიხედვით.

ჩატარებული ცდების შედეგად გამოიჩინა, რომ სალი ალიგოტე უფრო ინტენსიურად აწარმოებს ტრანსპირაციას, ვიდრე საშუალოქლოროზიანი (ცხრილი 1). ამასვე ადასტურებს ცხრილის უქანასკნელი სვეტის ციფრები.

ცხრილი 1

საკუთარფესვიანი ალიგოტეს ტრანსპირაციის ინტენსივობა

მ ც ე ნ ა რ ე	ცდის თარიღი	თიხის ტემპერატურა	ტრანსპირაციის ინტენსივობა	ღეროფოთლიანი მცენარის მიერ შეწოვილი წყლის რაოდენობა მილილიტრებით ფესვის 100 გრამ მშრალ წონაზე 1 საათში
ს ა ლ ი	28.VII.49 წ.	27°	12,36	33,24
საშუალოქლოროზიანი	"	"	7,15	17,73
ს ა ლ ი	18.VIII.49 წ.	24,5°	11,91	23,91
საშუალოქლოროზიანი	"	"	8,63	21,14
ს ა ლ ი	7.IX.49 წ.	21°	12,57	8,44
საშუალოქლოროზიანი	"	"	9,64	6,77
ს ა ლ ი	13.IX.49 წ.	21°	16,40	24,80
საშუალოქლოროზიანი	"	"	9,25	20,93
ს ა შ უ ლ ო				
ს ა ლ ი	—	—	13,31	42,59
საშუალოქლოროზიანი	—	—	8,67	16,66

ნამყენებიდან (ცხრილი 2): 3309-ზე დამყნელი ალიგოტეს ტრანსპირაცია ივლისსა და აგვისტოში უფრო ძლიერია. ვიდრე 5 BB-ზე დამყნელი ალიგოტესი, სექტემბერში კი შებრუნებით ხდება: 3309-ზე დამყნელი ალიგოტეს ტრანსპირაცია უფრო სუსტია, ვიდრე 5 BB-ზე დამყნელი ალიგოტესი. ორივე სახის ნამყენების ტრანსპირაციის საშუალო ინტენსივობა დაახლოებით ერთნაირია.

მე-3 ცხრილის ციფრობრივი მონაცემებიდან ჩანს, რომ ნეიტრალური რეაქციის პირობებში ფოსფორის ანიონები ივლისსა და აგვისტოში ორივე სახის ვაჭების ფესვთა სისტემის შეწოვადობას ამცირებს, სექტემბერში კი, პირიქით, აძლიერებს, ოღონდ ქლოროზიანში უფრო მეტად, ვიდრე სალში.

ამავე ცხრილიდან ირკვევა, რომ ფოსფორის ანიონები ოდნავ ტუტე არეში (pH=7,4) უფრო მეტად ახდენს როგორც სალი, ისე ქლოროზიანი ვაჭების ფესვთა სისტემის შეწოვადობის შემცირებას. თუ ტუტე ხსნარიდან შეწოვილი წყლის რაოდენობას შევადარებთ კნობის ხსნარიდან შეწოვილი წყლის რაოდენობას (ცხრილი 3, საშუალო მონაცემები), დავინახავთ, რომ ტუტე რეაქციის პირობებში ფოსფორის ანიონები საშუალოქლოროზიან ალი-

ცხრილი 2
დამყვანი ალიგოტეს ტრანსპირაციის ინტენსივობა

მ ც ე ნ ა რ ე	ცდის თარიღი	ლიტრების ტემპერატურა	ინტენსივობა ტრანსპირაციის	დეროფოთლიანი მცენარის მიერ შეწოვილი წყლის რაოდენობა მილილიტრებით ფესვის 100 გრამ მშრალ წონაზე 1 საათში
დამყვანი 3309-ზე	26. VII. 49წ.	26 ^o	10,01	43,44
დამყვანი 5 BB-ზე	"	"	9,75	40,00
დამყვანი 3309-ზე	16. VIII. 49წ.	25 ^o	9,84	38,43
დამყვანი 5 BB-ზე	"	"	7,43	27,76
დამყვანი 3309-ზე	22. VIII 49წ.	24,5 ^o	10,97	29,91
დამყვანი 5 BB-ზე	"	"	7,86	20,90
დამყვანი 3309-ზე	9. IX. 49წ.	21,5 ^o	8,65	12,77
დამყვანი 5 BB-ზე	"	"	13,99	27,61
დამყვანი 3309-ზე	15. IX. 49 წ.	21 ^o	8,32	15,74
დამყვანი 5 BB-ზე	"	"	8,40	13,88

ს ა შ უ ა ლ ო

დამყვანი 3309-ზე	—	—	9,56	29,05
დამყვანი 5 BB-ზე	—	—	9,48	25,63

გოტეს ფესვთა სისტემის შეწოვადობას უფრო მეტად ამცირებს, ვიდრე სალი ალიგოტესას.

დაახლოებით ასეთივე მონაცემებია მიღებული ნამყენებზე ჩატარებული ცდების შედეგად (ცხრილი 4). ფოსფორის ანიონები ორივე სახის ნამყენების ფესვთა სისტემის შეწოვადობას ამცირებს (გამონაკლისს წარმოადგენს 26.VII. ცდა 3309-ზე დამყვანი ალიგოტეზე). ისინი ოდნავ ტუტე არეში უფრო მეტად ფესვთა ახდენენ სისტემის შეწოვადობის შემცირებას, ვიდრე ნეიტრალურში.

იბადება კითხვა: რით აიხსნება, რომ საცდელად აღებული ვაზებიდან ზოგი ხასიათდება ფესვთა სისტემის ძლიერი შეწოვადობით, ზოგი კი არა?

ცნობილია, რომ იმ მცენარეების ფოთლის უჯრედებს, რომლებიც ხასიათდებიან ტრანსპირაციის მაღალი ინტენსივობით, ძლიერი შეწოვადობა ახასიათებს, რის გამო ნიადაგიდან წყალს უფრო ენერგიულად ღებულობენ. ღეროგადაჭრილ მცენარეებში კი წყლის ქვევიდან ზევით მოძრაობა ხდება ფესური წნევის საშუალებით. ფესური წნევის სიძლიერეზე დამოკიდებულია ღეროს გადანაჭერიდან დროის ერთეულში წყლის რაოდენობის გამოყოფა.



ფოსფორის ანიონების გავლენა საკუთარფესვიანი ალიგატის ფესვთა სისტემის შეწოვადობაზე 30° პირობებში

შეწენარე	ცდის თარიღი	შეწოვილი წყლის რაოდენობა მილილიტრებში ფესვის 100 გ მშრალ წონაზე I საათში					შეწოვილი წყლის რაოდენობა მილილიტრებში ფესვის 100 მმ მოცულობაზე I საათში				
		კნოპის ხსნარიდან	ფოსფატების ბუნებრივიდან pH=7	ბ	ფოსფატების ბუნებრივიდან pH=7,4	გ	კნოპის ხსნარიდან	ფოსფ. ბუნებრივიდან pH=7	გ	ფოსფ. ბუნებრივიდან pH=7,4	გ
საღი	28. VII. 49წ.	7,44	7,44	1,00	2,79	0,37	1,33	0,5	0,37	1,33	1,00
საშუალოქლოროზიანი	"	14,38	12,14	0,84	4,28	0,29	1,90	0,57	0,30	1,61	0,84
საღი	24. VIII. 49წ.	9,27	7,69	0,82	9,57	1,03	1,17	1,42	1,21	1,15	0,98
საშუალოქლოროზიანი	"	20,44	16,00	0,78	10,48	0,51	2,70	1,15	0,42	2,11	0,78
საღი	13. IX. 49წ.	14,08	16,33	1,15	8,90	0,63	2,50	1,58	0,63	2,90	1,16
საშუალოქლოროზიანი	"	5,74	14,36	2,49	7,80	1,30	1,07	1,46	1,36	2,69	2,51
ს ა შ უ ა ლ											
საღი	—	10,26	10,48	1,02	7,08	0,69					
საშუალოქლოროზიანი	—	13,52	14,16	1,04	7,52	0,55					
ცხრილი 4											
დამენილი 3309-ზე	26. VII. 49 წ.	22,31	28,68	1,28	19,60	0,87	4,66	6,00	1,28	4,00	0,85
დამენილი 5 BB-ზე	"	17,64	13,25	0,75	15,08	0,85	3,10	2,34	0,75	2,71	0,83
დამენილი 3309-ზე	28. VIII. 49 წ.	12,53	10,90	0,86	9,34	0,74	2,39	2,10	0,87	1,80	0,75
დამენილი 5 BB-ზე	"	13,46	10,67	0,79	9,28	0,68	3,22	2,55	0,79	2,22	0,68
დამენილი 3309-ზე	5. IX. 49წ.	8,33	6,79	0,81	4,62	0,55	2,25	1,83	0,83	1,25	0,55
დამენილი 5 BB-ზე	"	6,59	4,06	0,61	3,78	0,57	1,58	0,98	0,81	0,90	0,57
ს ა შ უ ა ლ											
დამენილი 3309-ზე	—	14,32	15,45	1,07	11,15	0,77					
დამენილი 5 BB-ზე	—	12,58	9,32	0,74	9,38	0,74					

ს ა შ უ ა ლ

ფესვთა სისტემას რომ ფესური წნევა არ ახასიათებდეს, მაშინ ფესვთა სისტემის უჯრედების მიერ წყლის შეწოვა იწარმოებდა მინამდევ, სანამ უჯრედები მოვიდოდა ტურგორულ მდგომარეობაში, ე. ი. სანამ წონასწორობა დამყარდებოდა ყველა უჯრედში P და T შორის. ეს უკანასკნელი უფრო სწრაფად მოხდებოდა, თუ ფესვთა სისტემა მოთავსებული იქნებოდა წყალში და არა ნიადაგში. სინამდვილეში კი ლეროგადაქრილი მცენარის ფესვები არ წყვეტენ წყლის შეწოვას. ფესური წნევის საშუალებით ხდება წყლის მუდმივი გადაღენა ფესვის შემწოვ ზონაში, ცოცხალი უჯრედებიდან მკვდარ უჯრედებში (ქურკულობში). ეს გარემოება საშუალებას აძლევს ფესვის ცოცხალ უჯრედებს შეიწოვოს წყალი გარემოდან მუდმივად და მით უფრო ინტენსიურად, რამდენადაც ფესური წნევა ძლიერი იქნება. ფესური წნევა უნდა ახდენდეს ფესვის შემწოვი ზონის ყველა უჯრედში P და T შორის წონასწორობის დარღვევას.

ფესური წნევის ასახსნელად უკანასკნელ დრომდე უფრო მეტად მიღებული იყო ლეპიოშკინის „პლაზმის ცალმხრივი გამტარებლობის თეორია“ ამჟამად უფრო ავტორიტეტულია საბანიის თეორია. ამ თეორიის თვალსაზრისით „მცენარის ტირილი არის წყლისა და მასში გახსნილი ნივთიერების ცალმხრივი დენი, რომელიც დამოკიდებულია ასიმილაციების აერობულ გადაბუშაგებაზე“ [2]. აქედან ცხადია, რომ ფესური წნევის სიძლიერე დამოკიდებული ყოფილა მცენარის ფესვთა სისტემის შემწოვი ზონის უჯრედების სუნთქვის ინტენსივობაზე. იმ მცენარეს, რომლის ფესვთა სისტემას უფრო ინტენსიური სუნთქვის უნარი ექნება, წყლისა და მასში გახსნილი ნივთიერების შეწოვის მეტი უნარიც უნდა ჰქონდეს. ამ მოსაზრების დასადასტურებლად საჭიროა მომავალში სალი და ქლოროზიანი ვახის ფესვთა სისტემის შეწოვადობასთან ერთად მათი სუნთქვის უნარიანობაც ისწავლებოდეს.

გარე ხსნარის იონების ზემოქმედებით ფესვის შემწოვი ზონის უჯრედების პლაზმის გამტარებლობა იცვლება: ან ძლიერდება, ან მცირდება. თუ გარე ხსნარში არსებული იონები ახდენს პლაზმის საადსორბციო ზედაპირის შემცირებას, ამ უკანასკნელის შედეგად ფესვის შემწოვი ზონის უჯრედებში პარალელურად მცირდება წყლისა და მასში გახსნილი ნივთიერების შეწოვადობაც.

ამგვარად შეიძლება აიხსნას Ca იონებისა და P-ის ანიონების გავლენით ფესვთა სისტემის შეწოვადობის შემცირება.

დასკვნები

1. სალი ალიგოტე (საკ. ფესვზე) უფრო ინტენსიურად აწარმოებს ტრანსპირაციას, ვიდრე ქლოროზიანი ალიგოტე.
2. ივლისსა და აგვისტოში 3309-ზე დამყნილი ალიგოტეს ტრანსპირაცია უფრო ძლიერია, ვიდრე 5 BB-ზე დამყნილი ალიგოტესი, სექტემბერში კი შებრუნებით ხდება: 5 BB-ზე დამყნილი ალიგოტეს ტრანსპირაცია აქარბებს 3309-ზე დამყნილი ალიგოტეს ტრანსპირაციას. ორივე სახის ნაყენების ტრანსპირაციის საშუალო ინტენსივობა დაახლოებით ერთნაირია.

3. ფოსფორის ანიონები ტუტე არეში უფრო მეტად იწვევს ვაზის ფესვთა სისტემის შეწოვადობის შემცირებას, ვიდრე ნეიტრალურ არეში.

4. ფოსფორის ანიონების ზემოქმედებით საშუალოქლოროზიანი ალიგოტეს (საკუთარ ფესვზე) და 5 BB-ზე დამყნელი ალიგოტეს ფესვთა სისტემის შეწოვადობა უფრო მეტად მცირდება, ვიდრე სალი (საკ. ფესვზე) და 3309-ზე დამყნელი ალიგოტესი.

საქართველოს სსრ მეცნიერებათა აკადემია
ბოტანიკის ინსტიტუტი
თბილისი

(რედაქციას მოუვიდა 17.2. 1951)

დამოწმებული ლიტერატურა

1. გ. შ ა ნ შ ი ა შ ვ ი ლ ი. ტემპერატურისა და K და Ca იონების გავლენა სალი და ქლოროზიანი ვაზების ფესვთა სისტემის შეწოვადობაზე. საქ. სსრ მეცნიერებათა აკადემიის მოამბე. ტ. XII, № 7, 1951.
2. Д. А. С а б а н и н. О значении корневой системы в жизнедеятельности растений. Тимирязевские чтения, IX, Москва, 1949, стр. 14.

ხელოვნების ისტორია

ბ. ალიბაბაშვილი

გაეღივებული ფილა სოხუმის მიდამოებიდან

(წარმოადგინა აკადემიის ნამდვილმა წევრმა გ. ჩუბინაშვილმა 29.10.1950)

ქვაზე ქრის ქართული ნიმუშები გვარწმუნებს, რომ საქართველოს ქრისტიანული ქვეყნების წრეში ჩაბმის პირველი საუკუნეებიდანვე ქართულ პლასტიკას სრულიად განსხვავებულ მიმართულებებთან უხდებოდა შეხვედრა. მაშინ, როდესაც ჯვარის რელიეფები ბიზანტიური ხელოვნების მაგალითების მსგავსად გვაჩვენებს, თუ როგორ წარმოებს ანტიკურ პლასტიკურ ღირებულებათა და ფორმათა გადააზრება აღმოსავლურ შეგრძნებასთან მათი დაპირისპირებისას, ბოლნისის უფრო აღრინდელი რელიეფები და რამდენადღე უფრო გვიანდელი ფიგურები უსანეთის სვეტისა გვისახავს იმ ტენდენციას, რომელმაც განდევნა ეს ანტიკური მოგონებანი; ამ ტენდენციის დამახასიათებელი ისაა, რომ ნაწარმოების მხატვრულ ღირებულებას შესრულების სიბრტყობრობა და ხაზოვანება, ე. ი. გრაფიკულობა განსაზღვრავს. მხატვრული სახის შეგრძნების ამ მანერამ წარმოშვა ის წანამძღვრები, რომლებიც თავისებურად დაამუშავა ქართველი ოსტატის ნაციონალურმა აზროვნებამ.

შესრულების აღნიშნული სიბრტყობრივი მანერა არ ყოფილა დამოკიდებული პლასტიკაში რელიეფის სიმაღლეზე. წებელდის არა ერთხელ გამოცემული რელიეფი ([1], გვ. 21; [2], გვ. 233—43; [3], გვ. 202—3; [4], გვ. 208—209), მიუხედავად რეალურად გამოყოფილი მოცულობისა და მისი ზედაპირის ისეთი დამუშავებისა, რომელიც არ არღვევს ზედაპირის მთლიანობას, წარმოადგენს სიბრტყობრივი გადაწყვეტის მაგალითს, თუმცა აქ ფონი საკმაოდ ძლიერაა ჩაღრმავებული და ფიგურებიც თავისუფლადაა განლაგებული, სივრცობრივი პრობლემა მაინც სრულიად არ არის დასმული; ამგვარად, წებელდის რელიეფი ოსტატის საერთო მიდგომის მხრივ, მის მიერ საგნების გამოსახვის მანერის მხრივ, პრინციპულად ახალს არაფერს არ წარმოადგენს შედარებით გველდებისა და უსანეთის ბრტყელ ფილებთან, რომლებზედაც ჩაფხაჭნილი ნახატია.

ამრიგად, წებელდის ფილაზე, თუმცა მისი რელიეფი საკმარისად მოცულობითია, განმსაზღვრელ მომენტად რჩება, როგორც აღვნიშნეთ, შესრულების სიბრტყობრივი სტილი. მაგრამ შესაძლებელია საწინააღმდეგო მოვლენასაც შევხვდეთ, სახელდობრ: თუმცა ადგილი არა აქვს სხეულებრივ კომპაქტურობას, ხოლო რელიეფის ზედაპირი დანაწევრებულია ორნამენტისებრი სახეების შემქმნელი ხაზებით, მაინც მქლავნდება განსხვავებული ტენდენცია, ტენდენცია სივრცის, როგორც სახეთა მოცულობითი (პლასტიკური) აღქმის გამოვლენის აუცილებელი პირობის გაგებისა.

1946 წ. საქართველოში საბჭოთა ხელოვნების 25 წლისთავისადმი მიძღვნილ არქიტექტურულ გამოფენაზე, რომელიც მოეწყო ქ. თბილისში, სახ. მუხეშუმის შენობაში, ზემოთ აღნიშნული წებელდის რელიეფური ფილის გვერდით მოთავსებულია სოხუმის მიდამოებში (ს. ოლგინსკოე) ნაპოვნი რელიეფური ფილის ფრაგმენტი (იხ. ფოტო; [1], გვ. 21, სურ. 10). ეს ფილა წარმოადგენს ვერტიკალური მიმართულებით განზიდულ სწორკუთხედს, გაყოფილს სამ ნაწილად. თითოეულ ნაწილში მოთავსებულია ფიგურა, რომელიც მთლიანად აესებს მისთვის განკუთვნილ ადგილს (გამონაკლისი—ფიგურა მარცხნივ; იგი შედარებით პატარაა და აწეულია რამდენიმე სხვა ფიგურების ზემოთ). სწორედ ამ ფილაში რელიეფური გამოსახულებები მოკლებულია სხეულებრივ კომპაქტურობას (არც იმდენად მაღალი რელიეფი, რომელიც რბილად ეშვება ფონისაყენ), ხოლო ფიგურათა ზედაპირის დანაწევრება ნაკლებით, რომლებიც თავისი ღინებით ორნამენტის შთაბეჭდილებას ქმნიან, წარმოგვიდგენს „ცხოველხატულ“ მანერას, რომელიც თითქოს უარყოფს პლასტიკურად გამოყოფილ (საგრძნობი მოცულობით გამოზიდულ) ფორმებს („ცხოველხატული“ აქ იმ აზრითაა ნახმარი, რომ რელიეფის ზედაპირი ხაზების საშუალებით ორნამენტულად მუშავდება). სიბრტყის ორნამენტულად დანაწევრებულობის შთაბეჭდილებას, რომელიც პირველი შეხედვით იქმნება, აძლიერებს ცენტრალური ფიგურის მკიდროდ მომცელი ჩარჩოს მკაცრი ვერტიკალები, მაგრამ ეს შთაბეჭდილება, შექმნილი რელიეფის ზერეღვდ დათვალიერებით, მისი დაკვირვებით შესწავლისას ადგილს უთმობს განსხვავებული ხასიათის შეგრძნებებს. მასზე გამოხატული ფიგურები სრულიადაც არ გვევლინება ისეთი გრაფიკული და სიბრტყობრივი ხასიათის მქონედ, როგორც გველდესის სვეტების ფიგურებია, რომლებიც მათ გვაგონებენ ტანისამოსის დამუშავებათა და თავების ფორმით; აქ გვაქვს არა ორნამენტული დამუშავება, როგორც გველდესის ფიგურებში, არამედ განხილული რელიეფის შესრულების მანერაში თავს იჩენს სრულიად სხვაგვარი ამოცანები.

ფიგურები, როგორც აღნიშნული იყო, მკიდროდაა დაყენებული, ისე რომ ფონი, რომელიც მხოლოდ უმნიშვნელო ნაკვეთებად ჩანს, არ არის ხაზგასმული, როგორც რელიეფის განმსაზღვრელი სიბრტყე. ფიგურების ზედაპირის დამსერავი, სხვადასხვა მხარეს მიმდინარე ხაზები არღვევენ რელიეფის ზედა სიბრტყესაც (რომელიც ასე ძლიერად იგრძნობოდა წებელდის რელიეფში), რაც, ფონის შემეკავებელი ძალის უქონლობასთან ერთად, ქმნის სივრცობრიობის შთაბეჭდილებას, მართალია, არა კონკრეტულს და არა განსაზღვრულს, მაგრამ უცილობლად განსხვავებულს წებელდის ფილის სივრცობრიობისაგან, რომელიც აღიქმება მკაფიოდ, სამ განზომილებაში, მაგრამ ძალიან განსაზღვრულად, მხოლოდ ბრტყელი ბლოკებისათვის. ასეთი თავისუფალი „სივრცობრიობა“ განსაკუთრებულად იგრძნობა ფიგურის ფრაგმენტში მარცხნივ, რომელიც განთავისუფლებულია მოჩარჩოების შემეკავებელი ვერტიკალებისაგან და რომლის ფეხები არ ეყრდნობა არავითარ პორიზონტალს: ფიგურა თავისი მომრგვალებულობით (რომელიც, ვიმეორებთ, მოკლებულია სხეულებრივ კომპაქტურობას) თითქოს დაცურავს სივრცეში. ეს არაჩვეულებრივი



სივრცე ფიგურებიდან ფონისაკენ თანდათანობით გადასვლითაცაა ხაზგასმული: არსად არა გვაქვს მკაფიოდ გამოყოფილი, ფონის სიბრტყისადმი კონკრეტულად დაპირისპირებული ზედაპირები, გამოზიდული მოცულობანი. ფიგურათა ზედაპირი დანაწევრებულია და დამსერავი ხაზები ნარნარად მიედინებიან ფონისაკენ. სივრცობრივი ამოცანები, რომლებთანაც პრინციპულად უცილობლადაა დაკავშირებული ნამდვილი პლასტიკური ამოცანები, აქ ასეთი დეტალებითაცაა ხაზგასმული, როგორც ფიგურების ქვეშ მოთავსებული ნიშები, რომლებიც, უპირველეს ყოვლისა, მათ მიერ შექმნილი სივრცობრიობის მხრივ შეიგრძნობიან. და ეს მით უმეტეს, რომ თვით ფიგურებიც აგრეთვე მსგავს ნიშებშია მოქცეული და მათი ფეხები სწორადაა დაყენებული—მიმართულია ამ ნიშების სიღრმეში. ფიგურები შესრულებულია არამალალი რელიეფით, მოკლებულია ანატომიურ სისწორეს—ეს ჯერ კიდევ უფრომოდოლოგებია, არაპროპორციულად მოკლე ხელებით, მაგრამ თავისუფალ სივრცობრიობაში, რომელიც ოსტატს იზიდავს (რაც ნათლად იგრძნობა ფიგურათა ფეხების დაყენებაშიც, მათ სივრცობრივ განლაგებაშიც), ჩასახულია ის ახალი, წებელდის რელიეფისაგან განსხვავებული, რაპაც, აშკარაა, მიიყვანა ქართული რელიეფის ხელოვნება პლასტიკის აყვავებამდის XI საუკუნეში. აქ ჩვენ ვხედავთ დეტალებს, რომლებიც მოწმობს დახვეწილი პლასტიკური შეგრძნების გამოვლიძებას; ასეთ რელიეფში, რომელიც არსებითად მოცულობის მხრივ არაა ხაზგასმული და ანატომიური სისწორის გაგებასაც დაშორებულია, ერთ-ერთი ფიგურის ხელი (რომლითაც მას საცეცხლური უჭირავს) რაკურსშია ვადმოცემული—იგი გაშლილია სივრცეში, მარჯალია, ჯერ კიდევ ძალიან გაუბედავად, მაგრამ მაინც თითქოს სიღრმეიდან გამოდის; ასეთსავე, ჯერ კიდევ ძიების პროცესში მყოფ, პლასტიკურ შეგრძნებას შევნიშნავთ შუა ფიგურის ზედაპირშიც, თუ თვალს ვავადენებთ სიბრტყეთა მოძრაობას ერთი ხელიდან—მკერდზე ვავლით—მეორე ხელისაკენ (შეადარე წებელდის ფილაზე ფიგურების სრულიად ბრტყელი, თუმცა ფონიდან ძლიერად გამოყოფილი ზედაპირი). ზედაპირის ასეთივე ფაქიზი დამუშავებით გამოირჩევა ფიგურათა ხელისგულიც, გამოყოფილი მომრგვალებებით. ორნამენტულად დამუშავებულ ტანისამოსში მაინც იგრძნობა სხეულის მომცველი ქსოვილი (იხილე დრაპირება მარჯვენა ფიგურის მკერდზე და ნაოჭები, რომლებიც მის მარცხენა ხელზე გადადის). ამრიგად, ამ ფილის ოსტატი, რომელიც თავისი შეგნებით ჯერ კიდევ დაშორებულია სწორად ჩამოყალიბებულ პლასტიკურ სახეთაგან, როგორც ვხედავთ, ცდილობს შეიცნოს სივრცე, როგორც პლასტიკურ ღირებულებათა არსებობის პირობა. სწორედ ამიტომ, წებელდის ფილის მოცულობისთ ფიგურებში არსებითად ჯერ კიდევ სიბრტყობრივი მიდგომა გვაქვს (ისინი ფონისა და რელიეფის საერთო ზედაპირის სიბრტყეებით შებოჭილი რჩებიან), ს. ოლგინსკოეში ნაპოვე მცირე სიმაღლის რელიეფში კი, მიუხედავად რეალურ გადმოცემას დაშორებული ნაოჭებისა, ვხედავთ, თუმცა ჯერ კიდევ არც მაინც და მაინც მკაფიოდ გამოისახულ მიმართულებას სივრცის შეგრძნების გზით პლასტიკისაკენ.

ზემოთ აღნიშნული იყო, რომ წებელდის ფილა, ძლიერ ამაღლებული რელიეფის მიუხედავად, შესრულებული იყო წმინდა სიბრტყობრივი და გრაფიკული მანერით. ოპიზის რელიეფი აშოტ კუროპალატის (826 წ.) გამოსახულებით წარმოგვიდგენს ასეთივე გადაწყვეტის მეორეგვარ ნიმუშს. რელიეფი აქ ძლიერ დადაბლებულია, არ უპირისპირდება ფონს, ფიგურები დასერილია ნახატით, რომელიც მსგავსია სოხუმის მიდამოებში ნაპოვნი ფილის ფიგურათა ტანისამოსის ნაოქებისა, მაგრამ საერთო მიდგომა ჯერ არ სცილდება წებელდის ფილის ოსტატის მიერ ფორმის გაგების საზღვრებს, ე. ი. გადაწყვეტია ისევ სიბრტყე და მისი „მომხატველი“ ხაზი (რასაკვირველია, არ შეიძლება არ აღინიშნოს, რომ ოპიზის რელიეფს სხვა თავისებურებანიც ახასიათებს; რელიეფში სიბრტყობრივი მანერა ბატონობს, მაგრამ იგი, ამას გარდა, მიიმართება ექსპრესიული მომენტების შეფასებისა და გაძლიერების ხაზით).

„ფერისცვალების“ კედელი ხატი ზარზმიდან (დათარიღებული მან წლით) წარმოგვიდგენს რამდენადმე განსხვავებულ მოვლენას. ინარჩუნებს რა ხაზებისა და შესტების სიმკვეთრეს და ექსპრესიულობას და, არსებითად, ფიგურის ბრტყელ დამუშავებას (ოდნავ ამოწეული რელიეფი, რომელზედაც ტანისამოსის დეტალები, ნაოქები ხაზებითაა აღნიშნული და არა მათი სიღრმეში განლაგებით), აღნიშნული ხატი მაინც იძლევა ისეთ დეტალებს, როგორცაა ხელისგულის ზედაპირის მსუბუქი ტალღისებური ხაზი ან მაკურთხებელი მარჯვენის თითები, რომლებიც მომრგვალებულადაა გამოსახული თვით მათი ურთიერთგადაკვეთის ადგილებშიაც. მაგრამ, ამასთან ერთად, პლასტიკური შეგნება ჯერ არ არის გაღვიძებული. ფეხის ქუსლები გამოხატულია პროფილში, ხოლო თითები ფონის სიბრტყეშია გაშლილი.

ამგვარად, IX საუკუნის ბოლოსთვისაც ცოტა რამ შეიცვალა საგნების შეფასებასა და გაგებაში მათი პლასტიკურად შეგრძნების მიმართულებით. შემდეგ, X საუკუნეში, აგრეთვე ჯერ კიდევ არ შეიძლება ვილაპარაკოთ პლასტიკურობის ნამდვილ გაგებაზე. ქრისტეს ფიგურა იშხანის ჯვარცმაზე წარმოადგენს ჯერ კიდევ მცირედ დანაწევრებულ ბლოკს, სადაც ოსტატის ყურადღება მიმართული იყო უფრო ექსპრესიულობის გამოხატვისაკენ, ვიდრე პლასტიკური მომენტებისაკენ [5]. მაგრამ, ამასთან ერთად, მასში არ შეიძლება უგულვებლევყოთ წინათგრძნობა იმ მომენტებისა, რომელთა აყვავება მიეკუთვნება XI საუკუნეს, როგორც ამას წარმოგვიდგენენ ქვაზე ჭრისა (კანკელები) და ოქრომჭედლობის [6] მრავალრიცხოვანი ძეგლები. მართლაც, ფიგურის მთლიანი ბლოკის აღქმასა და მისი თავის ხაზგასმულ ექსპრესიულობასთან ერთად, ქრისტეს გამოსახულებას იშხანის ჯვარცმაზე აქვს ისეთი დეტალები, როგორცაა მსუბუქი ტალღისებური გადასვლა ერთი მხარიდან მეორისაკენ, მსუბუქი ჩაღრმავება გულმკერდის შუაგულში; ცერის დასაწყისი, მიუხედავად საკმაოდ გაბრტყელებული ხელის მტევნისა სწორკუთხა თითებით, გამოყოფილია არა უბრალოდ ჩაჭრილი ხაზით, არამედ რელიეფის მსუბუქი ამაღლებით; ფეხის ტერფები ამოწეულია მსუბუქ მომრგვალებად იმ ადგილას, სადაც იგრძნობა ლურსმნები. ეს დეტალები, მსგავსი აღნიშნული დეტალებისა ზემოთ განხილულ ფილაში ს. ოლგინსკოდან,

უცილობლად აყენებს ამ უკანასკნელს იშხანის ჯვრის მახლობელ ხანაში, მით უმეტეს, რომ ქრისტეს ფიგურა იშხანის ჯვარცმაში ჯერ კიდევ ისევე შებოჭილია თავისი საკუთარი ბლოკით, როგორც ფიგურები ს. ოლგინსკოეში ნაპოვნ რელიეფში, სადაც ეს მომენტი გაძლიერებულია მათი მომცველი მოჩარჩოების ვერტიკალებით. თუმცა, რასაცვირველია, იშხანის ჯვარცმის ისეთი უპირატესობა, როგორიცაა ფიგურის პროპორციები, არ შეიძლება მიეწეროს მხოლოდ პლასტიკური ხელოვნების სახეს—ქედურ ხელოვნებას. უმკველია, ქვაზე ქრის ტექნიკურ თავისებურებებს არ შეიძლება არ შეექმნა ერთგვარი განსხვავება მიდგომის მხრივ, მაგრამ თავისი ვადაწყვეტის საერთო ხასიათითაც, მიუხედავად პლასტიკურ ღირებულებათა არსებობისა, ს. ოლგინსკოეში ნაპოვნი ფილა ინარჩუნებს ორნამენტულ-დეკორაციულ მომენტებს, რომლებიც აღნიშნული იყო IX საუკუნის ზემოხსენებულ ძეგლებში («ფერისცვალების» ქედური ხატი, რელიეფი ოპიზიდან). ეს გვაძლევს უფლებას დავაყენოთ ოლგინსკოეს რელიეფი შესრულების დროის მიხედვით იშხანის ჯვარცმის ახლოს, მაგრამ არა მის გვერდით. ქვაზე ქრის ძეგლებშივე—ვალეს რელიეფში (დათარიღებულია X ს. უკანასკნელი მეოთხედით [7]) გვხვდება ზემოთ აღნიშნულთა მსგავსი ელემენტები. აქ ერთ-ერთ ფრაგმენტში ანგელოზის ტანისამოსის დამუშავება პირობითი რჩება (ორნამენტულიც კი), მაგრამ ნაოჭები გამოყოფილია წახნაგებად, ისინი, არ გამოდიან რა ერთი დონის საზღვრებიდან, მაინც არღვევენ რელიეფის გარეგან ზედაპირს, რაც უკვე ქმნის ფიგურის შებოჭილობისაგან გათავისუფლების პირობას. მაგრამ მთავარი აქ შემდეგში მდგომარეობს: შარავანდისა და ფრთების ზედაპირი დამუშავებულია არა გრაფიკულად, არამედ მკვეთრად გამოყოფილი ცალკეული «ნიჟარებით» (ე. ი. ძაბრისებრი ჩაღრმავებებით). აღნიშნული ფიგურის ხელიც აგრეთვე იწყებს გამოყოფას ფიგურის მთლიანი ბლოკიდან. ამრიგად, მიუხედავად იმისა, რომ უკანასკნელი მაგალითი მოყვანილი იყო ფასადის შემამკობელი რელიეფებიდან, რასაც არ შეიძლება არ შეესუსტებინა ზოგიერთი პლასტიკური მომენტი (შორიდან ხედვისათვის გათვალისწინებული), იგი ადასტურებს ყველაფერს ზემოთ თქმულს და აგრეთვე აყენებს ს. ოლგინსკოეში ნაპოვნ რელიეფურ ფილას დაახლოებით X საუკუნის შუახანების ძეგლთა რიგში, ე. ი. ქართულ სახვით ხელოვნებაში პლასტიკის აყვავებრს მომენტის მოსამზადებელ ხანაში.

სსსრ მეცნიერებათა აკადემია

ქართულ ხელოვნებას ისტორიის ინსტიტუტი
თბილისი

(რედაქციას მოუვიდა 15.12.1950)

დამოწმებული ლიტერატურა

1. Материалы по археологии Кавказа (МАК), т. IV, Москва, 1894.
2. Д. Айналов. Некоторые христианские памятники Кавказа. Арх. изв. и зам, т. III, Москва, 1895

3. Д. Айналов. Эллинистические основы византийского искусства (Отд. оттиск из Записок Рус. арх. о-ва, т. XII). СПб, 1904.
4. გ. ჩუბინაშვილი. ქართული ხელოვნების ისტორია. ტ. I, თბილისი, 1936.
5. გ. ჩუბინაშვილი. 973 წლის ჯვარი იზხანიდან. საქ. მეზ. შოამბე, VI, თ. 1931.
6. გ. ჩუბინაშვილი. X და XI საუკუნეთა მიჯნაზე წარმოშობილი ქართული კედური ხელოვნების ხასიათის საკითხისათვის. ქართული ხელოვნება, ტ. II, 1948.
7. რ. მეფისაშვილი. ვალეს ტაძარი და მისი აღმშენებლობის ორი ძირითადი პერიოდი. ქართული ხელოვნება, ტ. III, 1950.



პასუხისმგებელი რედაქტორის მოადგილე ი. გიგინეიშვილი

საქართველოს სსრ მეცნიერებათა აკადემიის გამომცემლობის სტამბა, აკ. წერეთლის ქ. № 3/5
Типография Издательства Академии Наук Грузинской ССР, ул. Ак. Церетели № 3/5

ხელმოწერილია დასაბეჭდად 4.12.1951	სააღრიცხვო-საგამომცემლო ფურცელი 4,5
ანაწყოების ზომა 7×11	საბეჭდი ფორმა 5,5
შეკვ. 1536	ტირაჟი 1500

შეკვ 05068

3. Д. Айналов. Эллинистические основы византийского искусства (Отд. оттиск из Записок Рус. арх. о-ва, т. XII). СПб, 1904.
4. გ. ჩუბინაშვილი. ქართული ხელოვნების ისტორია. ტ. I, თბილისი, 1936.
5. გ. ჩუბინაშვილი. 973 წლის ჯვარი იზხანიდან. საქ. მეც. შობამეც, VI, თ. 1931.
6. გ. ჩუბინაშვილი. X და XI საუკუნეთა მიჯნაზე წარმოშობილი ქართული ქედური ხელოვნების ხასიათის საკითხისათვის. ქართული ხელოვნება, ტ. II, 1948.
7. რ. მეფისაშვილი. ვალეს ტაძარი და მისი აღმშენებლობის ორი ძირითადი პერიოდი. ქართული ხელოვნება, ტ. III, 1950.



პასუხისმგებელი რედაქტორის მოადგილე ი. გიგინეიშვილი

საქართველოს სსრ მეცნიერებათა აკადემიის გამომცემლობის სტამბა, აკ. წერეთლის ქ. № 3/5
 Типография Издательства Академии Наук Грузинской ССР, ул. Ак. Церетели № 3/5

ხელმოწერილია დასაბეჭდად 4.12.1951
 ანაწყოების ზომა 7×11

სააღრიცხვო-საგამომცემლო ფურცელი 4,5
 საბეჭდი ფორმა 5,5

შეკვ. 1536

შეკვ. 05068

ტირაჟი 1500



3/29.

5-79/156-

ფანსი ნ მან.

დაშტკიცივაჭლია
საქართველოს სსრ მეცნ. აკად. პრეზიდიუმის მიერ
22.10.1947

მეცნიერებათა აკადემიის სსრ მეცნიერებათა აკადემიის მოამბის შესახებ

1. „მოამბეში“ იბეჭდება საქართველოს სსრ მეცნიერებათა აკადემიის მეცნიერი მუშაკებისა და სხვა მეცნიერთა წერილები, რომლებშიც მოკლედ გადმოცემულია მათი გამოკვლევების მთავარი შედეგები.
2. „მოამბეს“ ხელმძღვანელობს სარედაქციო კოლეგია, რომელსაც ირჩევს საქართველოს სსრ მეცნიერებათა აკადემიის საერთო კრება.
3. „მოამბე“ გამოდის ყოველთვიურად (თვის ბოლოს), გარდა ივლის-აგვისტოს თვისა, ცალკე ნაკვეთებად, დაახლოებით 5 ბეჭდური თაბახის მოცულობით თითოეულზე. ერთი წლის ყველა ნაკვეთი (სულ 10 ნაკვეთი) შეადგენს ერთ ტომს.
4. წერილები იბეჭდება ქართულ ენაზე, იგივე წერილები იბეჭდება რუსულ ენაზე პარალელურ გამოცემაში.
5. წერილის მოცულობა, ილუსტრაციების ჩათვლით, არ უნდა აღემატებოდეს 8 გვერდს. არ შეიძლება წერილების დაყოფა ნაწილებად სხვადასხვა ნაკვეთში გამოსაქვეყნებლად.
6. მეცნიერებათა აკადემიის ნამდვილი წევრებისა და წევრ-კორესპონდენტების წერილები უშუალოდ გადაეცემა დასაბეჭდად „მოამბის“ რედაქციას, სხვა ავტორების წერილები კი იბეჭდება საქართველოს სსრ მეცნიერებათა აკადემიის ნამდვილი წევრის ან წევრ-კორესპონდენტის წარმოდგენით. წარმოდგენის გარეშე შემოსულ წერილებს რედაქცია გადასცემს აკადემიის რომელიმე ნამდვილ წევრს ან წევრ-კორესპონდენტს განსაზღვრულად და, მისი დადებითი შეფასების შემთხვევაში, წარმოსადგენად.
7. წერილები და ილუსტრაციები წარმოდგენილი უნდა იქნეს ავტორის მიერ სვეტებით გამზადებული დასაბეჭდად. ფორმულები მკაფიოდ უნდა იყოს ტექსტში ჩაწერილი ხელით. წერილის დასაბეჭდად მიღების შემდეგ ტექსტში არავითარი შესწორებისა და დამატების შეტანა არ დაიშვება.
8. დამოწმებული ლიტერატურის შესახებ მონაცემები უნდა იყოს შეძლებისდაგვარად სრული: საჭიროა აღინიშნოს ეურნალის სახელწოდება, ნომერი სერიისა, ტომისა, ნაკვეთისა, გამოცემის წელი, წერილის სრული სათაური; თუ დამოწმებულია წიგნი, სავალდებულოა წიგნის სრული სახელწოდების, გამოცემის წლისა და ადგილის მითითება.
9. დამოწმებული ლიტერატურის დასახელება წერილს ბოლოში ერთვის სიის სახით. ლიტერატურაზე მითითებისას ტექსტში ან წინწიგნებში ნაჩვენები უნდა იქნეს ნომერი სიის მიხედვით, ჩასული კვადრატულ ფრჩხილებში.
10. წერილის ტექსტის ბოლოს, ავტორმა უნდა აღნიშნოს სათანადო ენებზე დასახელება და ადგილმდებარეობა დაწესებულებისა, სადაც შესრულებულია ნაშრომი. წერილი თარიღდება რედაქციაში შემოსვლის დღით.
11. ავტორს ეძლევა გვერდებზე შეკრული ერთი კორექტურა მკაცრად განსაზღვრული ვადით (ჩვეულებრივად, არა უმეტეს ერთი დღისა). დადგენილი ვადისთვის კორექტურის წარმოსადგენლობის შემთხვევაში რედაქციას უფლება აქვს შეაჩეროს წერილის დაბეჭდვა, ან დაბეჭდოს იგი ავტორის ვიზის გარეშე.
12. ავტორს უფალოდ ეძლევა მისი წერილის 50 ამონაბეჭდი (25 ამონაბეჭდი თითოეული გამოცემიდან) და თითო ცალი „მოამბის“ ნაკვეთებისა, რომლებშიც მისი წერილია მოთავსებული.

კადრატციხის მისამართი: თბილისი, კეკელიძის ქ., 8.